

МИНИСТЕРСТВО ГЕОЛОГИИ СССР  
МИНИСТЕРСТВО ГЕОЛОГИИ РСФСР  
БУРЯТСКОЕ ГЕОЛОГИЧЕСКОЕ УПРАВЛЕНИЕ

# ГЕОЛОГИЧЕСКАЯ КАРТА СССР

масштаба 1:200 000

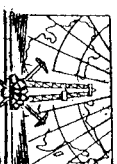
Серия Восточно-Саянская

Лист N-47-XXXVI

## Объяснительная записка

Составитель *В. П. Арсентьев*  
Редактор *Н. А. Флоренсов*

Утверждено филиалом Научно-редакционного совета ВСГЕИ  
при СНИИГИМС 11 октября 1962 г., протокол № 12



## ВВЕДЕНИЕ

Территория листа N-47-XXXVI относится к Окинскому аймаку Бурятской АССР и Черемховскому району Иркутской области. Географические координаты листа:  $101^{\circ}00'—102^{\circ}00'$  в. д. и  $52^{\circ}00'—52^{\circ}40'$  с. ш. Большая часть рассматриваемой территории представляет собой высокогорную страну, к которой на северо-востоке примыкает Присаянское среднегорье. Наиболее высокие хребты — Китайский, Шумакский и Сухэ-Батор — протягиваются в субширотном направлении вдоль южной части листа. С севера к ним примыкают Мери-диональные хребты — Янхорский, Даильский, Оюотский и др. В южной половине плоскости листа преобладают резко выраженные альпиногорные формы рельефа. Абсолютные высоты здесь 2500—3000 м. Наивысшая точка — г. Осин-Улан-Сарыаг — расположена в Китайских белках и имеет высоту 3215 м.

Водоразделы изъедены цирками и карами. Долины рек характеризуются прогловым профилем, в троги врезаны глубокие и узкие ущелья. Относительные превышения водоразделов над днишами долин составляют 900—1400 м. Северная половина листа отличается куполообразными водоразделами, абсолютные высоты которых редко достигают 2500 м, их обычны пологие гипсометрические урошицы 1300—1600 м. Долины рек имеют различный пологий профиль, их террасированные участки чередуются с глубокими ущельями. Следы ледниковой деятельности сохранились только в верховьях. Самая низкая точка плоскости листа (695 м) находится на северо-востоке в долине р. Онот.

Гидросеть на плоскости листа представлена реками Урик, Онот, и Китай.

Их наиболее крупными притоками являются Хонилин, Янхор, Даильк, Усан-

Гол, Амбарга-Гол, Самарта, Саган-Сайр, Горлык-Гол, Шумак и др.

Климат района характеризуется продолжительной материковой зимой, коротким дождливым летом, значительными колебаниями годовых и суточных температур. Среднегодовая температура изменяется от  $-14$  до  $-10.5^{\circ}\text{C}$ . Широко развита многолетняя мерзлота.

Распределение растительности в районе неравномерное и тесно связано с его орографическими особенностями. Наиболее залесена северная, среднегорная территория листа. Здесь растут лиственница, кедр, сосна, ель, бересклет, осина, тополь. В высокогорной области лесной покров сосредоточен преимущественно в долинах рек. До границы леса проходит лишь на высоте 2000—2100 м, поднимается только кедр и лиственница. Выше господствует ландшафт высокогорной тундры. Следует отметить хорошую обнаженность территории листа.

Население в районе чрезвычайно редкое. Основными населенными пунктами являются рудник Самарта и поселок Комсомольской партии, расположенные в верховых р. Китая. По р. Урик, в ущелье Чертова Ворота, находится поселок Урикской партии. Передвижение на плоскости листа возможно только по выючным тропам.

Ближайший населенный пункт к северу — пос. Сосновый Байц удален от северной рамки листа на 20 км.

## ГЕОЛОГИЧЕСКАЯ ИЗУЧЕННОСТЬ

Начало геологических исследований на площасти листа относится к тридцатым годам прошлого столетия.

Первыми исследователями были А. Н. Строльман и Т. С. Ковригин, которые в 1835—1836 гг. проводили поиски золота в верховьях рек Иркута и Китоя. Т. С. Ковригин является первооткрывателем Ильчирского месторождения хризотил-асбеста. В 1868 г. А. Х. Фитинггофом были представлены первые сведения о валунах нефрита по р. Оног. В 1873 и 1875 гг. район был пересечен маршрутами И. Д. Чертко, результата которых были изложены в работе К. Ригттера «Земле-ведеие Азии». Позднее район посетили Бебер, Л. А. Ячевский, и И. Шумин, которые занимались в основном поисками нефрита по р. Оног. В бассейне р. Китой неоднократно проводили исследования В. Н. Лодочникова (1916, 1936, 1941); им дано испещрывающее петрографическое описание Ильчирского серпентинитового массива и метаморфических пород, слагающих верховья р. Китоя.

В 30-х годах XX столетия в районе проводили геологические исследования А. В. Львов (1930), Н. Д. Соболев (1934, 1940), А. Л. Лисовский (1933), М. В. Полятов (1936), В. И. Навиль (1932), А. Г. Геков (1932). Первый геологический обзор Восточного Саяна был сделан И. А. Молчановым (1934). В 1937 г. изучением геоморфологии и золотоносности верховьев рек Урика, Китоя и Оки занимался Н. А. Флоренсов (1937, 1937а). Им была составлена первая структурная схема восточной половины Восточного Саяна (1941), на которой были выделены древний передовой антиклиниорий, обращенный к Сибирской платформе, и тыловой палеозойский синклиниорий, тяготеющий к геологическим структурам Северной Монголии. Большую роль в изучении Остинского ультрасосновного массива и его окрестностей сыграли исследования М. Ф. Шестопалова и А. С. Иванова (1939). Основные черты геологиче- ского строения верховьев рек Урика и Онога были выявлены поисково-съемочными работами И. А. Кобельского и М. М. Лаврова (1941), выделившими здесь архейские, протерозойские и нижнеталеозойские осадочно-метаморфические и интрузионные образования. В 1947 г. в среднем течении р. Оног проводили поисково-съемочные работы В. Г. Глухих. На территории листа и в смежных районах Восточного Саяна неоднократно проводил геологические исследования С. В. Обручев.

В начале пятидесятых годов на площасти листа развернулись систематические исследования, основной целью которых были поиски месторождений редких металлов, золота, асбеста, боксита, марганца и других полезных ископаемых. В этой связи необходимо отметить работы Л. И. Николаевой и Ю. К. Дзинкаса (1951—1953), А. Г. Баянова (1952), А. Г. Баянова, С. П. Плещанова и И. М. Русанова (1951—1954), В. С. Гребенникова (1951, 1952) и Ф. Ф. Толстухина (1953). На Остинском ультрасосновном массиве проводила тематические работы М. В. Богданова (1956).

С открытием в 1954 г. А. И. Дековым и Н. Ф. Рубловым Пионерского месторождения золота начался новый этап палеонтологического изучения района. В процессе геолого-поисковых работ Ильчирской, а позднее Окинской экспедицией БГУ за период 1955—1961 гг. опрошено и закартировано в масштабе 1 : 50 000 и 1 : 200 000 больше половины территории листа. Основным результатом этих работ явилось открытие ряда промышленных месторождений золота и многочисленных промышленных других полезных ископаемых. В решении этих задач принимали участие А. Н. Артемьев, В. А. Ананьев, А. И. Верхозин, Л. С. Волков, В. А. Глоба, О. Ф. Горнавиков, В. А. Городин, В. Ф. Духовников, Ю. Ф. Ефимов, А. Г. Яакин, В. В. Левинский, Н. И. Лукин, А. П. Рихванов, Н. Ф. Рублов, Л. И. Старчак, Г. А. Феофилактов, Б. В. Шергин и др. Одновременно с поисками золота проводилась разведка и поиски запасов на Ильчирском месторождении асбеста (В. А. Антонченко, 1959). В северо-западной части листа запрептились работы по оценке запасов Урикского редкометального месторождения (В. И. Гук, 1956—1958), а в его окрестностях проводилась геологическая съемка масштаба 1 : 50 000 (В. В. Дудкинский и др., 1958—1959;

Е. Л. Емельянов и др., 1960). Северо-восточная часть листа в 1958 г. была покрыта геологической съемкой масштаба 1 : 200 000 (Арсентьев и др., 1958—1959).

На протяжении 1957—1960 гг. Арсентьевым проводились контрольно-увязочные маршруты.

При составлении геологической карты листа № 47-XXXVI и объяснительной записки к ней в основном были использованы материалы геологических исследований периода 1955—1961 гг. и проведено линефирирование аэрофотоматов. Качество аэрофотоматериалов удовлетворительное. Кроме того, в объяснительной записке написано отражение результаты радиометрии, проводившейся параллельно с поисково-съемочными работами, и аэромагнитной съемки (В. И. Бломенгай и др., 1959, 1960).

## СТРАТИГРАФИЯ

Более 50% площасти листа слагают разнообразные интрузивные породы. На оставшейся территории развиты преимущественно древние толщи докембрия. Подчиненное значение имеют кембрийские, юрские и кайнозойские отложения. Площасти расположена в пределах двух структурно-формационных зон — Присаянской и Иркутско-Каахемской\*. В Присаянской зоне, включающей северо-восточную половину листа, наиболее древними являются породы ерминской и шумихинской свит шарыканской серии архея. Отложения нижнего комплекса протерозоя имеют незначительное распространение и представлены гнейсами и мраморами камчадальской свиты. По р. Урик в грабене среди архейских образований залегают среднепротерозойские породы большеперенечные и уральской свит. К Иркутско-Каахемской зоне относится юго-западная территория листа. Архейские образования здесь представлены разнообразными гнейсами, амфиболитами, кварцитами и мраморами шарькальтайской и слюдянской серий. На гнейсы архея с азимутальным несогласием налегает иркутская свита мраморов нижнего-среднего комплекса протерозоя. Согласно перекрывающей ее эфузивно-осадочная ильчирская свита относится к среднему комплексу протерозоя. Выше с разрезом несогласием залегает верхний комплекс протерозоя, представленный терригенной барунгольской и карбонатной монгольской свитами. Последняя содержит остатки водорослей *Coporitophyton*, *Collumnacolena* и др.

Между этими свитами наблюдается местный перерыв. В кембрии на сложно дистоциированный и прорваный интрузии докембрийский фундамент в условиях межгорного прогиба отложились молассы саганскаяской свиты (рис. 1). Известные на территории листа мезозойские и кайнозойские образования имеют континентальное происхождение. Это горские конгломераты и песчаники нарингольской толщи, неогеновые базальты плато, четвертичные ледниковые, водно-лениковые, озерные и аллювиальные отложения.

## ПРИСАЯНСКАЯ ЗОНА

### Нижний архей

Шарыкальтаяская серия. На площасти листа породы шарькальтайской серии распространены в основном в Присаянской зоне — в бассейнах рек Онога и Урика, где расщеплены на две свиты — ерминскую и шумихинскую.

Ерманская свита (*Aer*) является наиболее древней частью стратиграфического разреза. Она детально изучена в бассейне р. Бод. Нарин

\* Так как в настоящее время нельзя уверенно согласовать разрезы докембринской Присаянской и Иркутско-Каахемской зон, стратиграфия докембра приведена отдельно для каждой зоны.

Группа		Номера комплексов	Индекс	Мощность в м	Характеристика горы
Полигруппа	Комплекс				
АРХЕИСКАЯ	ПРОТЕОЗОИСКАЯ				
ВИНАГРАДНАЯ	СРЕДНИЙ КОМПЛЕКС				
РП-1	РП-2	900-1050	Большегорская свита Караганда. Сланцеватые амфиболовые гнейсы, полимитовые кварциты и кварцитоамфолиты, пачки амфиболитов и кварцевых пород.	Уральская свита. Караганово-сарычтовые гнейсто-кварциты, упакованные в кварцово-биотитовые сланцы. Иногда гнейсты с амфибеликами, гранатами, калифорнитами, гипсами.	Уральская свита. Караганово-сарычтовые гнейсто-кварциты, упакованные в кварцово-биотитовые сланцы. Иногда гнейсты с амфибеликами, гранатами, калифорнитами, гипсами.
РП-3	РП-4	1050-1100	Камчалтанская свита Гостасобианковые и биотитовые амфиболовые гнейсы, метаграниты, метагранитоизвестники.	Шарыжалгайская серия. Шумихинская свита. Мигматиты, биотитовые гранато-амфиболовые и метаболиты. Биотитовые, биотито-амфиболовые и метаболиты гнейсы, карбонаты горизонт гранато-кварцитовых сланцев.	Шарыжалгайская серия. Шумихинская свита. Мигматиты, биотитовые гранато-амфиболовые и метаболиты. Биотитовые, биотито-амфиболовые и метаболиты гнейсы, карбонаты горизонт гранато-кварцитовых сланцев.
АРХЕИСКАЯ	ПРОТЕОЗОИСКАЯ				
ВИНАГРАДНАЯ	СРЕДНИЙ КОМПЛЕКС				
РП-1	РП-2	1050-1100	Большегорская свита Караганда. Сланцеватые амфиболовые гнейсы, полимитовые кварциты и кварцитоамфолиты, пачки амфиболитов и кварцевых пород.	Уральская свита. Караганово-сарычтовые гнейсто-кварциты, упакованные в кварцово-биотитовые сланцы. Иногда гнейсты с амфибеликами, гранатами, калифорнитами, гипсами.	Уральская свита. Караганово-сарычтовые гнейсто-кварциты, упакованные в кварцово-биотитовые сланцы. Иногда гнейсты с амфибеликами, гранатами, калифорнитами, гипсами.
РП-3	РП-4	1100-1150	Камчалтанская свита Гостасобианковые и биотитовые амфиболовые гнейсы, метаграниты, метагранитоизвестники.	Шарыжалгайская серия. Шумихинская свита. Мигматиты, биотитовые гранато-амфиболовые и метаболиты. Биотитовые, биотито-амфиболовые и метаболиты гнейсы, карбонаты горизонт гранато-кварцитовых сланцев.	Шарыжалгайская серия. Шумихинская свита. Мигматиты, биотитовые гранато-амфиболовые и метаболиты. Биотитовые, биотито-амфиболовые и метаболиты гнейсы, карбонаты горизонт гранато-кварцитовых сланцев.

Рис. 1. Стратиграфическая колонка докембрийских отложений Гри-  
сайской структурно-формационной зоны

и в Межкурецье Бол. Хан и Урика (Емельянов, Никитенко, 1960). Здесь в ее составе выделено 6 пачек. Разрез первой пачки обнажен по р. Урику. В ней преобладают мелкозернистые биотитовые гнейсы и пластигнейсы, тесно переслаивающиеся с амфиболовыми гнейсами, массивными и сланцеватыми амфиболитами. Мощность пачки 500—550 м. Выше по разрезу в береговых обнажениях р. Урика на биотитовых гнейсах первой пачки согласно затягают массивные и сланцеватые амфиболиты второй пачки. Биотитовые и биотитово-амфиболовые гнейсы имеют в ее составе ограниченное распространение. Мощность второй пачки не превышает 400 м. На правобережье р. Бол. Нарина городы второй пачки согласно перекрываются интенсивно мигматизированными биотитовыми гнейсами, выделяемыми в третью пачку, имеющую мощность 400—600 м. Для четвертичного пачки характерны горизонты среднезернистых гранатовых амфиболитов и светло-серых сплошных гранитов с гранатом; широкое развитие имеют разнотекущие амфиболовые амфиболовые и биотитово-амфиболовые гнейсы. Мощность пачки 500 м. Здесь же на правобережье р. Бол. Нарин обнажена выщележащая пачка мелкозернистых сплошных кварцитов, биотитовых, гранатово-биотитовых и биотито-силлиманитово-кордиеритовых гнейсов, среди которых присутствуют маломощные прослои биотитово-амфиболовых гнейсов и амфиболов, иногда содержащих гранат. Мощность пачки 300 м. Верхняя граница этой пачки нечеткая, слюдистые кварциты через постепенное переслаивание сменяются вверх по разрезу серыми мелко- и неравномерногернистыми, иногда кварцитовидными биотитовыми гнейсами шестой пачки. В ее составе встречаются прослои гранатово-биотитовых и амфиболово-биотитовых гнейсов и линзы амфиболитов. Мощность верхней пачки 350—400 м.

Суммарная мощность ерминской свиты 2450—2750 м.

Шумихинская свита (*Aisym*) отличается преобладанием гранатовых амфиболитов, которые согласно заходят на биотитовых гнейсах ерминской свиты в ядрах синклинальных структур. Е. Л. Емельянов и Ю. А. Никитенко (1960) на водоразделе рек Мал. Хая и Бол. Нарин расчленили свиту на три пачки. Нижняя мощностью 300 м является переходной между свитами и содержит горизонты биотитовых гнейсов. В основном она сложена массивными или сланцеватыми, иногда пятистистыми мелкозернистыми амфиболитами и в меньшей мере — мелкозернистыми амфиболитами, дюпсид-гиперстен-амфиболовыми и биотитово-амфиболовыми гнейсами. Разрез пачки заканчивается горизонтом (8 м) гранатово-биотитовых гнейсов, которые согласно перекрыты черными мелкозернистыми гранатовыми амфиболитами средней пачки. В средней части разреза постепенной амфиболиты характеризуются средне- и крупнозернистым узловатым строением и переслаиваются с гранатово-амфиболовыми гнейсами. Среди амфиболитов в верхней части пачки отмечены маломощные прослои и линзы кварцитов и грубозернистых гранатово-биотитовых и ставролитово-дистен-силлиманитовых гнейсов. Мощность средней пачки 300—400 м. Верхняя пачка шумихинской свиты также сложена мелко- и среднезернистыми гранатовыми амфиболитами. В ее основании залегает довольно выдержаный горизонт мощностью 100 м гранатово-кварцитовых сланцев, поддержанных андазитом и силлиманитом. Мощность этой пачки превышает 250—300 м. Общая мощность шуминской свиты не менее 1000 м.

Для ерминской и шумихинской свит характерна интенсивная мигматизация. Наиболее широко распространены послойные мигматиты, реже встречаются теневые мигматиты и агматиты. По стволам регионального метаморфизма породы этих свит соответствуют гранулитовой, амфиболовой и эпил-амфиболовой фациям, являясь наиболее древними архейскими образованиями Восточного Саяна. Они смыты в крутые линейные складки северо-западного и субмеридионального простирания. Нормальных стратиграфических контактов ерминской и шумихинской свит с вышеупомянутыми образованиями на площади листа не наблюдалось. Восточнее, в среднем течении р. Китой (И. М. Широбоков, 1961 г.), где разрез архея гораздо полнее, шарыжалгайская серия без видимого несогласия перекрывается китайской свитой следянской серии архея.

## ПРОТЕРОЗОЙ

### Нижний комплекс протерозоя

Камчадальская свита (*Pt<sub>1km</sub>*) известна на небольшом изолированном участке в северо-восточной части территории листа. В ее составе прослой мраморизованного доломитизированного известняка мощностью 250—350 м. Среди гнейсов встречаются очковые разновидности, парфированные в них представлены кальциевым полевым шпатом. Более полные разрезы камчадальской свиты изучены на смежных листах (Дубников, 1960; Широбоков, 1961), где они включают горизонты магнезита, доломита и гальконо-камня. В соседнем районе выше камчадальской свиты согласно залегает свита Соснового Байка с горизонтами железнитых кварцитов, алевритовых в пределах Алга-Саянской области повсеместно относятся к нижнему комплексу пропрерозоя. На территории листа №47-XXXVI мощность камчадальской свиты не превышает 800—1000 м.

### Средний комплекс протерозоя

Большереченская свита (*Pt<sub>2br</sub>*) распространена в бассейне р. Урика. Узкие полосы этой свиты, проявляясь вдоль Большого Саянского разлома, обрамляют Уриско-Ийский грабен с запада и юга. Контакты свиты с окружающими комплексами на площади листа везде текtonические. Основную роль в составе свиты играют сланцеватые амфиболиты, амфиболовые микрогнейсы и кварциты.

В окрестностях Уриского месторождения большереченская свита расщепляется на две пачки. Нижняя сложена серыми массивными, участками сланцеватыми, кварцитами, которые иногда обладают тонкотолстостатым строением за счет маломощных прослоев темно-серых амфиболитовых и амфиболово-биотитовых микросланцев. Мощность пачки 150 м.

Верхняя пачка состоит из трех горизонтов (снизу вверх): 1) серые массивные кварциты с редкими маломощными пластами кварцевых сланцев, мощность 50 м; 2) мелко- и среднезернистые сланцеватые амфиболиты с редкими прослоями кварцитов, мощность 350—400 м; 3) частое переслаивание амфиболовых и кварцевых сланцев, мощность 400—450 м. Общая мощность большереченской свиты 900—1050 м. Амфиболовые сланцы верхней пачки являются вмещающими породами для рекомегатитовых пембитов Уриского месторождения. Большереченская свита условно отнесена к среднему протерозою. На смежном листе, по данным П. И. Шамеса (1959), эта свита резко отличается по структурно-литологическим признакам от нижнепротерозойских образований и составляет единый структурный комплекс с вышележащей Уриской свитой условно среднепротерозойского возраста.

Уриская свита (*Pt<sub>2ur</sub>*) слагает на площади листа большую часть структуру субмеридионального простирания. Характерной особенностью урискской свиты является ритмичное строение ее разреза. Детальными работами здесь выявлено семь транспрессивных ритмов, состоящих из грубозернистых скелетных свит, состоящих из грубозернистых или карбонатных в кровле. Следы осыпков в подошве размыва в разрезе отсутствуют. Выделенные ритмы объединяются в три макроритма (Дудкинский и др., 1958—1959).

Первый (снизу) макроритм включает 1, 2 и 3 ритмичные пачки и отличается преобладанием пембитовых осадков. В его основании (первая пачка) залегают черные и темно-серые грубозернистые, слабо метаморфизованные полимиктовые пестранники и туфросланники, включающие маломощные тела кварцевых слоев биотитово-карбонатных утолщений и увеличения мощности пестранников и увел. порфиров. За счет постепенного утолщения верхняя часть ритма становится преимущественно сланцеватой, преобладают серигитово-кварцевые разновидности. Мощность ритма 360—380 м. Основание второй пачки представлено горизонтом темно-серых тонкозернистых кварцитовидных пестранников. Мощность 40 м.

Выше наблюдается тесное пересланывание кварцитовидных и полимиктовых песчаников, кварцевых, кварцево-биотитовых, кварцево-сернистовых, глинисто-хлоритовых, углистых и глинистых сланцев и микросланцев. В кроюте залегают известково-глинистые сланцы, переслаивающиеся с полосчатыми известняками. Мощность пачки первого макрорита начинается с серых известняков мощностью около 15 м. Далее, вверх по разрезу, наблюдается тесное пересланывание серых и темно-серых кварцевых и кварцитовидных мелкозернистых песчаников с черными кварцево-сернистовыми и зеленовато-серыми хлоритово-кварцевыми сланцами. Выше залегает горизонт белых и светло-серых тонкотолстых известняков. Среди кварцево-сернистых сланцев отмечены мало-мощные тела кварцевых порфиритов. Мощность третей пачки 460—485 м.

Общая мощность первого макрорита 1270—1315 м.

Для второго макрорита характерны алевритовые прослои, слагающие четвертую, пятую и шестую ритмичные пачки Уриской свиты. Важной особенностью четвертой пачки является наличие углистых сланцев и мало-мощных прослоев кварцевых порфиритов. Поступлением пересланыванием кварцево-сернистовых, глинисто-карбонатных, кварцево-хлорит-сернистовых, биотитово-кварцевых и кварцево-сернистых сланцев и микросланцев. В верхней части разреза появляются известковистые сланцы, которые сменяются массивными доломитизированными известняками. Мощность четвертой пачки 385—390 м. Пятая пачка сложена черными и серыми тонкослойстыми углисто-сернистовыми, хлоритово-сернистовыми, кварцево-биотитовыми, углистыми и др. сланцами с маломощными горизонтами серых кварцевых песчаников. В кровле наблюдается пересланывание известняков с глинисто-карбонатными сланцами. Мощность пятой пачки 348—355 м. Разрез следующего (второго) макрорита завершается шестой пачкой, имеющей преимущественно сланцевый состав. Характерной ее особенностью является присутствие прослоев амфиболитов, залегающих в верхней части. Разрез завершается маломощным пластом известняков. Мощность шестой пачки около 400 м. Суммарная мощность отложений второго макрорита 1140 м.

В третьем макрорите преобладает карбонатный материал. Нижняя часть разреза представлена гранулитами, песчаниками и реже контгломератами. В составе их глыбы отмечены кварц, полевые шпаты, кварцево-биотитовые сланцы. Выше гранулиты и песчаники постепенно сменяются микрозернистыми биотитово-кварцевыми и кварцево-сернистыми сланцами с маломощными прослоями сланцеватых амфиболитов. Далее идет тесное чередование известково-глинистых и известковистых сланцев со светло-серыми известняками. Разрез заканчивается серигитово-кварцевыми и кварцево-сернистыми сланцами и микросланцами, содержащими незначительные прослои амфиболитов, амфиболово-карбонатных сланцев и известняков. Мощность верхнего макрорита 880—980 м. В целом мощность уриской свиты 3300—3450 м. Положение свиты в разрезе доломитов Восточного Саяна изучалось многими исследователями в центральной и северо-западной части Уриского грабена. Работами П. И. Шамеса (1959), П. В. Дубина (1956—1958) и др. показано, что эта свита залегает выше большереченской свиты и условно отнесена к среднему комплексу протерозоя.

### Нерасчлененные пропрерозийские образования (*Pt*)

Эти образования известны в южной части Уриского грабена на водоразделе рек Даиль — Большая Хая, где они слагают площадь около 20 км<sup>2</sup>, ограниченную разломами. Эти отложения представлены биотитовыми, гранато-биотитовыми, силиманито-биотитовыми, амфиболитовыми гнейсами, биотитовыми сланцами, кварцитами и амфиболитами. В. В. Дудкинский (1958, 1959) объединяет их в магнитогорскую свиту, расчленяя на пять пачек (снизу вверх): 1) пересланывание серых и темно-серых среднезернистых биотитовых, гранато-биотитовых гнейсов, реже амфиболитов и амфиболовых гнейсов. Основание пачки срезано Большими Саянскими

разломом, мощность 350—475 м; 2) серые среднезернистые силиманин-биотитовые гнейсы, в основании залегают слюдистые кварциты, мощность 125 м; 3) частое чередование серых, темно-серых и мелкозернистых кварцитов и серых среднезернистых силиманин-биотитовых гнейсов и сланцев; 4) преобладают кварциты, мощность 150 м; 4) силиманин-биотитовые гнейсы и сланцы с небольшими просторами слюдистых кварцитов. Характерно, что содержание силиманиита здесь выше, чем в предыдущих пачках. Мощность 150 м; 5) в основании пачки наблюдается частое чередование силиманин-биотитовых сланцев с кварцитами. Выше — мелко-, средне- и крупнозернистые силиманин-биотитовые гнейсы, переслаивающиеся с редкими маломощными пачками силиманин-биотитовых сланцев и среднезернистых кварцитов. Содержание силиманиита в отдельных разновидностях гнейсов составляет 10—15%. В силиманин-биотитовых сланцах содержатся до 20—35% силиманита. Эта пачка наиболее перспективна на высокоглиноземистое сырье. Мощность 350—400 м. Общая мощность толщи 1125—1325 м.

Слагдающие ее породы метаморфизованы в условиях амфиболовой фации и на контактах с гранитоидами сиенского комплексамагматизированы гранитным и кварцево-полевошпатовым материалом. В разрезе восточно-сиенского архет гнейсово-кварцитовая толща не имеет аналогов. Более позднеисследователей считают ее протерозойской. Положение толщи в общем разрезе не установлено. В. В. Дудкинский (1958—1959), А. Я. Колтун (1961) и др. относят ее к нижнему комплексу протерозоя. Сходную толщу развитую в северо-западной части хр. Шээл, П. В. Дубинин параллелизует с отложений нижнего и среднего комплексов протерозоя. По окончательного решения вопроса о положении гнейсово-кварцитовых отложений в разрезе докембрия для них следует условно принять протерозойский возраст.

ИРКУТСКО-КАХАМСКАЯ ЗОНА

Нижний археол.

По Ланьмюру и Никитиной (1961), первичный метаморфизм пород глыбы характеризовал установка гранулитовой фации, для которой птигоморфными явились ассоциации буровой роговой обманки, гиперстена, граната и основного плагиоклаза, буровой роговой обманки, моноклинного широксена, погодного метаморфизма первичные минералы были в значительной мере замещены хлоритом, эпилотом, мусковитом и биотитом. Большинством исследователей (Арсеньев, 1956; Болков, 1959–1960; Никитина, 1961) считается, что в Гартанской глыбе имело место двухкратное наложение диафтореза. Диафторез первой фазы, характеризуемый условиями эпилот-амфиболовой фации, был связан с этапом прогрессивного регионального метаморфизма окружающей глыбу протерозойских толик. Наиболее сильно он выражен по периферии глыбы. Диафторез второй фазы проявился вдоль нижнегеоэзовых разломов северо-западного простирания и соответствует условиям зелено-сланцевой фации. Архейские отложения в Гартанской глыбе сложно дислоцированы и определить их мощность на площади листа невозможно. Западнее, в бас-

сениях рек Урика, Оки и Иркута мощность пород шарыжкамалайской серии не менее 5500—6000 м.

Высокая степень регионального метаморфизма пород Гарганской глыбы, преобладание среди них амфиболитов, амфиболовых и биотитовых гнейсов позволяют сопоставить их с гнейсами и амфиболитами шарыжкамалайской серии архен в бассейнах рек Урик, Онот и Китой. Архейский возраст пород Гарганской глыбы подтверждается также данными определения их абсолютного возраста калий-аргоновым методом. Так, биотит из слабо диагматированных гранитогнейсов имеет минимальный возраст 1900—1940 млн. лет (Никитина, 1961).

**Слюдянская серия ( $A_{2s}$ )**. Гнейсово-мраморный комплекс пород этой серии слагает широкую пологу северо-западного направления, протягивающуюся от верховьев р. Ермосха через бассейн рек Урик и Онот до низовьев р. Эх-Гол. С северо-востока слюдянская серия отдеяется системой Большого Саянского разлома от архейских образований шарыжкамалайской серии и протерозойских толщ Уринского-Ильского грабена. Юго-западный контакт слюдянской серии также тектонический или затушеван гранитоидами саянского комплекса. Разрез слюдянской серии наиболее детально изучен в бассейне р. Урика (Духовников и др., 1958; Дудкинский и др., 1958—1959). В составе серии здесь выделено 6 согласно залегающим пачек (снизу вверх):

Первая, мраморно-гнейсовая, пачка представлена тесно переслаивающимися черными и темно-серыми мелко- и среднезернистыми амфиболовыми, биотитово-амфиболовыми, реже гранатово-биотитовыми и амфиболово-биотитово-пироксеновыми гнейсами, среди которых отмечено 10 прослоев мраморов различной мощности — от 2,5 до 75 м. Мраморы обладают средней и крупнопластической структурой, полосчатые, часто окварцированы и окварцированы. Общая мощность пачки 620 м, из них простой мраморов составляет 250 м.

Вторая пачка более чем на 65% состоит из мраморов, характеризующих средне- и мелкозернистым строением и почти повсеместной графитизацией. Иногда в их составе встречается диопсит. Среди мраморов присутствуют прослои амфиболовых, амфиболово-диопситовых, биотитовых и гранатово-биотитово-амфиболовых гнейсов и плагиогнейсов. Мощность этих прослоев не превышает 30—50 м. В середине разреза залегает маломощный простой черных массивных амфиболов. Мощность пачки 750—850 м.

Третья пачка, в отличие от нижележащих пачек, содержит более 10% мраморов. Сложена она преимущественно биотитовыми, биотитово-гранатово-амфиболовыми, гранатово-пироксеново-амфиболовыми, биотитово-пироксеновыми, пироксеновыми и амфиболовыми гнейсами, обладающими мелко- и среднезернистой структурой. Пироксен в их составе соответствует диопсиду, гранат представляет альмандином. По р. Ара-Шигне в гнейсах присутствует мелкозернистый графит. Мраморы обычно граffитизированы и содержат включение диопсита. Мощность пачки 805 м.

Четвертая пачка состоит из среднезернистых амфиболовых и пироксеново-амфиболовых гнейсов, среди которых залегают единичные маломощные интрузионные гнейсы, общая мощность 400—460 м.

В пятой пачке залегают мелкозернистые биотитовые и гранатово-биотитовые гнейсы. Мощность 250 м.

Для шестой пачки характерно преобладание биотитово-амфиболовых и амфиболовых гнейсов, среди которых залегают единичные маломощные прослои мраморов и гранатово-биотитовых гнейсов. Мощность пачки 980 м. Суммарная мощность слюдянской серии составляет 3700—3960 м. Отложение слюдянской серии регионально метаморфизованы в условиях амфиболовой фации. Характерна их повсеместная послойная магматизация. По составу они соответствуют верхней половине слюдянской серии в хребте Хамар-Дабан И. М. Широбоковым (1961) в среднем течении р. Китой установлено, что слюдянская серия согласно залегает на шарыжкамалайской Архейский возраст слюдянской серии в настоящее время признан большинством исследователей.

ПРОТЕРОЗОЙ

**Нижний — средний комплекс протерозоя нерасчлененный**

Иркутская свита ( $Pt_1-2ir$ ) развита преимущественно в западной половине листа в верховьях рек Урика и Китоя. Ее небольшие узкие поля выделены в бассейнах рек Хан — Хушун — Жалдаца. В составе Тунгусского Транссибирского пояса имеют пол-

свиты преобладают различные мраморы. Геометрические породы листа, исходя из члененое знание. Разрезы свиты, изученные в различных участках листа, указывают на своеобразные условия формирования. В большинстве случаев определены гипотезы тектонические: стратиграфический

(бассейн р. Урик), осадкообразование протекало в условиях интенсивного прогибания. Нижнесреднепротерозойский возраст иркутской свиты принят условно.

По литологическим особенностям и положению в разрезе иркутская свита согласовывается с балыктыхемской свитой в Туве и дербинской свитой в Дербинско-Удинском районе Восточного Саяна. На плоскости листа иркутская свита согласно перекрывается ильинской свитой среднепротерозойского комплекса.

Средний комплекс протерозоя

чает контакты с архейскими породами лишь в верховых р. Китоя, где контакт описан Л. С. Волковым (1960) и кректия свита с резим несогласием залегает на диафторированных архейских гнейсах Гарганской глыбы. Здесь описан следующий разрез (снизу вверх):

1. Зона выветрелых окисленных рассланцованных гранито-гнейсов, 5 м.
2. Светло-серые тонкозернистые, иногда гофрированные сподисто-кварцевые сланцы, переслаивающиеся с маломощными линзами массивных мелкозернистых сланцев приглицированных кварцитов, 7 м.
3. Светло-серые мелкокристаллические массивные кварциты с мусковитом по плоскостям отдельности, 3 м.
4. Светло-серые сподисто-карбонатно-кварцевые сланцы с нескользкими пропластками кварцитов, 3 м.
5. Темные филипиновые угласто-серпилитово-кварцевые сланцы, 1 м.
6. Темные известняки, насыщенные углистым веществом, постепенно переходящие в светлые неяснослоистые известняки, 4 м.
7. Светлые слюдисто-кварцевые сланцы с линзами кварцитов, 12 м.

Выше по разрезу преобладают серые и светло-серые „*муромиты*“ и окварцеванные известняки. В верхней части разреза среди известняков отмечены горизонты сланцев, состав которых характеризуется различными соотношениями кальция, магнезии, карбоната, хлорита и серидита. В. Н. Лодонниковым (1941) в известняках иркутской свиты микроскопиче-

ским анализом были установлены обломки плагиоклаза, кварца и альбита. Мощность свиты в пределах Гаргатской глыбы не превышает 1000 м. Известняки здесь смяты в пологие складки и выполняют мелкие грабены среди гранито-гнейсов.

До сих пор в гранитных скалах участками доломитизированных, окваркованных или графитизированных. В средней части разреза встречаются прослои и линзы мощностью до 200 м серых мелкозернистых сподолито-кварцевых сланцев. Кроме того, составе свиты отмечены малоподвижные линзы серых массивных кварцитов и мелкогалечных континентальных с карбонатным или хлоритово-кварцевым цементом. Галька представлена кварцем, мраморами и кремнистой породой. Мощность иркутской свиты здесь превышает 2500 м.

Ю. Р. Хундлупич-Лаппа известники и сланцы при горячих источниках входят в гнейсам слюдянико-серии и сандаловиками, а также гранитами. Известники здесь преимущественно белые и светло-серые, хорошо раскристаллизованные, участками полосатые. Среди сланцев, пересланцовавшихся с известняками, В. Ф. Духовников (1957) выделил биотитово-кварцевые, улистые, фиолитовидные андалузитовые, гранатово-биотитовые и другие разновидности.

Верхний комплекс протерозоя

В бассейне Р. Урика ильчирская свита изучалась И. А. Ковальчиким (1941), Л. И. Николаевой (1951—1953), В. Ф. Духовниковым (1958) и др. В низах свиты преобладают грубозернистые сильно из амфифизованных кристаллические сланцы, состоящие из амфибола, биотита, граната, ставролита, кварца и реже птигиоклаза. Верхняя часть свиты сложена зелеными и черными филлитовидными сланцами кварцево-хлоритового и карбонатно-эпидотового и углисто-карбонатного состава. По данным В. Ф. Духовникова и Л. С. Волкова (1958), переход между зелеными и кристаллическими сланцами постепенный. Среди зеленных сланцев отмечены малогабаритные простой и линзы пещерников и конгломератов. Ильчирская свита имеет мощность 2500—3000 м и вместе с согласно подстилающей ее нижне среднепротерозойской иркутской свитой смята в крутые линейные складки. Выше ее с резким несогласием залегают барутигольская и монголинская свиты. Выше ее с резким несогласием залегают барутигольская и монголинская свиты. Верхнего комплекса протерозоя. Поэтому для Ильчирской свиты условно принят среднепротерозойский возраст. В Тувинской подзоне Иркутской Каахемской зоны ильчирской свите соответствует олиинская свита. Следует отметить, что относимые к ильчирской свите зеленые сланцы на левобережье реки Урик в 1956 г. отнесены Ф. К. Волколаковым (1959) в окинской свите.

В данном случае мы считаем, что эти сланцы входят в состав ильчирской свиты, но это следует рассматривать только как частный случай. Вопрос о повсеместном тождестве окинской и ильчирской свит или о более древнем

Барунгольская свита ( $Pt,br$ ) известна только в бассейне р. Киной на северном крыле Ильинского синклиниория. Ее разрезы изучены по рекам Баруул-Гол, Саган-Сайр и Шумак. В основании свиты залегают

Таблица 1

Название породы	Структура	Состав
Темно-зеленые расщандрованные диабазы фузивы	Бластоофитовая, гранулофитовая	Плагиоклаз (андезин), биотит, мусковит. В гранулы: кварц, хлорит, кальцит, эпидот, рудный минерал
Светло-серые массивные альбитофиры	Бластопирровая. Основная масса бластодиабазовая	Призматические эпидотово-хлоритово-карбонатные псевдоморфозы по птичникам. В основной массе хлорит, кварц, эпидот, реже кальцит, мусковит и рудный минерал
Зеленовато-серые рассланцованные кварцевые порфиры	Порфировая. Основная масса микрофельзитовая	Во вкраепленниках альбит и кварц. Основная масса сложена кварцем, альбитом, хлоритом, кальцитом и рудным минералом
Зеленовато-серые рассланцованные мегапорфирсы	Бластопирровая. Основная масса микрозернистая	Во вкраепленниках ромбовидный кварц, кислый птичник. Основная масса кварцево-полевошпатовая с кальцитом, эпидотом, пелитом и рудным минералом
Зеленые плагиоклазовые порфиры	Бластопирровая. Основная масса фибролитовая	Мелкозернистые скопления кварца среди актинолитово-эпидото-хлоритовой основной массы
Порфировая. Основная масса микро- и криптозернистая, участками криптопегматитовая	Бластопирровая. Основная масса фибролитовая	Во вкраепленниках андезин. Основная масса сложена хлоритом, эпидотом, кальцитом, калиевыми шпатами, кальцитом и титано-магнезитом, об разующим иногда скелетные формы

базальные континентальные конгломераты, мощность которых не превышает 50—70 м. Горизонт конгломератов имеет ритмичное строение. Мощность отдельных ритмов изменяется от 1 до 5—6 м. Галька конгломератов хорошо окатана, часто имеет вытянутую форму и рассланцирована вместе с цементом. Ее размеры обычно не превышают 10 см, но иногда достигают 50—80 см в перечнике. Галька представлена белыми и серыми известняками, розовыми и серыми мелкозернистыми кварцитами, карбонатизированными и хлоритизированными биотитовыми гнейсами, темно-зелеными диабазами, измененными андезитовыми гранитами, гранит-аллитами, черными тонкоглитччатыми филлитами, зелеными сланцами, кварцевыми порфирами, кератофирами, альбитофирами и другими породами. Цемент — карбонато-хлоритовый, мелкозернистый, интенсивно рассланцирован. Характерно широкое развитие в нем фуксита и рудного минерала. Вверх по разрезу конгломераты постепенно сменяются серыми и зеленовато-серыми кварцевыми, аркосовыми и кварцево-карбонатными песчаниками с базальным типом цемента и имеющими псевдогипсовую, псамmitовую или алевритовую структуру. В верхней части свиты преобладают зеленовато-серые и зеленые сланцы, состоящие, в основном, из переменных количеств кварца, карбоната, альбита, олигоклаза, серпента и хлорита. Сланцы тесно переклаиваются с песчаниками, что обусловило филионидное строение свиты.

По Р. Шумак И. П. Бузиковым (1957) среди сланцев отмечены амфиболитовые разновидности с реликтами порфиритовой структуры, указывающей на их эфузивное происхождение. Разрез свиты заканчивается известняками, переслаивающимися со сланцами. Известники обладают серым и темно-серым цветом, окварцованны и доломитизированы. Отложения барунгольской свиты имеют мощность до 1500—2000 м и сложно дислоцированы в крутых линейках складок субширотного простирания. В структурном отношении барунгольская свита составляет единое целое с согласно перекрывающей ее Монголинской свитой, содержащей остатки позднедокембрийских строматолитов. На этом основании возраст барунгольской свиты определяется как верхне-протерозойский.

Монголинская свита (*Ptung*) сложена преимущественно карбонатными породами и широко развита в бассейне Р. Китоя на северном крыле Ильчирского синклиниория. Небольшие выходы монголинской свиты известны у западной рамки листа по рекам Урик и Эх-Шилья. В бассейне Р. Китоя Монголинские известняки согласно залегают на известняко-сланцевой пачке барунгольской свиты. Небольшой первыв между свитами, выраженный горизонтом базальных конгломератов, отмечен Л. С. Волковым (1961а) по Р. Горлык-Гол. Мощность конгломератов измеряется десятками метров. Галька представлена известняками и сланцами барунгольской свиты. Вверх по разрезу конгломераты сменяются белыми и серыми известняками. Иногда известники пятнисты за счет неравномерно распределенного углистого материала, доломитизированы и оквартированы. По Р. Урова-Амын в серых и розовато-серых известняках наблюдались первые поверхности напластования, выраженные тональными бурами, переливающимися прозрачными, обогащенными гидроокисями железа. Некоторые горизонты известняков содержат темно-серые и желтовато-серые овальные стяжения микрокварцитов, которые часто имеют концентрическое строение. И. К. Королюк (1961) предполагает их органическое происхождение и объединяет в группу *Solenites*. Аналогичные стяжания найдены в серых известняках по рекам Яман-Гол и Арыл-Гол. Верхняя часть разреза монголинской свиты сложена серыми и темно-серыми слоистыми и биогенно-известниками, в которых В. П. Ареентьевым (1958—1959), Н. П. Бузиковым (1957), Л. С. Волковым (1959—1960) и А. Я. Самбулом (1961) собраны водоросли *Ostrea*, *Spirifer*, *Cathartina*, *Cathartina*, *Conularia*, *Glyptina*, *Conularia* и *Terebratula*. И. К. Королюк, определившая эти водоросли, считает, что большинство из них имеет довольно ясный позднекембрийский облик и сопоставляет монголинскую свиту с улунгурской свитой Григорийской.

Кроме известняков, в монголинской свите отмечены прослои филлитов, песчаников, внутриформационных известниковых конгломератов, осадочных брекций в красном мергелистом цементе и сильно измененных эфузивов основного и среднего состава. Мощность монголинской свиты 2000—2500 м.

В бассейне р. Урик известна только нижняя часть разреза монголинской свиты, затягивающая непосредственно на ильчирских сланцах. Разрез свиты иногда начинается горизонтом конгломератов. В залегающих выше известняках заключены небольшие линзы сильно измененных зеленых эфузивов. В 1937 г. А. А. Деникин среди этих известняков были обнаружены водоросли *Colenia*.

Верхнетретерозойский возраст монголинской свиты не вызывает сомнений. По составу и положению в разрезе она хорошо коррелируется с айлыгской свитой в Туве, с баргузинской и якатской свитами в Западном Забайкалье.

#### Кембрийская система нерасчлененная

Саганская толща (*Cmsg*) слагает узкий грабен-синклиналь, протягивающийся на 50 км по левобережью р. Китой. Средняя ширина грабен-синклинала 4—6 км. Разрезы сагансайской свиты наиболее детально изучены в верховых Горлык-Гол и по р. Саган-Сайр. На поверхности размываются в верховых песчаников и верхнетретерозойских гранитоидов горийского Монголинских известняков и верхнетретерозойских гранитоидов горийского массива поэто залегает горизонт конгломератов мощностью 300—350 м среди которых встречаются прослои зеленых и лимитов алевролитов и реже желтовато-серых песчано-глинистых сланцев. Галька конгломератов имеет среднюю окатанность, размеры ее различны — от 1 до 30—40 см в поперечнике. Состоит она в основном из известняков монголинской свиты, а также песчаников и сланцев баргузинской свиты; реже встречаются кварцевые порфиры, кварциты, роговики, граниты, габбро и обломки окаменелых водопроводов, кварциты, роговики, граниты, габбро и обломки окаменелых водопроводов *Sagaria*. По устному сообщению Ф. К. Волоклакова, в гальке конгломератов обнаружены серпентиниты. Характерно, что в нижней части конгломератового горизонта состав гальки и цемента преимущественно кварцевый и континентальный имеет светло-серый цвет. Вверх по разрезу в гальке преобладает сланцеватый и песчаниковый материал, цемент обогащается хлоритом и кварцем. Выше конгломераты сменяются кварцевыми и полимиктовыми песчаниками, мощность которых составляет 500—700 м. В основании их залегает несколько горизонтов лимитовых алевролитов и аргиллитов. Мощность сагансайской толщи 800—1050 м. Ее слои смяты в синклинальную складку с пологим северным крылом и крутым опрокинутым южным, на которое надвинуты верхнетретерозойские отложения. По составу, положению в разрезе и структурным особенностям сагансайская толща сопоставляется с сархайской свитой нижнего кембрия в Боксонском районе Восточного Саяна. Вместе с тем она обладает известным сходством с верхнекембрийской исташинской свитой в Западном Забайкалье (В. Г. Белкин, Г. М. Хрептов, 1961 г.). Поэтому для сагансайской толщи устновлено принят дальнейшимими работами.

#### Юрские отложения нерасчлененные

Наригольская толща (*Jtg*) представлена конгломератами, песчаниками и слабо cementированными алевролитами. Эти отложения полого залегают в небольшом грабене по р. Хужирт-Голу. Конгломераты, слагающие нижнюю часть толщи, залегают на выветрелой поверхности сянгих гранитов и представлены плохо отсортированными валунно-глинистыми прослоями, содержащими небольшие линзы торфа. Мощность зернистых прослоев, содержащих небольшие линзы торфа. Мощность зернистых отложений не превышает 7—10 м. Аллювиальные отложения на площади листа имеют незначительное распространение. В долинах большинства мелких рек развит только русловой, реже поименный неотсортированный валуногалечный аллювий. Пойменные и террасовые аллювиальные отложения залегают в расширенных участках долин рек Урик, Онота и Китой. В их составе преобладает галечник материала с прослоями песка и суглинка. Мощность аллювия террас достигает 25 м. Аллювиальные отложения рек Урик, Онота и Китой в ряде участков перспективны на россыпное золото (см. «Полезные ископаемые»).

структурой; иногда наблюдается косая слоистость. В песчаниках отмечены обугленые отпечатки листьев и древесных стволов, но они пока не определены. В пробах песчаников, проанализированных палинологической лабораторией Иркутского геологического управления, обнаружен слегающий спорово-пыльцевой комплекс: *Leiotrichites grabescens* (Мал.) Волч., *Acanthotriteles*, *Cycadaceae*, *Riccia*, *Padiocarpus*, *Conifera*, *Stictoglossaceae*. Мощность юрских отложений 150—200 м. Аналогичные отложения известняков в бассейне р. Оки (Флорентьев, 1937; Обручев, 1942) и в низовьях р. Шумак (Широбоков, 1961).

#### Неогеновая система

Тиссинские базальты плато ( $\beta N$ ) в виде небольших покровов известны на водоразделах в различных участках площади листа. Мощность покровов 200—350 м. Их абсолютные высоты достигают 2900 м. Базальты представляют собой темно-серые, реже бурые, пористые и плотные мелкозернистые породы со столбчатой и склерупинатой отдельностью. Структура их порфировая с пойкилитовой долеритовой, интэрсертальной или гиалопилитовой структурой основной массы. Порфировые вкрашенники представлены оливином, реже плагиоклазом и титан-авгитом. В основной массе лабrador, моноклинит, пироксен, оливин, магнетит, стекло. Базальты, развитые на терригении листа, условно сопоставляются с миоценовыми базальтами бассейна р. Тиссы (Обручев, 1950). И. В. Балев (1958) объединяет эти базальты с покровной миоценовой фацией трахибазальтовой формации Саяно-Байкальской области.

#### Четвертичная система

##### Средний и верхний отделы ( $Q_{2-3}$ )

Ледниковые и водно-ледниковые отложения долин и водоразделов широко развиты в высокогорной области листа. Они целиком выполняют Ильчирскую и Усагнольскую котловины и днища долин в верховых большинства рек. Отдельные морены отмечены в низовьях р. Онот. На водоразделах ледниковые осадки и эратические валуны встречаются преимущественно в южной части листа. Представлены ледниковые отложения неотсортированным валунно-песчанистым материалом. Среди водно-ледниковых отложений при существует слабо выраженные песчано-глинистые прослои. Мощность этих отложений в Ильчирской котловине достигает 50 м. Большшинством исследований для Восточного Саяна принято два этапа древнего оледенения — среднечетвертичный и верхнечетвертичный. На площади ледниковые отложения обоих этапов оледенения объединены.

##### Современный отдел ( $Q_4$ )

Эти отложения представлены торфяно-болотными и аллювиальными отложениями. Торфяно-болотные отложения распространены только в Ильчирской котловине, где залегают на средне-верхнечетвертичных ледниковых отложениях. Состоит они из переслаивающихся песчаников, глинистых и ильстых прослоев, содержащих небольшие линзы торфа. Мощность зернистых отложений не превышает 7—10 м. Аллювиальные отложения на площади листа имеют незначительное распространение. В долинах большинства мелких рек развит только русловой, реже поименный неотсортированный валуногалечный аллювий. Пойменные и террасовые аллювиальные отложения залегают в расширенных участках долин рек Урик, Онота и Китой. В их составе преобладает галечник материала с прослоями песка и суглинка. Мощность аллювия террас достигает 25 м. Аллювиальные отложения рек Урик, Онота и Китой в ряде участков перспективны на россыпное золото (см. «Полезные ископаемые»).

ИНТРУЗИВНЫЕ ОБРАЗОВАНИЯ

Широко развитые на площади листа интрузивные образования различны по составу и возрасту. Архейские интрузии представлены гранитоидами двухфазного китайского комплекса. В нижнем протерозое интрузивная деятельность проявилась только в Присаянской зоне и охарактеризована онотским гранитоидным комплексом. Большая часть интрузивных пород имеет верхнепротерозойский возраст. Это Ильчирский комплекс гипербазитов и саянский комплекс гранитоидов, в котором выделены три фазы. В синеобразован персиковый комплекс диабазовых и ультраосновных даек. Нижненепалеозойский холбинский комплекс представлен даиками и штоками гипербазитов. Наиболее молодыми на площади листа являются массивы субшелочных гранитоидов самсальского комплекса, для которого условно принят палеозойский возраст.

АРХЕЙСКИЕ ИНТРУЗИИ

**Китайский комплекс** гранитоидов распространены среди архейских образований в бассейнах рек Урика и Онога, а также в истоках р. Китоя. Формирование интрузий китайского комплекса протекало в две фазы.

Гранитоиды I фазы ( $Y_1A$ ) слагают согласные линзовидные массивы с пильчато-игольчатыми контактомами и представлены биотитовыми гранитоидами и гнейсово-гранитами. Это серые и розовато-серые средне- и крупно-зернистые гнейсово-видимые или очковые породы. Гнейсово-видимость выражена параллельным расположением биотита и плагиоклаза. В гранитоидах и вмещающих гнейсах она ориентирована однотаково. Структура гранитоидов гетерогранобластовая, лепиотрансформационная или катаклазическая. Минерально-вещественный состав: плагиоклаз № 18—25 (35—45%), частично замещенный серпентинитом и амфиболом; пурпурито-бронзитовый калиевый полевой шпат (15—30%);

квари (до 50%); частично хлоритизированный оникст ( $5-10\%$ ), лиесскорниак минералы представлены цирконом, апатитом, сфеном, с ядрами гранитами. Граниты 1 фазы образуют блоки и рудные жилья. Жилья являются пегматиты и аplitовидные граниты. Химический состав гранитоидов 1 фазы, распространены в бассейнах рек Онот и Урик, характеризуются пересыщенностю кремнеземом и глиноzemом, незначительным преобладанием магния над железом ( $m:j = 20:17$ ) и натрия над калием ( $n = 55$ ). Китойские граниты 1 фазы китойского комплекса

В верховьях р. Китой среди гранитов I фазы китайской горной системы преобладают сильно измененные зеленовато-серые пегматитогранито-гнейсы, имеющие среднезернистое строение и наполовину стекловатую текстуру. Структура их гранитная или гипидоморфозенитовая, часто катаклазическая. Из первичных минералов сохранились квады (30—40%) и олигоклаз эпилита и мусковита. Альбит (до 50%), зерна которого переполнены включениями мусковитом, биотитом, цирконом, ортитом и хлоритом. Аксессорные минералы — апатит, сфен, рутил, циркон и ортит. По химизму гранитоиды верховьев р. Китоя отличаются от гранито-гнейсов бассейнов рек Урика и Онота более лейкократовым составом, преобладанием железистой магнитной ( $f' : m' = 58 : 33$ ) и полным отсутствием калиевого полевого шпата. Эти гранитоиды соответствуют гранитоидам по Дели, отличающимся от них несколько завышенными значениями величин ( $f' : m'$ ) и п. сплошь азуритового цвета.

**Гранитоиды 2 фазы** ( $\gamma_2$ ), развитые среди архейских образований в бассейнах рек Урика и Онота, образуют массивы различных размеров, вытянутые по простиранию архейских структур. Контакты с вмещающими породами согласные, инъекционные. По составу китайские гранитоиды 2 фазы соответствуют микрокинновым гранитам и граносиенитам. Они имеют пегматоидную, аллотороморфозернистую или типиломорфозернистую, а часто катаклазическую структуры; обычно гнейсовидны. Породообразующими минералами являются микроклин (40—60%), олигоклаз (10—30%) кварц (15—30%), биотит (2—5%) и роговая обманка (до 2%). Полевые шпаты серпентинизированы, пелитизированы и альбитизированы. Аксес-

НИЖНЕПРОТЕЗОЙСКИЕ ИНТРУЗИИ

**Онотский комплекс** ( $\text{уPr}^?$ ) имеет на плошади листа неизначительное распространение. Гранитоидами этого комплекса сложен небольшой участок на правобережье р. Онота. Здесь выделены биотитовые птиаграниты и птиагранито-гнейсы, шпогла ониксов. Структура пород птиагранито-зериностатическая, реже гранобластовая или порфиробластовая. Состав: птиагранито-олигоклаз, кварц, микроклин, биотит. Вторичные изменения выражены серпентинизацией, хлоритизацией и эпилитизацией. Акессорные минералы — апатит, сфен, рудный.

Более широко масштабы онотских гранитоидов развиты на смежных листах N-47-XXX, N-48-XXXI и N-48-XXXV (Шамес, 1959; Дубников, 1960; Широбоков, 1961), где условно установлен их нижнепротерозойский возраст, так как они залегают исключительно среди архейских и нижнепротерозойских образований.

ВЕРХНЕПЕРМОЗОИСКИЕ ИНДУКТИ

**Ильчирский комплекс** ( $\text{ЮР}_3^2$ ) обогащает линзовидные массивы ультраосновных пород, расположенные в бассейнах рек. Урика, Онота и Китоя, и образующие отчетливо выраженные гипербазитовые пояса по граните протерозойских синклиниориев с Гаргатской глыбой архея. Северный пояс протягивается через верхнюю реку Китоя и Далянька в бассейн р. Онота. Наиболее крупным в этом поясе является Хардакалинский массив, расположенный к западу от площади листа. Вдоль южной окраины Гаргатской глыбы расположены Ильчирской и Самартинский массивы; в истоках рек Самарти и Амборта-Гола залегает массив Улан-Сарльда, приуроченный, по-видному, к срединному поясу, который в большей мере уничтожен гравийной интузии. На востоке рек Онота и Китоя на стыке поясов находится один из наиболее крупных гипербазитовых массивов — Осининский. К востоку от него протягивается в широтном направлении до устья р. Шуя полоса мелких гипербазитовых линза. Массивы Ильчирского комплекса залегают согласно с вмещающими их протерозойскими отложениями или замещают в тектонических зонах. Размеры массивов разнообразны. Наиболее крупный из них — Осининский — имеет длину 30 км и ширину 10—12 км.

По составу гипербазитов выделяются гардрубиты, дуниты, варилиты, лерцолиты, пироксениты. Все эти породы связаны постепенными переходами, текстиура их массивная. Преобладают гардрубиты и дуниты, посеместно в различной степени серпентинизированные, карбонатизированные и оталькованные. Их краткая характеристика приведена в табл. 3.

Жильные производные в гипербазитах представлены верлитами, диатомитами, вебстеритами, лерцилитами, сагандитами, обугленроженными перидотитами, плагиоклазово-амфиболовыми, хлоритовыми и гранато-хлоритовыми породами.

сорные минералы: орбит, апатит, рудный минерал и циркон. Эти граниты ближе всего стоят к аляскитам по Дели, но отличаются от них значительноным присутствием темноцветных минералов ( $b=8$ ) и меньшим количеством кварца ( $Q=25,5$ ). Некоторые разновидности гранитов 2 фазы можно сположить со щелочными гранитами по Дели (табл. 2).

Гранитоиды китайского комплекса, в отличие от протерозойских гранитоидов, образуют во вмещающих породах крупные орнолы миматизации и ультраметаморфизма и частично участвуют в архейских структурах. По данным Л. П. Никитиной (1961), абсолютный возраст гранит-гнейсов в верховьях р. Китая, определенный калий-аргоновым методом по биотиту, составляет 1900—1940 млн. лет. Эти факты позволяют относить китайский комплекс к архейскому магматическому циклу.

### НИЖНЕПРОТЕРОЗОЙСКИЕ ИНТРУЗИИ

#### ВЕРХНЕПРОТЕРОЗОЙСКИЕ ИНТРУЗИИ

**Онотский комплекс** ( $\text{U}\text{Pt}_3^2$ ) имеет на плошади листа неизначительное распространение. Гранитоидами этого комплекса сложен небольшой участок на правобережье р. Онота. Здесь выделены биотитовые плагиограниты и плагиогранито-гнейсы, иногда онковые. Структура пород гипидоморфно-зернистая, реже гранобластовая или порфиробластовая. Состав: плагиоклаз (олигоклаз, андезин), кварц, микроклин, биотит. Вторичные изменения выражены серпентинизацией, хлоритизацией и эпилитизацией. Акессорные минералы — апатит, сфеин, рудный, рудный.

Более широко массивы онотских гранитоидов развиты на смежных листах N-47-XXX, N-48-XXXI и N-48-XXXV (Шамес, 1959; Дубников, 1960; Ширбоков, 1961), где условно установлен их нижнепротерозойский возраст, так как они залегают исключительно среди архейских и нижнепротерозойских образований.

**Ильчирский комплекс** ( $\text{O}\text{Pr}_3^2$ ) объединяет линзовидные массивы основных пород, расположенные в бассейнах рек Урика, Онота и Китая, и образующие отчетливо выраженные гипербазитовые полосы по границе протерозойских синклиниориев с Гаргансской глыбой архея. Северный пояс протягивается через верховья рек Урика и Даилькин в бассейн р. Онота. Наиболее крупным в этом поясе является Хакрашлинский массив, расположенный к западу от плоскости листа. Вдоль южной окраины Гарганской глыбы расположены Ильчирской и Самартинской массивы; в истоках рек Самарти и Амбартя Гола залегает массив Улан-Сарыаг, приуроченный, по видимому, к срединному поясу, который в большей мере уничтожен гранитной интрузией. На водоразделе рек Онота и Китая на стыке поясов находится один из наиболее крупных гипербазитовых массивов — Оспинский. К востоку от него протягивается в широтном направлении до устья р. Шумака полоса мелких гипербазитовых линз. Массивы Ильчирского комплекса залегают согласно с вмещающими их протерозойскими отложениями или локализованы вдоль тектонических зон. Размеры массивов разнобразны. Наиболее крупный из них — Оспинский — имеет длину 30 км и ширину 10—12 км.

По составу гипербазитов выделяются гарбургиты, дуниты, верлиты, лерцититы, пироксениты. Все эти породы связаны постепенными переходами. Текстура их массивная. Преобладают гарбургиты и дуниты, повсеместно в различной степени серпентинизированные, карбонатизированные и оталькованные. Их краткая характеристика приведена в табл. 3.

Жильные произвольные в гипербазитах представлены верлитами, диатомитами, вестеритами, лерцититами, сагандитами, обуглененными перидотитами, плагиоклазово-амфиболовыми, хлоритовыми и гранато-хлорито-диопсидовыми породами.

М. Ф. Пасториков (1939) в Оспинском массиве были отмечены свое-

образные «Молодые дуниты», образующие небольшие неправильные или

Таблица 2

по А. Н. Заварикову

Авторы работ, из которых взяты анализы

Наименование комплекса	Наименование породы	Числовые характеристики							по А. Н. Заварикову	Авторы работ, из которых взяты анализы					
		s	a	b	c	Q	$\frac{a}{c}$	$c'$	$a'$	$m'$	$f'$	n	$\varphi$	t	
Китайская зона															
Китайский 1 фаза	Гнейсогранит	80,5	10	5,5	4	57	2,5	—	63	20	17	55	1,2	0,8	Б. В. Дудкинский и др., 1958—1959
Китайский 2 фаза	Микроклиновый гнейсогранит	77,0	13,5	8	1,5	25,5	9	—	47	17	36	43	1,2	0,5	То же
Саянский 1 фаза	Тоналит	72,5	9	11,5	7	20	1,3	—	18	28	54	69	14,5	0,9	"
Саянский 2 фаза	Биотитовый гранит	80	12,5	6	1,5	34,5	8,3	—	24	11	65	53	12	0,3	"
Саянский 3 фаза	Пегматоидный гранит	80	14	4	1,6	32	9	—	40	5	55	49	2,6	0,2	"
Нерчинский	Диабаз	59	9	26	6	4	1,3	18	—	39	43	82	13	2,3	"
Ильинский	Плагиогранит-гнейс	76,4	12,6	6,5	4,5	23,1	2,8	9	—	33	58	82	16,3	0,5	Л. С. Волков и др., 1959—1960
Ильинский	Дунит	33,3	0,2	66,5	—	33,8	—	—	—	92	8	75	0,9	—	Б. П. Арсентьев и др., 1960а.
Ильинский	Гарнубргит	34,7	0,2	65	0,1	31,1	2	0,1	—	91,7	8,15	100	1	—	М. Ф. Шестopalов и др., 1939
Саянский 1 фаза	Кварцевое габбро	67,5	5,4	12,9	14,2	10	0,4	13,1	—	51,3	35,6	84,5	7	—	Т. В. Копейкина и др., 1960
Саянский 2 фаза	Дiorит	72,6	12,3	9,6	5,5	15,5	2,2	—	6	31	63	73,1	15,3	0,5	В. П. Арсентьев и др., 1960а
Саянский 3 фаза	Микроклиновый гранит	79,5	12,7	6,3	1,5	31,1	8,5	—	40	20	40	51,8	19	0,3	"
Холбинский	Дiorит	69,4	12,8	11,8	6,0	7,2	2,1	1	—	13	86	60	20	0,4	Л. С. Волков и др., 1959—1960
Холбинский	Лейкократовый гранит	82	13	3,6	1,4	36,6	9,3	—	58	9	33	75	13	—	То же
Самсальский	Аляскит	83	10,7	6	0,3	44,3	36	—	68	4	28	30,7	15,5	0,2	В. П. Арсентьев и др., 1960а
Самсальский	Амазонитовый гранит (аляскит)	82	25	2	1	33	15	—	54	—	46	42	5	—	То же

Таблица 3

Структура	Гарубургит			Дунит		
	Панцироморфиозернистая, реже гипломорфиозернистая			Аллотриморфозернистая, паникоморфозернистая, пегматитовая		
Первичные минералы	Форстерит	Энстатит	Хромит	Форстерит	Энстатит	Хромит
Содержание, %	75–90 от +84° до 90° 0,038	10–25 от +70° до +80° 0,009– –0,010	до 1 —	90–100 от +84° до +90° 0,035– –0,038	0–10 от +70° до +80° 0,009– –0,010	до 1 —
2V						
Ng – Nr						

Вторичные: серпентин (антigorит, хризотил), тальк, карбонат, магнетит, уралит, брустит.

Жиловидные тела в серпентинитах. Внешне и под микроскопом они почти не отличаются от обычных дунитов, но почти не изменены вторичными процессами.

Серпентиниты имеют автометаморфическое происхождение. По генезису они разделяются на аподунитовые и апогарубургитовые. В зависимости от соотношений разновидностей серпентина среди них выделены хризотиловые и антигоритовые серпентиниты, иногда содержащие прожилки серпофита и хризотил-асбеста. Текстура их массивная, часто сплющеватая или контометроватая; цвет изменяется от почти черного до желто-зеленого. Кроме серпентина, в них присутствуют хромит, рудная пыль, брустит, карбонаты, тальк-реликты оливина и пироксена. По периферии массивов серпентиниты переходят в талько-карбонатные и калько-карбонатные породы (листвиниты). Реликты пегматетчажной структуры и наличие хромита и рудной пыли в листвинитах указывает на их образование за счет серпентинитов. Особенности химического состава гипербазитов изучались различными исследователями. На некоторых петрохимических диаграммах (Арсеньев и др., 1960) пильчирские гипербазиты имеют сближенные фигурации: точки, однаково длину и наклон векторов. Это обстоятельство, по мнению Г. В. Пинуса (1957), указывает на сходство дифференциации исходной гипербазитовой магмы, характеризующейся резким преобладанием маттина над жезом ( $m'/f'=10:1$ ). Другой важной особенностью гипербазитов является низкое содержание алюминия, кальция, шпинели и титана. Спектральный анализ в гипербазитах установлены хром, марганец, никель, ванадий, медь, галлий. В редких пробах встречается незначительное содержание бария, стронция, бериллина, скандия, иттербия и олова. При сопоставлении средних содержаний наиболее характерных элементов с их кальковыми величинами, вычисленными для ultraосновных пород А. Г. Виноградовым (1956), отмечено, что такие элементы как марганец, никель, кобальт и цинк присутствуют в кальковых количествах. Занижены против кальковых содержания титана, ванадия и меди; несколько завышено содержание хрома.

С гипербазитами связаны месторождения и проявления асбеста, талька, хрома и никеля.

Среди серпентинитов Оспинского массива известны небольшие штоки габбройдов ( $\text{Urt}_3?$ ), содержащие угловые ксенолиты серпентинитов. Текстура габбройдов массивная. Средиземернистые в центральных частях штоков, они постепенно становятся мелкозернистыми к периферии. Это актиномагнетитовые скопления цоизита (до 10%) или соссюрита (до 30%). Содержание актинолита не превышает 40%. Плагиоклаз сильно изменен и составляет не

более 20% породы. В незначительном количестве присутствуют кварцы. При сравнении химических составов пород габбройды соответствуют кварцевому габбро по Дели, но отличаются повышенным содержанием свободного кремнезема ( $Q=10$ ), аортитовой составляющей ( $c=14,2$ ) и известкового компонента в темноцветных минералах ( $c=13,1$ ); а также более низким содержанием циановой ( $a=5,4$ ). Генезис габбройдов объясняется по-разному.

М. В. Болидов (1956), связывает их образование с воз действием на гипербазиты кислой магмы. М. Ф. Шестопалов (1939) и Л. И. Стариков (1957) считают их дифференциата перидотитов. Автор склонен выделить их в самостоятельный фазу ильчирского комплекса.

Верхнепротерозойский возраст ильчирского комплекса подтверждается рядом фактов. В гранитоидах сапинского комплекса на контакте их с гипербазитами массива Улан-Сарылаг. В. П. Арсеньевым и В. С. Волковым (1960а) обнаружены ксенолиты дунитов, серпентинитов и талько-карбонатных пород; дуниты прорваны штоком гранодоритов. Непосредственные контакты гипербазитов с гранитоидами обычно осложнены разрывами.

Активный kontakt отмечен М. Ф. Шестопаловым и А. С. Ивановым (1959) в Верхояских р. Онога. Здесь от серпентинитам на контакте их с гранитами наблюдаются слегка окончательно решенные.

**Саянский комплекс** на территории листа распространен наиболее широко. Характерной особенностью этого комплекса является его дифференцированность и многофазность. 1 фазе соответствуют диориты, кварцевые диориты реже плагиодориты. Во 2 фазе образовались в основном граниты, плагиограниты и плагиодориты. Для 3 фазы характерны преимущественно амфиболово-плагиоклазовые породы — граниты. Амфиболово-плагиоклазовые породы — граниты. Мощность полосы гиперидных образований 2–2,5 м. Габбройды ильчирского комплекса встречаются в гальке кембрийских конгломератов (Рихманов и др., 1956). В целом, однако, вопрос о возрасте гипербазитов ильчирского комплекса нельзя считать окончательно решенным.

**Саянский комплекс** на территории листа распространен широко. Характерной особенностью этого комплекса является его дифференцированность и многофазность. 1 фазе соответствуют диориты, кварцевые диориты и многофазные граниты. Во 2 фазе образовались в основном граниты, плагиограниты и плагиодориты. Для 3 фазы характерны преимущественно микрокиновые граниты.

По роды 1 фазы ( $\text{G}_1\text{Pt}_3?$ ) в Присаянской структурно-формационной зоне на левобережье р. Уртика образуют небольшие массивы в метаморфических породах протерозоя и представлены биотитово-амфиболовыми и амфиболовыми гранодоритами, диоритами и кварцевыми диоритами, имеющими гипердиоритовую, реже порфировидную структуру и состоящие в основном из олигоклаз-андезина (35–60%), роговой обманки (до 30%), биотита (до 5–10%), микролина (до 5%) и кварца (до 20%). Энлимагматические минералы: биотит, серпентит, хорлит, акессорные минералы: апатит, сфеен, кенотим, радиоактивный и рудный минералы.

В. Дужкинским (1958–1959 гг.) к 1 фазе саянского комплекса отнесены дайки диорит-порфиров ( $\text{D}_1\text{Pt}_3$ ) и кварцевых порфиритов, прорывающих отложения Уринской свиты. Мощность даек 100–250 м. По простиранию они прослежены на 1000–1500 м. Структура дайковых пород порфировидная, в порфировых вкрапленниках пластины и кварц. Основная масса микропорфировых, вкрапленников пластины, кварц, роговая обманка и биотит. Аксессорные минералы: апатит, сфеен и рудный.

На юге листа, в пределах Иркутско-Каахемской зоны, гранитоиды 1 фазы слагают периферию массивов саянских гранитов и реже небольшие самотостоятельные тела в гнейсах архея. По составу они соответствуют диоритам, гранодоритам ( $\text{G}_1\text{Pt}_3$ ). Обычно это мелкозернистые породы, иногда обладающие гнейсовидной и первично-полосчатой текстурой. Структура их гипломорфиозернистая, местами порфировидная. Минеральный состав: олигоклаз-андезин (45–50%), роговая обманка (30–40%), биотит (5–10%), кварц (7–15, до 30%) в мелкозернистых биотитовых гранитах. Из акессорных минералов присутствуют апатит, циркон, магнетит, пирит, реже ортит и лейкосен. Вторичные минералы представлены эпидотом, хоритом, серпентитом, карбонатом и соссюритом. По химическому составу гранитоиды 1 фазы в Присаянской и Иркутско-Каахемской зонах примерно одинаковы (см. табл. 2). При сравнении их с кварцевыми диоритами,

тоналитами и гранодиоритами по Дели они отличаются избытком глиноэма.

В верховьях рек Самарта и Амбартаг-Гола гранодиориты прорываются

гранитами 2 фазы.

Гранитоиды 2 фазы в составе саянского комплекса являются наиболее распространеными. В пределах Присаянской структурно-формационной зоны они сложены различные по размерам массивы, вытянутые в северо-западном направлении по простиранию докембрийских структур. На юго-западной половине площади листа, в Иркутско-Каахемской зоне, гранитоиды 2 фазы образуют крупные массивы, имеющие неправильные извилистые очертания и разделяющий Ильчирский и Окинский синклиниории. Вместе с тем он отделяет Гарганскую глыбу от архейского поля Главной антиклинальной зоны Восточного Саяна. Среди гранитоидов отмечены ксенолиты различных докембрийских пород, включая ильчирские серпентиниты и известняки Монголийской свиты. По структурно-фашиальным особенностям в гранитоидах 2 фазы выделяются мелко- и среднезернистые, местами порфировидные, биотитовые, биотитово-роговообманковые и роговообманковые граниты ( $\text{Y}_2\text{Pt}_3$ ) и гранодиориты ( $\text{Yb}_2\text{Pt}_3$ ), гиганто-порфировидные пегматоиды граниты и гранодиориты ( $\text{Yb}_2\text{Pt}_3$ ), гиганто-порфировидные пегматоиды граниты и конгломерированные биотитово-роговообманковые породы. Ко 2 фазе саянского комплекса относятся также массивы тигантопорфировидных гранитоидов и кварцевых монцонитов, рутильные отложения Уриской свиты (Дудкинский, 1958—1959).

Текстура гранитоидов преимущественно массивная — гранитная. Гнейсовые и текстуры течения встречаются редко и приурочены, в основном, к периферии массивов и параллельным kontaktам. Последние обычно крутые и четкие. Вмещающие породы в экзоконтактах окварцованны, иногда сульфицированы и скарированы.

Петрографическая характеристика главных разновидностей гранитоидов 2 фазы приведена в табл. 4.

Особенности химического состава гранитоидов 2 фазы позволяют сопоставить их со щелочноzemельными гранитами по Дели. Различие между ними незначительно. Некоторые разновидности в бассейне р. Амбартаг-Гол приближаются по составу к тройникам. Спектральным анализом в гранитоидах установлены в квартовых содержаниях барий, ванадий, цирконий, галлий и бериллий. Содержание стронция превышает кальций. Никель, кобальт, свинец и медь присутствуют в содержаниях ниже кальция. В единичных пробах отмечены клараки редких земель.

Абсолютный возраст гранитоидов в Урискско-Ийском грабене, определенный калий-аргоновым методом, составляет 608—677 млн. лет (Дудкинский, 1958—1959). В Иркутско-Каахемской зоне, к западу от р. Хара-Гол, эти гранитоиды имеют абсолютный возраст 642—664 млн. лет (Никитина, 1961) и найдены в ганке кембрийских конгломератов сархойской свиты (Арентьев, 1959).

Гранитоиды 3 фазы саянского комплекса ( $\text{Y}_3\text{Pt}_3$ ) локализованы преимущественно вольнозонными тектоническими нарушениями и образуют несольшие дискордантные массивы в Урискско-Ийском грабене (по р. Уреку) и на северном крыле Ильчирского синклиниория в бассейне р. Китоя.

Массивы уриской группы имеют эруптивные контакты с уриской свитой и состоят из розовых и розово-серых мелкозернистых биотитовых и пегматоидных лейкократовых гранитов, имеющих гипидиоморфозернистую, пегматоидную и реже аллотриморфозернистую структуру. Текстура гранитоидов массивная. По периферии встречаются гнейсовые граниты и контактные массивы. По периферии встречаются гнейсовые граниты и контактные массивы. Все разновидности пород связаны постепенными переходами. Минеральный состав этих пород приведен в табл. 5.

В бассейне р. Китой гранитоиды 3 фазы слагают небольшие массивы овальной формы с крутопадающими контактами. Массивы сложены зелено-вато-розовыми крупно-, средне- и мелкозернистыми биотитовыми гранитами и гранодиоритами. Реже диоритами. Под микроскопом эти породы обнаруживают гипидиоморфозернистую, порфировидную и бластогранитовую структуры. Катаклизм в гранитах обусловлен нижнепалеозойскими разломами. Минеральный состав: микроклин (до 40%), зональный,

Таблица 4

	Иркутско-Каахемская зона		Урискско-Ийский грабен
	Среднезернистый биотитовый гранит	Среднезернистый биотитово-роговообманковый гранит	Гиганто-порфировидный грано-диорит
Структура	Гипидиоморфозернистая, порфировидная	Гипидиоморфозернистая со следами катаклаза	Порфировидная, основная масса гипидиоморфозернистая
Главные минералы, %	Олигоклаз — альбит (55—60), кварц (до 30), биотит (8—15), роговая обманка (до 5)	Олигоклаз (40—50), кварц (до 30), роговая обманка (до 20), биотит (10—15)	Плагиоклаз № 20—25 (40), кварц (20—25), микроклин (15—20), биотит (6—9)
Аксессорные минералы	Пирит, магнетит, циркон, ортит, шеелит	Апатит, магнетит, циркон	Сфен, ортит, апатит, рудный и радиоактивный минерал
Вторичные минералы	Хлорит, эпидот, серицит, мусковит, карбонат	Хлорит, серицит, эпидот	Хлорит, серицит

Таблица 5

западного ( $330-340^\circ$ ) простирания. Некоторые дайки ориентированы в северо-восточном направлении.

В составе Неринского комплекса преобладают диабазы. Это темно-серые и темно-зеленые мелкокристаллические массивные породы, имеющие диабазовую, офитовую, граногематобластовую или пойкилоофитовую структуры.

Главными минералами в диабазах являются соскоритизированный и эпидотизированный плагиоклаз ( $40-50\%$ ), соответственно англезин-лабрадор; роговая обманка ( $40-50\%$ ), частично замещенная хлоритом и биотитом; уралитизированный авгит ( $10\%$ ). Реже встречается кварц и калиевый полевой шпат. Аксессорные минералы — магнетит, сфен, ильменит, апатит, сульфиды. Химический состав диабазов Неринского комплекса соответствует

#### Аксессорные минералы

Ксенотим, циркон, апатит, сфен, ортит и рудный минерал обманка (до 5%)

Серцит, хлорит, пелит, албит

Эпидот

#### Вторичные минералы

—

Биотитовые и лейкократовые граниты

—

—

(Верхозин, 1959—1960; Волков, 1959—1960 и др.). В этом комплексе условно объединены штоки и дайки диоритов и гранодиоритов, лейкократовых гранитов и гранит-аплитов, кварцевых порфиров, спессартитов и керсантитов, залегающих в нижнепалеозойских разломах субширотного простирания и образующих в бассейне Р. Китая зону малых интрузий. Пространственно с ними связано гидротермальное золотое орудение, представленное золото-природными, золото-полиметаллическими и золото (серебро) — полиметаллическими формациями.

Диориты ( $\text{OrPz}_1$ ) имеют меланократовый облик, мелкозернистые. Структуры их гипидоморфноизернистая. Состав: роговая обманка ( $40-50$ , до  $90\%$  в горнбледитах), средний плагиоклаз (от 5 до  $35\%$ ), кварц и биотит ( $15\%$ ), вторичные минералы — соскорит, эпидот, серпентит и акссесорные минералы — апатит, сфен и циркон.

Кварцевые диориты и гранодиориты отличаются меньшим содержанием темноцветных минералов и более кислым плагиоклазом. Диориты холбинского комплекса по химическому составу (см. табл. 2) занимают промежуточное положение между кварцевыми диоритами и горнбледитами по Дели.

Лейкократовые граниты ( $\text{UPlz}_1$ ) сформировались позднее диоритов (Волков, 1959—1960). В центральной части штоков лейкократовых гранитов преобладают среднезернистые разновидности, которые к периферии смешиваются с гранит-аплитами. Структура пород автоморфоизернистая, гранитная, аplitовая; главные минералы представлены олигоклазом ( $30-40\%$ ), кварцем ( $25-40\%$ ), редко микроклином и биотитом; вторичные минералы — серпентит, мусковит, пелит, албит; акссесорными минералами являются апатит и циркон. Химический состав лейкократовых гранитов при сравнении их с гранитами аплитами по Дели характеризуется избытком алюминия ( $\alpha'$ ) в темноцветных компонентах, но ввиду незначительного содержания последних, эта особенность не имеет существенного значения.

Кварцевые порфириты ( $\text{QtPz}_1$ ) имеют незначительное распространение и развиты преимущественно в юго-восточной части листа, на правоверхнебереговой части. Их структура — это серые и светло-серые массивные породы, иногда рассланцованные или брекчированные, имеющие порфиритовую структуру. Основная масса микрогоянитовая. Во вкраплениниках отмечены кварц, олигоклаз, иногда биотит. Аксессорные минералы — апатит, турмалин, рудный минерал, вторичные минералы — серпентит, албит, эпидот.

Спессартиты и керсантиты ( $\text{XPlz}_1$ ) являются наиболее поздними образованиями холбинского комплекса. Они обладают темно-серым цветом и массивным, мелкозернистым строением. Структура их порфиритовая или гипидоморфноизернистая с реликтами призматически-зернистой. В составе светлой части пород преобладает основной плагиоклаз ( $25-50\%$ ), иногда присутствует

#### ПАЛЕОЗОЙСКИЕ ИНСТРУЗИИ

**Неринский комплекс** ( $\text{NerStp}_2$ ) характеризуется дайками диабазов, кварцевых диабазов, габбро-диабазов, и серпентинитов. Мощность дайек различна — от 0,3 до 150 м. В длину они прослеживаются на несколько километров. Большая часть дайк приурочена к вертикальным трещинам северо-

ствует кварц (до 8%). Тёмноцветные минералы представлены роговой обманкой (40—50%) в спессартиках и биотитом (30—40%) в керсантитах. Сфен и апатит являются аксессорными минералами. Породы хлоритизированы, эпилитизированы и карбонатизированы. Спектральным анализом установлено, что для пород холбинского комплекса характерны элементами примесями являются мышьяк, серебро, олово, никелий, кадмий, галлий.

Нижнепалеозойский возраст холбинского комплекса принят условно. Известно, что кварцевые порфириты имеют эруптивные контакты с кембрийскими конгломератами, но верхний возрастной предел комплекса не установлен.

**Самсальский комплекс** ( $\text{U}_{\text{Pz}}$ ) охарактеризован преимущественно микроклиновыми гранитами, которые слагают овальные массивы, расположенные в бассейнах рек Онота и Даилька.

В. В. Левицким (1959) установлено, что формирование гранитоидов самсальского комплекса протекало в две фазы и имело следующую последовательность (от ранних к поздним): 1) порфировидные граниты; 2) дайки гранодоритов; 3) дайки кварцевых порфиров; 4) дайки амазонитовых гранит-порфиров; 5) молибденит-флюоритово-кварцевые и слюдисто-кварцевые жилы с бериллом; 6) штоки амазонитовых и лейкократовых гранитов; 7) дайки лейкократовых микроранитов; 8) жилы амазонитовых пегматитов.

Разновидности 1—5 соответствуют 1 фазе комплекса. Во 2 фазу образовались штоки амазонитовых и лейкократовых гранитов и прорывающие их дайки и жилы. Кроме того, с самсальским комплексом связаны флюоритово-редкоземельно-хрустально-слюдистые и молибденитово-редкоземельные пегматиты. Эти связи с отдельными фазами не установлена. На геологической карте наибольшее распространение в самсальском комплексе имеют розовые порфировидные крупно- и мелкозернистые граниты (У). Текстура их массивная по периферии, массивная иногда гнейсовидная. В порфировых выделениях — калиевый полевой шпат. Под микроскопом структура основной массы гранитная. Породы состоят из микроклин-микроперитта (до 60%), кварца (25—30%), олигоклаз-андезина (15—20%), биотита (до 15%) и роговой обманки (до 10%); редко встречается гранат. Аксессорные минералы — циркон, апатит, магнетит, ортит, молибденит. Вторичные изменения в гранитах проявлены слабо (альбитизация, хлоритизация, эпилитизация и т. д.).

Дайки гранодоритов ( $\text{U}_{\text{Pz}}$ ) приурочены к вертикальным трещинам северо-восточного простирания. Главные минералы — средний плауноклаз (45—50%), роговая обманка (20—30%), кварц (10—15%), биотит (3%). Дайки кварцевых порфиров ( $\text{U}_{\text{Pz}}$ ) залегают в вертикальных трещинах северо-восточного и северо-западного простирания. Для этих пород характерны полифировые вкрапленники кварца в кварцево-полевошпатовой микрогипсиломорфозернистой основной массе.

Дайки амазонитовых гранит-порфиров ( $\text{U}_{\text{Pz}}$ ) имеют преимущественно северо-западное простирание. Углы падения их иногда пологие (до 30%). В порфировых выделениях — кварц и амазонит. Основная масса гипидноморфозернистая, микрографитная. Тёмноцветные минералы представлены биотитом (5—7%).

Молибденитово-флюоритово-кварцевые жилы характеризуются кутыем северо-западным падением. Кроме кварца, молибденита и флюорита, встречаются берилл, сфалерит, халькоксид.

Сплосто-кварцевые жилы имеют пологое падение на северо-восток. В залежанках они обогащены литийодержащим мусковитом, биотитом и сериитом.

Амазонитовые и лейкократовые граниты слагают небольшие изометрические и дифференцированные штоки в бассейне р. Шагай-Тол. Центральная часть штоков лейкократовая, амазонитовые граниты развиты по периферии. Текстура пород массивная и гнейсовидная, структура — гипидноморфозернистая, реже аллотриморфозернистая. Минеральный состав: кварц (35%),

микроклин (40—65%), олигоклаз (до 20%), биотит (5—10%), аксессорные минералы — циркон, апатит, рудный минерал.

Дайки лейкократовых микроранитов отличаются субмеридиональным простиранием. Эти породы имеют микрозернистое, иногда порфировидное строение и состоят из микроклина (до 50%), кварца (35%), плагиоклаза (10%), мусковита и биотита (до 5%).

Разнообразные пегматитовые и аplitовые жилы и штоки описаны в главе «Полезные ископаемые».

По химическому составу гранитоиды самсальского комплекса можно сравнить с альбитом и шелочным гранитом по Дели. Основные различия между гранитоидами 1 и 2 фаз внутри комплекса заключаются в следующем.

В амазонитовых гранитах отмечено возрастание полевошпатовой извести и щелочей, преимущественно натрия, т. е. уменьшается отношение микроклина к плагиоклазу; при уменьшении количества темноцветных компонентов возрастает их железистость. Характерными элементами-примесями в гранитах являются молибден, лигин, бериллий и олово.

Возрастное положение самсальских гранитоидов в настоящее время окончательно не установлено. По петрографическим и петрохимическим особенностям они имеют много общего с гранитоидами онитского комплекса, имеющими в бассейне р. Оки эруптивные контакты с девонскими эфузиями (Дубин, 1956—1958).

Из-за недостатка фактического материала самсальские гранитоиды, как и онитовые, условно рассматриваются как палеозойские. Вместе с тем есть возможность сопоставить их с мезозойскими гранитоидами Юго-Западного Забайкалья.

Абсолютный возраст самсальских пегматитов, определенный в двух пробах калий-аргоновым методом в лаборатории БГУ, составляет 162 млн. лет (без поправки на состав изотопов). Характерно также, что самсальские граниты, обожжаясь вблизи наригольской толщи по р. Самал, отсутствуют в составе дайки мезозойских конгломератов. Эти единичные факты не могут надежно обосновать мезозойский возраст самсальского комплекса, но указывают на необходимость дальнейшего их изучения.

## ТЕКОНОНИКА

Площадь листа N-47-ХХХVII расположена в крайней восточной части Алтая-Саянской складчатой области на границе Присаянской и Иркутско-Каахемской структурно-формационных зон, разделенных большим Саянским разломом. Этот район характеризуется сложным сочетанием разновозрастных структурных элементов. В его геологической истории установлено семь тектоно-магматических циклов — архейский, нижнепротерозойский, среднепротерозойский, верхнепротерозойский, нижнепалеозойский, мезозойский и кайнозойский.

**Архейские структуры** распространены преимущественно в северо-восточной половине листа, составляющей фрагменты Главной антиклинальной зоны Восточного Саяна и Шарыжалгайского выступа, которые разделены Большими Саянским разломом. К северо-востоку от Большого Саянского разлома, в пределах Шарыжалгайского выступа, архейские складчатые структуры имеют субмеридиональное простирание (340—10°). Круговые синклинальные и антиклинальные складки здесь выражаются в чередовании ерминской и шумихинской свят. Юго-западнее Большого Саянского разлома породы архея, представляющие слюдянскую серию, смяты в складки северо-западного простирания (285—315°), наиболее крупная антиклинальная структура в слюдянской серии отмечена В. В. Дудинским (1958—1959) в нижнем течении р. Янхор. Шарнир антиклинали погружается на северо-запад. Для архейских складок характерны дистархоничность, ундуляция шарнира и значительная крутизна крыльев; часто они осложнены складками более высоких порядков и опрокинуты. На юго-западе листа, в пределах архейского выступа (Гарганская глыба), складчатая структура архея сильно изменена протерозойскими и нижнепалеозойскими дислокациями, и расшифровать ее практически невозможно.

В архейских структурах участвуют гранитоиды китайского комплекса, по-видимому, синорогенные. Разрывные нарушения архейского тектономагматического этапа в настоящее время почти не расшифровываются.

На громадной территории Восточного Саяна установлено, что Большой Саянский разлом разделяет архейские блоки, имеющие совершенно различные структурные планы — субмеридиональный в Шарьжамайском выступе и северо-западный ( $285-315^\circ$ ) в Главной антиклинальной зоне. Это обстоятельство позволяет предполагать, что Большой Саянский разлом заложился в архейское время. Являясь крупной структурой типа краевого шва, отделяющей Сибирскую платформу от Алтая-Саянской складчатой области, этот разлом продолжал функционировать на протяжении всей последующей геологической истории Восточного Саяна вплоть до постплиоцене. На терригенических листах рассматриваемый разлом выражен зоной миллионов и катаклизитов, простирающейся в северо-западном направлении через бассейны рек Богданка, Усан-Гол, Даляйк. Ширина зоны разлома достигает 5 км.

**Нижнепротерозойские структуры**, локализованы среди карбонатно-гнейсовых пород камрадальской свиты, имеющей на тыюдали листа незначительное распространение. Нижнепротерозойские отложения смыты в крутые линейные складки северо-западного простирания. Подробная характеристика этих структур приведена в работах П. И. Шамеса (1959), И. М. Широбокова (1961) и М. Я. Дубникова (1960).

**Среднепротерозойские структуры** развиты в пределах Присаянской и Иркутско-Каахемской структурно-формационных зон. Основным тектоническим элементом среднего протерозоя в Присаянской зоне является Урикский Грабен. Внутреннее строение грабена представлено синклиналью, опускающейся к юго-востоку и сложенной флишовыми формациями, опускающейся к юго-западному крылу залегают амфиболитово-терригенные формации большегеченской свиты. Синклиналь осложнена крутыми кийевидными, изоклинальными складками высоких порядков. В южной части грабена расположена изолированная синклиналь, сложенная гнейсами нерасщепленного протерозоя. Обрамляющие грабен разломы обозначены мощными зонами милонитизации и катаклаза, иногда окварцованные и сущифицированы.

Наиболее крупной является зона Большого Саянского разлома, простирающаяся в северо-западном направлении.

В Иркутско-Каахемской зоне среднепротерозойские структуры представлены двумя синклиниориями — Окинским и Ильчирским, ограниченными с северо-востока архейским выступом Главной антиклинальной зоны Восточного Саяна. Эти синклиниории разделены сложно построенной антиклинальной структурой, являющейся западным ответвлением главной антиклинальной зоны. Внутри синклиниориев низкие- и среднепротерозойские отложения сформированы крутыми линейными складками, конфигурация которых в основном подчинена контурам архейских выступов. В бассейне Даялька синклиниории соединены узким прорывом, выделенным автором под названием Ольгинского (Ареентьев, 1960а), разделенными антиклиналью зону на два архейских выступа. Восточный выступ, примыкающий к главной антиклинальной зоне, почти весь «поглощен» саянскими гранитами. Ольгинский прогиб сохранился среди гранитоидов в виде узкой полосы сложно дистортированных ильчирских складок, имеющих северо-западное простирание.

Западный выступ архея, названный С. В. Обручевым (1942) Гарган-Ульяты и Самартии в пределах Гарганского гнейсо-гранитами. На волораделе рек Пройб северо-западного простирания, осложненный многочисленными сбросами и наливами. Слагающие этот прогиб (можно назвать его Ульягинским) известняки иркутской свиты образуют сложную мозаику грабенов, имеют сокращенную мощность и смыты в пологие, часто брахиосинклинальные складки.

**Верхнепротерозойские структуры** известны только в Иркутско-Каахемской зоне и приурочены к Ильчирскому и Окинскому синклиниориям.

В Ильчирской синклиниории флишовые и карбонатные формации верхнего протерозоя (барунгольская и монголинская свиты) собраны в систему складок широтного простирания. Складки характеризуются линейностью и значительной крутизной крыльев. Опрокинутые складки встречаются редко. Наиболее крупная антиклиналь выступает на левобережье р. Нарин-Гол. Ядро антиклинали сложено песчано-сланцевыми породами барунгольской свиты, в которых наблюдается сложный рисунок микроскладок. На крыльях антиклинали под углом  $45-50^\circ$  залегают монголинские известники; ее ширину почти погружают к западу.

В целом средне- и верхнепротерозойские отложения Ильчирского и Окинского синклиниориев характеризуются общим структурным планом. Угловое и азимутальное несогласие между ними выражено слабо. Вероятно, среднепротерозойские складчатые движения в Иркутско-Каахемской зоне не были интенсивными, а основным этапом складкообразования явился верхний протерозой. Поэтому выделение здесь двух структурных ярусов следует считать условным.

Складчатые структуры протерозоя Иркутско-Каахемской зоны значительно осложнены разрывными нарушениями типа сбросов, взбросов и надвигов различной амплитуды. Они разделяются на внутриструктурные и меандриформационные. Последние расположены на границах синклиниориев с глубинными выступами. В этой группе дислокации наименее значительны и имеют глубинные разломы, обрамляющие Гаранску глыбу; по ним внедрились гипербазиты Ильчирского комплекса.

**Нижнепалеозойские структуры** представлены на территории листа преимущественно разрывными нарушениями.

Складчатые нижнепалеозойские структуры на плошади листа имеют ограниченное развитие. В бассейне р. Китой среди верхнепротерозойских отложений расположены своеобразный узкий Грабен, образованный разломами нижнегалеозойского возраста. Слагающие его кембрийские молассы Сагансайской свиты смыты в синклинальную складку с пологим северным и круглым или опрокинутым южным крылом. В литературе эта структура известна как Сагансайская грабен-синклиналь. Длина ее 50 км. В западной части она выклинивается на стыке обрамляющих ее разломов, восточная часть центрально замыкается. В верховьях р. Горлык-Гол грабен-синклиналь сложена поперечным надвигом, имеющим пологое западное падение (под углом  $20-25^\circ$ ).

Среди нижнепалеозойских разломов наиболее интересна система расколлов, пересекающих по Ульягинскому прорыву Гарансскую глыбу и простирающихся к востоку вдоль северного крыла Ильчирского синклиниория до никольев р. Шумак. К этим разломам приурочены дайки и штоки холбинского интузивного комплекса, с которым связана золоторудная минерализация Верхне-Китойского района. Подробная характеристика нижнепалеозойских разломов в связи с их золотоносностью приведена в работе Л. С. Волкова (1961). Видимо, палеозойскими являются также кругопадающие разломы северо-западного простирания в среднем течении р. Даяльк. Эти разломы выражены зонами брекций и милонитов мощностью до 100 м. Они контролируют редкометальное оруденение самальского комплекса. Их подробно описал В. Б. Левидкин (1961).

**Мезозойские структуры** отмечены в бассейне р. Кужиртай-Гол. Представлены они небольшим грабеном, имеющим форму узкого треугольника, вытянутого в меридиональном направлении. Грабен сложен горскими контгломератами и песчаниками, падающими моноклинально на северо-восток под углом  $20-30^\circ$ . Моноклиналь осложнена флишовыми и суперчучими складками с амплитудой до 30 м. Обрамляющие грабен разломы характери-

зуются крутопадающими зонами мионитизацией и катаклизма, мощность которых достигает 500–700 м. Аналогичные мезозойские структуры описаны П. В. Дубинным (1959) в бассейне р. Оки и И. М. Широбоковым (1961) на правобережье р. Китоя.

В кайнозойское время в обстановке общего сводового поднятия Восточного Саяна активизировалась Большой Саянский разлом и некоторые разломы, определяющие его с юго-запада. С активацией разломов связана излияния неогеновых базальтов, покровы которых расположены как близи Большого Саянского разлома, так и по определяющим его структурам — на водоразделе рек Урик — Дацльян и в верховьях р. Китоя (рис. 2). На плоскости листа известны две кайнозойские впадины — Усангольская и Ильчирская, сложенные рыхкими ледниковыми и воднотелниковыми отложениями. Первая находится в зоне Большого Саянского разлома на Междуречье Усан-Гол—Даяльян и имеет форму неправильного овала. Ильчирская впадина имеет в плане серповидную форму. На территории листа в верховьях р. Китоя расположены только ее северо-восточная часть Н. А. Флоренсов (1960) считает, что эти впадины заложились в посттилоцене и являются недоразвитыми аналогами впадин байкальской системы.

#### ХАРАКТЕРИСТИКА МАГНИТНОГО ПОЛЯ

По данным аэромагнитной съемки (Блюменрайг, 1959, 1960), магнитное поле на территории листа имеет сложный рисунок изолиний. В пределах Присаянской зоны магнитное поле слабо дифференцировано, преобладают отрицательные значения  $\Delta T_a$ . Архейскому горсту соответствует магнитное поле с интенсивностью аномалий до +300 гамм. Аномалии выражены не резко, обычно они ориентированы в субмеридиональном направлении. В Иркутско-Ильчирском грабене и на гранитоидах саянского комплекса магнитный фон понижек и колеблется в интервале от 0 до 200 гамм (рис. 3). Иркутско-Каахемская зона характеризуется резко дифференцированным магнитным полем с преобладанием положительных значений  $\Delta T_a$ . Оси аномалий имеют субширотное простирание. Максимальные положительные аномалии соответствуют верхнетреторозайским гиперплектам Ильчирского комплекса (до +2850 гамм), палеозойским гранитоидам самсальского комплекса (до +1200 гамм) и неогеновым базальтам (до +800 гамм). Магнитный фон архейских, прегородских и кембрийских метаморфических и осадочных пород, а также саянских гранитоидов в Иркутско-Каахемской зоне обычно имеет незначительные отклонения от нулевого значения  $\Delta T_a$  (от -100 до +100 гамм). Несколько повышенной магнитной обладают сланцы и эффициины Ильчирской свиты (до +200 гамм). Мезозойскому грабену по р. Хужиртуй-Гол и кайнозойской впадине в верховьях р. Усан-Гол соответствуют отрицательные значения  $\Delta T_a$  (до -200 гамм). Ильчирская впадина



Рис. 2. Тектоническая схема района верховьев рек Урик, Онота и Китоя (Восточный Саян)

**Иркутско-Каахемская зона. Мезозойско-кайнозойский ярус:** 1 — ильчирская (ильчирская и иркутская формации); 2 — формация неогеновых солей; 3 — формация четвертичных отложений во впадинах; 4 — формация саянских молasses (наричанская толща); 5 — формация саянских гранитоидов (саянский комплекс); 6 — формация саянских гранитоидов (саянский комплекс); 7 — карбонатная и флишиальная формация (онотский комплекс); 8 — мезозойско-кайнозойская формация (онотский комплекс); 9 — мезозойско-кайнозойская формация (онотский комплекс); 10 — мезозойско-кайнозойская формация (онотский комплекс); 11 — палеозойско-кайнозойская формация (онотский комплекс); 12 — нижнепалеозойская формация (онотский комплекс); 13 — верхнетреторозайские гранитоиды (ильчирский комплекс); 14 — верхнетреторозайские гранитоиды (ильчирский комплекс); 15 — нижнепалеозойские гранитоиды (ильчирский комплекс); 16 — архейские гранитоиды (ильчирский комплекс); 17 — разлом; 18 — оси антиклиналей.

**Главные структурные элементы Кайнозойской впадины:** I — Усангольская скла, II — Ильчирская; III — Мезозойский Хужиртуйский грабен; IV — нижнепалеозойский Саяансийский грабен-сниклинорий; V — Ильчирский сниклинорий; VI — Иркутско-Ильчирский грабен; VII — Ильчирский сниклинорий; VIII — Гарранская глыба; IX — Главная антиклинальная зона Восточного Саяна; X — Шарыкайтанская выступающая формация (монголинская и барунгольская свиты). Срединепротерозой-

характеризуется повышенным магнитным полем. Видимо, здесь под рыхлыми четвертичными отложениями погребены гипербазиты ильчирского комплекса, имеющие высокую магнитность. С этой точки зрения Ильчирская впадина представляет определенный практический интерес. Под рыхлыми отложениями здесь могут быть обнаружены асбестоносные серпентиниты.

## ГЕОМОРФОЛОГИЯ

Геоморфологические особенности района тесно связаны с его неотектоническим развитием. Площадь листа N-47-XXVII находится на северном (внешнем) крыле Восточно-Санского свода. Дифференцированность поднятий внутри свода привела к образованию различных форм денудационного и аккумулятивного рельефа.

**Денудационный рельеф** является господствующим. Он объединяет в себе несколько типов высокогорного и среднегорного рельефа. В высокогорной зоне он имеет форму трогов, изогнутыми многочисленными карманами. Долины рек имеют форму трогов, в низовьях ущелебобразной.

В высокогорной зоне развит преимущественно в южной части листа. Основные орографические единицы этого типа — Китайские и Шумакские гольцы — отличаются высокими (до 3000 м) остроконечными вершинами, которые соединены друг с другом узкими зажатыми пребами, изогнутыми многочисленными карманами. Долины рек имеют форму трогов, в низовьях ущелебобразной.

Среднегорный рельеф с мягкими очертаниями распространен в западной и центральной частях листа с абсолютными отметками 2200—2700 м и представляет пологими куполовидными вершинами, которые плавно переходят в обработанные ледником склоны долин. На водоразделах встречаются нагорные террасы. В долинах непред. боковые и конечные морены.

Среднегорный кругосложный рельеф развит в пологе северо-западного простирания вдоль Большого Санского разлома. Здесь характерны пирамидальные, куполообразные и конусообразные вершины, разделенные пологими седловинами. Абсолютные отметки вершин колеблются от 1400 до 2100 м. Долины глубоко врезаны и обладают крутыми склонами, следы ледниковой деятельности выражены слабо.

Среднегорный увалистый рельеф занимает незначительную площадь в северо-восточной части листа. Представляет он короткими хребтами с невысокими куполовидными вершинами и пологими слабо расщепленными и асимметричными склонами, покрытыми мощным чехлом делювиальных отложений. Днища долин широкие и террасированные.

Поверхности базальтового плато известны на водоразделах в северо-восточной части листа. Представлены они короткими хребтами с невысокими куполовидными вершинами и пологими слабо расщепленными и асимметричными склонами, покрытыми мощным чехлом делювиальных отложений. Днища долин широкие и террасированные. Абсолютные отметки базальтовых поверхностей составляют 1700—2200 м в центральной части листа и 2600—2800 м — на юге, в Китайских гольцах. Резкое различие гипсометрических уровней древнего плато, повидимому, можно объяснить дифференцированными поднятиями, происходящими после базальтовых излиний.

**Аккумулятивный рельеф** распространен преимущественно в межгорных понижениях и по долинам рек. Его образование связано с ледниковой и речной деятельностью. Аккумулятивные ледниковые и волно-ледниковые формы рельефа наиболее широко развиты в Ильчирской и Усангольской впадинах и по долинам рек Даильк, Онот, Китой, Эхе-Гол и Богдановка. Моренные валы и холмы, относительная высота которых достигает 50—80 м, здесь чередуются с подиуроженными болотистыми ложбинами, изобилующими озерами. Речная аккумуляция проявилась преимущественно по долинам рек Урик, Хоньчин, Даильк, Онот и Китой. В расщепленных участках этих долин, кроме поймы, известно четыре аккумулятивных, иногда склоновых террасы, высотой соответственно 34—10, 10—20 и 25—40 м.

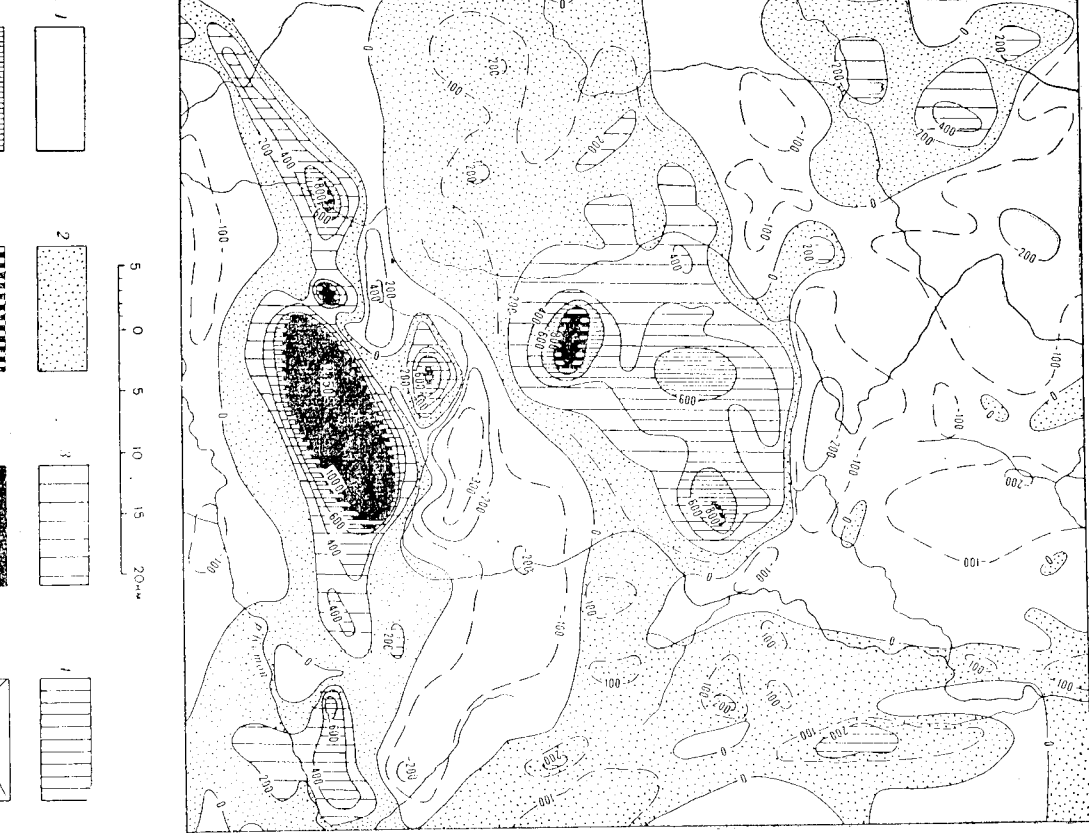


Рис. 3. Карта изолиний  $\Delta$  листа района верховьев рек Урик, Онота и Китоя (сечение изодинам через 200 гамм). Составлена по материалам В. И. Бломенцева (1959, 1960).

Интенсивность магнитного поля в гаммах: 1 — ниже 0; 2 — от 0 до +200; 3 — от +200 до 400; 4 — от +400 до +600; 5 — от +600 до +800; 6 — от +800 до +1000; 7 — более 1000; 8 — промежуточные изолинии через 100 гамм.

III и IV террасы встречаются редко. Аллювиальные отложения поймы и I террасы по рекам Урику, Хольчуру и Кигою перспективны на россыпное золото.

Историю развития рельефа глошиады листа можно представить следующим образом. Исходный рельеф явился плоскими поверхностями базальтов, покрытыми поднятиями дрений миоценовой пленки. Последующим дифференцированным поднятием Восточно-Саянского свода, сопровождавшим разломами, древние плоские поверхности были выведены на различные типометрические уровни и расщеплены сетью речных долин. Наиболее приподнятые участки образовали современные альпийские цепи в южной части плато листа. К северу — в сторону Сибирской платформы — интенсивность поднятий постепенно уменьшалась. В посттиоцене, на фоне общего поднятия вдоль разломов были заложены владины — Ильчирская и Усангольская, но развивались они мало и недолго. Поднятие сопровождалось обширным определением, следы которого встречаются на всей площади листа.

Большинство исследователей считают, что Восточный Саян пережил не менее двух ледниковых эпох. Встречающиеся на водоразделах эратические валуны указывают на покровный или полупокровный характер первого отледения. В ряде мест поверхности водоразделов, слаженные покровным определением, расщеплены глубокими троговыми долинами, свидетельствующими о существовании ледников долинного типа. Вторичное определение предшествовало интенсивной эрозионной деятельности. В настоящее время на площади листа продолжается омоложение рельефа, связанное с новейшими дифференцированными поднятиями Восточного Саяна.

## ПОДЗЕМНЫЕ ВОДЫ

Гидрологические особенности района определяются его сложным геологическим строением и сильно расщепленным высокогорным рельефом, а также резкой континентальностью климата и повсеместным развитием многослойной мерзлоты. Мощность последней, по данным бурения на Ильчирском месторождении, превышает 460 м. На площади листа распространены слегка подземных вод: аллювиальные надмерзлотные, трещинные и карстовые.

Аллювиальные воды, распространенные в рыхлых отложениях долин, пытаются за счет речных и атмосферных осадков и подземных вод других типов. Водоупором для них является многолетняя мерзлота или глинистые слои и скальный плотик.

В зимнее время, в связи с промерзанием рыхлых отложений, которое служит живое сечение водонапорных горизонтов, аллювиальные воды образуют бурры вспучивания и наледи.

Надмерзлотные воды развиты на площади листа повсеместно, но функционируют они только в теплое время года. С ними связана сильная заболоченность пологих и плоских поверхности и солифлюкционные формы рельефа. Глубина залегания этих вод соответствует мощности деятельного слоя (1—1,5 м). Пытаются они в основном за счет атмосферных осадков.

Трещинные воды этого типа образуются за счет атмосферных осадков, сквозь нарушения. Воды этого типа функционируют круглый год. Выполняя трещины в коренных породах на различные глубины, они имеют большое значение в морозном выветривании. Во многих местах у подножий склонов долин обнаружены трещинные источники.

Карстовые воды, несмотря на широкое развитие в районе карбонатных отложений, имеют ограниченное распространение, так как развитию карста отчасти препятствует многолетняя мерзлота, а также окварцевание, дегомитизация и высокая степень метаморфизма карбонатных пород. Немногие карстовые проявления представлены мелкими воронками и пещерами. Источники карстовых вод известны в долинах рек Саган-Сайр и Шумак. Воды относятся к гидрокарбонатно-кальциальному типу.

Подземные воды района, исключая застойные скопления надмерзлотных вод, обычно прозрачны, почти не минерализованы и не загрязнены. Они вполне пригодны для питья и технического водоснабжения.

## ПОЛЕЗНЫЕ ИСКОПАЕМЫЕ

Площадь листа N-47-ХХХVI отличается большим разнообразием полезных ископаемых. Основное залачение имеет благородные и редкие металлы, а из неметаллов — хризотил-асбест. Остальные полезные ископаемые — черные и цветные металлы, оптическое сырье, тальк и др. не являются руководящими, хотя при комплексном использовании минеральных ресурсов района некоторые из них могут представлять практический интерес.

## ТВЕРДЫЕ ГОРЮЧИЕ ИСКОПАЕМЫЕ

Месторождение торфа в долине р. Голечной (73) обнаружено О. Ф. Горнаковым (1955). Позднее Ю. И. Немчинов (1960) провел на месторождении разведочные работы, в результате которых было выявлено 7 торфяных залежей. Размеры их различны: от 200 до 1400 м в длину и 150—400 м в ширину; форма пластовая и чешуйчато-образная. Мощность залежей в центральной части достигает 4,5 м. Торф обладает повышенной зольностью (до 40%). Запасы составляют 458 900 м<sup>3</sup>. Ввиду малых запасов и низкого качества торфа, месторождение не может считаться промышленным.

## МЕТАЛЛИЧЕСКИЕ ИСКОПАЕМЫЕ

### ЧЕРНЫЕ МЕТАЛЛЫ

Магнетитовыеруды. Дармейское рудопроявление (39) расположено в истоках р. Дармей (левый приток р. Онот) на контакте Саянских гранитов с серпентинитами Ильчирского комплекса. А. Н. Артемьев и др. (1957) обнаружили здесь вкрапленности магнетита и гематита. Рудоизъявление имеет незначительные размеры и практического интереса не представляет.

Яман-Гольское рудопроявление (11) найдено Ю. В. Шемякиным и др. (1957) в русле р. Ара-Ошой, вблизи устья р. Яман-Гол. Рудное тело залегает в диопсидо-актинолитовых скарнах на контакте известняков Монголинской свиты с саянскими гранитоидами. По простираннию оно прослежено на 200 м при ширине 60—80 м. Минеральный составруды: магнетит — 75%, пироксен — 3%, карбонаты — 22%. Химическим анализом в руде установлено до 7% серы и сольевые доли процента фосфора. Практической ценностирудопроявление не имеет.

Марганец. В 1951 г. в русле р. Яман-Гол была обнаружена галька пиролюзита (Гребеников и др., 1951). Последующие поискируд марганца (Гребеников, 1953) не дали положительных результатов. В 1961 г. В. П. Арсентьев нашел гальку пиролюзита среди кембрийских конгломератов на южном склоне Тункинских горлов в окрестностях курорта Даршан. Характерно, что в составе этих конгломератов преобладают известняки Монголинской свиты. Это позволяет предполагать, что в Монголинской свите имеются марганиценосные горизонты. Отметим, что эта свита по возрасту, составу и условиям залегания может быть сопоставлена с марганецной икатской свитой в Северо-западном Забайкалье.

Титан. В рыхлых отложениях рек на площади листа повсеместно встречаются титаномагнетит, рутил и сфен. Содержания их не превышают первых граммов на 1 м<sup>3</sup> породы. Коренными источниками являются разнообразные изверженные и метаморфические породы, в которых эти минералы присутствуют как акцессорные. Промышленных содержаний титана ни в россыпях, ни в коренных породах не обнаружено.

**Хром.** Появление в истоках к.л. Скалистого (53) найдено Л. С. Волковым, Ю. Ф. Ефремовым (1959—1960) и представлено вкрапленностью и прожилками хромита в серпентинитах вдоль южного контакта Улан-Сарыльского ультраосновного массива. Содержание хрома не превышает 6%. Рудопроявление малых размеров и практической ценности не имеет.

**Контактовое проявление** (88) расположено на правом склоне долины р. Горлык-Дабай-Жалга в зоне южного эндоконтакта ультраосновного массива. Изучалось в 1961 г. В. В. Левицким и В. А. Ананьевым на низель. Хромит образует среди серпентинитов мелкую вкрапленность и шлиры, не представляющие интереса.

**Каровое проявление** (74) обнаружено В. В. Левицким и В. А. Апанним (1961) в 1,5 км к юго-востоку от горы Оспин-Улан-Сарыль. Здесь среди перидотитов на площади 500×150 м<sup>2</sup> отмечены вкрапленные хромитовыеруды, среди которых встречаются шлиры сплошныхруд; размеры шлировых выделений достигают 3,0×0,5 м. Среднее содержание хромита в рудном теле не превышает 10—15%. Дальнейшее изучение проявления не целесообразно.

#### ЦВЕТНЫЕ МЕТАЛЛЫ

**Полиметаллы.** Загильское полиметаллическое проявление (3) приурочено к пласту кварцитов, среди филлитовидных сланцев уральской свиты по р. Загиль, в 1,6 км от устья Изуучено М. Н. Грудининым и К. Р. Горбуновым (Дудкинский и др., 1958—1959). Минерализация представлена неравномерной вкрапленностью галенита, сфалерита, пирита и пирротина. Мощность сульфидной зоны 1,5—1,7 м. Среднее содержание свинца не превышает 0,07%, цинка 0,01%. В единичных просах содержание 3,6% свинца и 1,19% цинка. Кроме того, в супфилизированных кварцитах установлено золото (до 0,4 г/т) и серебро (до 1,7 г/т). Появление не представляет интереса.

**Полиметаллическое проявление на правом склоне долины р. Арыль-Гол** (72) выявлено в 1960 г. Л. С. Волковым. Оно находится в зоне разлома между сланцами и гранитами и представлено маломощными кварцевыми прожилками с галенитом, сфалеритом, пиритом и халькопиритом. Практического значения не имеет.

**Проявление меди на правобережье р. Урика,** ниже устья р. Мал. Хая (13) находится в мощной зоне (до 200 м) катаклазированных пород, прослеженной по пространнию на 5—6 км. Катаклазиты асценонитита, малахита и гематита. Е. Л. Емельяновым и др. (1960) в зоне катаклазита вскрыто канавой рудное тело мощностью 30 м. По данным химических анализов, в супфилизированных катаклазитах содержится 0,65% меди, до 0,01% кобальта и тысячи доли никеля. Для окончательной оценки проявления необходимо приступить к дополнительным работам.

**Мелкие проявления** связаны с зонами гипотеком (30), у бер. Жалга (40) и Ильчири (83). Орудение связано с маломощными кварц-гипотековыми прожилками, содержащими свинец в которых не превышает 0,25%. Практического интереса эти проявления не представляют.

По данным плакового и металлографического опробования, полиметаллы распространены в районе повсеместно, но преобладают на площадях золоторудной и редкометальной минерализации.

**Никель.** Известные на площади листа с гипербазитами ильменского комплекса и выявлены в результате специальных поисковых работ, проведенных в 1959—1961 гг. (Левинский, 1960, 1961; Волков, 1959—1960). На карте полезных ископаемых показано 9 проявлений. Они расположены в верховых р. Саган-Сайр-Снежной (79), Озенное (80), Ослинское (81), Верхне-Саган-Сайрское (85), Контактовое (88), по р. Арлык-Гол-Арлыкское (78), а также в бассейне р. Самары —

Правобережное (66), Левобережное (67) и в верховьях р. Скалистого (53). Все проявления никеля локализованы в зонах рассланцевания среди серпентинитов и представлены мелкой вкрапленностью мильтерита, пирротина, халькопирита, магнетита и хромита, реже встречаются никелин и зеленные никелевые охры. Распределение рудных минералов неравномерное. Рудные тела имеют форму линз, ориентированных параллельно контакту ультраосновных массивов. Мощность рудных тел варьирует от 10—35 до 75—100 м. По простиранию они прослежены на сотни метров. Среднее содержание никеля не превышает 0,18—0,22%, часто в руде присутствует кобальт (до 0,01%). Из-за низких содержаний никеля эти проявления в настоящем время пока не представляют интереса. Тем не менее, среди них могут быть первые выделены отдельные участки с кондиционным содержанием никеля не превышающим 0,01%. Из-за низких содержаний никеля эти проявления в настоящем времени пока не представляют интереса. Тем не менее, среди них могут быть первые очертаны застуживают внимания сульфидные зоны в полосе серпентинитов между реками Арлык-Гол и Оспа. В целом гипербазиты Ильинского комплекса с точки зрения их никеленосности следуют считать перспективными.

**Мышьяк** присутствует в некоторых золоторудных и полиметаллических проявлениях (13, 54 и др.). Глыбы кварца с арсенопиритом найдены В. В. Дудкиным (1958—1959) в бассейне р. Дээлэ-Борто (левый приток р. Урик). Практической ценности эти находки не представляют. Знаки арсенопирита отмечены плаковым опробованием в бассейнах рек Ехэ-Ишига, Онот, Большой и Малый Михаила и в верховьях р. Богдашки. Алюминий. Появление силиманита в районе высоты Барытын-Сарлаг (8) приурочено к прогорозовским отложениям. Здесь В. В. Дудкинским (1958—1959) выделяет три пачки силиманит-биотитовых гнейсов, суммарная мощность которых составляет 400—450 м. общая площадь 17—20 км<sup>2</sup>. Содержание силиманита в гнейсах колеблется от 8 до 16%, а в верхней пачке достигает 22%. Наиболее перспективной является верхняя пачка. Появление застуживает внимание. Проявление застуживает дальнейшей оценки. Дополнительные поисково-разведочные работы.

Появление в высокоглиноземистого сырья на водоразделе рек Мал. Хая и Большой Нарин (14) в виде горизонта гранат-диоптиловых гнейсов находится в верхней части разреза шумихинской свиты архея. Найдено в 1960 г. (Е. Л. Емельянов и др.). По простирианию прослежено на 5—6 км при мощности 80—100 м. Среднее содержание листона, по данным минерального анализа, равно 12%. Кроме того, в составе гнейсов отмечено до 11% силимандита и андалузита. Появление застуживает дальнейшей оценки.

#### БЛАГОРОДНЫЕ МЕТАЛЛЫ

**Зунхольинское месторождение золота** (52), открытое в 1955 г. А. Г. Пакиным, расположено на водоразделе рек Хойто-Ульзы и Зунхольба. По данным А. И. Верховина (1959—1960, 1961), ведущего разведку месторождения, оно приурочено к структурной системе сопряженных зон рассланцевания и катаклаза на контакте саянских гранитоидов с известняками и крутой свиты. Простирание зон северо-западное 300—310°, падение юго-западное под углом 60—85°. Геологически золото орудение связано с гранитами холбинского комплекса малых интрузий нижнепалеозойского возраста. Золото находится в кварцево-сульфидных жилах и реже в гидротермально измененных зонах рассланцевания. Рулевые поле протягивается на 4 км, выходя за пределы листа, и имеет среднюю ширину 100—200 м. В его пределах обнаружено около 30 рудных жил, 10 из них содержат промышленные концентрации золота (жилы Сульфидная, Доржи-Банзарова, Переяльная и др.). Длина жил 100—200 м, средняя мощность 1—1,5 м. В глубину они разведены на 200—250 м. Рудные минералы представлены пиритом, халькопиритом, галенитом, сфалеритом, пирротитом, реже, молибденитом, самородным золотом и серебром. Содержание золота колеблется от следов до 330 г/т, среднее содержание превышает 20 г/т. Кроме золота в руде имеется до 56 г/т серебра, пропелты свинца и цинка, 0,15—

Таблица 6

Категория запасов	Виды полезных ископаемых		Золото, кг			
	балансовые	забалансовые	Серебро, кг	Цинк, т	Свинец, т	
C <sub>1</sub>	3050	413	3125	1516,3	3410,8	
C <sub>2</sub>	3100	1127,6	13803,6	2852,4	7533,4	
C <sub>1</sub> +C <sub>2</sub>	6150	1540,6	16928,6	4368,7	10544,2	

0,18% мелких и сильные доли пропелита камня. По состоянию на 1/1-61 г. по месторождению подсчитаны следующие запасы (табл. 6).

За 9 месяцев 1961 г. прирост запасов по золоту составил 51 кг.

В настоящее время месторождение относится к разряду средних.

Гранитное месторождение (54) обнаружено в 1960 г. Г. А. Феофилактовым на водоразделе ключей Скальского и Гранитного, в 8 км восточнее Зун-Хотинского месторождения (Верхозин, 1961). Остовной рудоконтролирующей структурой является зона миолитизации и ката-клаза среди архейских гранито-гнейсов, в которой выделяются две рудные зоны. Последние протягиваются в северо-западном направлении на 350—500 м, мощность их изменяется от 10 до 50 м. Оруденение локализовано в кварцевых жилах с пиритом, галенитом, арсенопиритом и видимым золотом. Кроме того, представляет интерес прожилково-вариапленная сульфидная минерализация во вмещающих породах. Длина жил 20—50 м, мощность 0,3—1,2 м. Содержание золота неизвестно — от 16 до 477,2 г/т. К 1 октября 1961 г. запасы золота, подсчитанные по категории C<sub>1</sub>, составили 456 кг. Перспективные запасы — 2 т. Месторождение находится в стадии разведки.

Самартиńskое месторождение золота (56) разведано в 1955—1958 г. (Г. Н. Бельская и др.). Оно находится на водоразделе рек Самарта — Булагунтей — Жайга в зоне рассланцевания среди архейских гранито-гнейсов. В пределах рудного поля известно 16 кварцево-сульфидных жил. Промышленное значение имеют жилы Самартинская, Параллельная и Золотая. Они прослежены в северо-западном направлении на 50—400 м в длину и до 300 м по падению. Мощность жил непостоянная — от 0,1 до 0,6 м. Среднее содержание не превышает 30 г/т. Месторождение передано промышленности с балансовыми запасами золота 4827 кг.

Пионерское месторождение золота (59) открыто в 1954 г. Н. Ф. Рубловым и А. И. Дековым и стекне карта на правобережье р. Булагунтей-Жайга. Оруденение связано с кварцево-сульфидными жилами, залягивающими в зонах рассланцевания среди архейских гранито-гнейсов. Жилы имеют неизначительные размеры по простиранию и падению и ориентированы в северо-западном направлении. На месторождении выявлено более 20 жил, но только три из них имеют промышленный интерес. Основное рудное тело является жила № 12. Площадь прослежена на 150 м, ее средняя мощность 0,75 м, минерализация исчезает на глубине 60 м. Рудные минералы представлены пиритом и золотом, среднее содержание которого составляет 200 г/т. Месторождение относится к разряду средних и имеет запасы около 1500 кг. С 1958 г. разрабатывается Бурятским содноразом. Месторождение и серебро к 1955 г. (64) на левобережье р. Узлыты обнаружено в 1955 г. А. Г. Лакином. Разведочными работами здесь вскрыто 7 рудных жил, которые приурочены к зонам дробления в известняках на контакте с архейскими гранито-гнейсами. Жилы простираются на северо-запад на десятки метров. Мощность их достигает 1 м. В составе жил отмечены серебросодержащий тетраэдрит, галенит, халькопирит и пирит. Оруденение неравномерное. Среднее содержание серебра

232,5 г/т, золото присутствует в ничтожном количестве. Месторождение придано мелким и пока не эксплуатируется. Запасы серебра подсчитаны по категории C<sub>2</sub> в количестве 16 603 кг. Перспективные запасы на глубину 200 м могут составить 51 500 кг.

Динамичное месторождение золота (70) расположено на левобережье р. Урда-Узлыты, в 2 км к северо-востоку от пос. Ильир. Найдено в 1955 г. А. Г. Лакином. Здесь среди кристаллических известняков вблизи тектонического контакта их с гранито-нейсами залягают кварцево-сульфидная жила. Длина ее 26 м, средняя мощность 0,11 м. В кварце рассеяна вкрапленность серебросодержащей блеклой руды, галенита, сфalerита, пирита и золота. В жиле по категории C<sub>1</sub> подсчитано 34,6 кг золота при среднем содержании 200 г/т. Месторождение не является промышленным.

Бодопадное проявление золота (19) выявлено в 1958 г. В. Ф. Духовниковым. Рудные тела залягают по обоим берегам р. Урикса, выше устья р. Хоньчи, в широтно ориентированных зонах катаклаза среди сланцев ильчирской свиты. Мощность наибольшее крупной золы 20 м, по простирации она измутена на 500 м. Золоторудная сульфидная минерализация в виде неравномерной вкрапленности пирита, халькопирита, галенита и сфалерита приурочена к окаргарованным катаклазитам сланцев и в меньшей мере к жилам кварца. Содержание золота обычно не превышает 1 г/т и лишь в единичных пробах достигает 12 г/т. На рудное золото проявление бесперспективно, но вместе с другими сульфидными зонами, протягивающимися в бассейн р. Хоньчи, оно, видимо, явилось коренным источником Урикской и Хоньинской золотоносных россыпей.

Проявление золота по рекам Янхор (21), Хокюр-Дабан (22) и Дабан-Жалга (24), как и Водопадное, представлены сульфидной вкрапленностью в сланцах и кварцевых прожилках. Размеры рудных зон неизначительны, содержание золота редко достигает 6,8—15 г/т. Практического значения эти проявления не имеют.

Проявление золота в левом борту р. Хабтагай-Жалга (34) выражено незначительной по размерам сульфидной вкрапленностью в катаклизированных гранитах. Содержание золота не превышает 3,6 г/т. Проявление не представляет интереса.

Проявление золота по р. Эхе-Бутуту-Гол (29) и в устье р. Ара-Горхон (48) связаны с маломощными и невыделываемыми по простиранию кварцевыми и кварцево-карбонатными жилами в гнейсах слюдянской серии. Из-за малых размеров и низкого содержания золота (4, 8; редко 14 г/т) эти жилы бесперспективны.

Харгольское проявление серебра и золота (28) — кварцево-сульфидные жилы, залягающие по левобережью р. Харгол, в зонах рассланцевания среди известняков и сланцев на контакте с сибирскими гранитами. Жилы имеют линзообразную форму и содержат гнейзовую сульфидность галенита, сфалерита, халькопирита и пирита. Общее содержание сульфидов не превышает 2—3%. Провибримом анализом в кварце установлено до 8,4 г/т золота и до 52 г/т серебра, проявление дана отрицательная оценка (Феофилактов и др., 1959).

Ольгинское проявление золота (30), расположенное в истоках р. Даляк и аналогичные ему проявления в западной излучине р. Онота (33), в устье р. Хугешин-Жалга (41) и по р. Хан-Хушун-Дабан (112), приурочены к мощной полосе сульфидизированных сланцев, протягивающейся от р. Амбарта-Гол через верховья рек Даляк и Онот в бассейн р. Эхэ-Гол. Сульфиды — пирит, халькопирит, галенит, сфалерит, пирит — образуют в сланцах вкрапленность и гнезда. Часто сланцы послойно инъецированы кварцево-сульфидными жилами до 0,5 м мощностью. Опробование показывает сульфидизированные сланцы, проведенное в различных ее участках А. П. Риханновым (1956—1957), А. Г. Лакином (1957), А. Н. Артемьевым (1957) и В. Ф. Духовниковым (1957), не дало положительных результатов. Обычное содержание золота не превышает 1—3 г/т. В единичных пробах отмечено 15—20 г/т. При детальных поисковых работах в сланцевой полосе

Могут быть выявлены участки с более высокими содержаниями. Вместе с тем по рекам Даильку и Онгу в террасированных участках их долин за счет размыва сульфидизированных сланцев могли образоваться промышленные золотоносные россыпи.

Амбаргольское проявление золота (50) известно с 1956 г. (А. Г. Рихванов и др.), детально изучено Г. А. Феофилактовым (1960) и Л. С. Волковым (1959–1960). Расположено оно в верховьях р. Амбрага-Гол, где кварцево-сульфидные жили залегают в зонах дробления северо-западного простирания. Вмещающими породами являются архейские гранито-гнейсы и саянские гранитоиды. Кварцевые жили прослежены на дистанции при мощности, достигающей в раздувах 1 м. Содержание золота неизвестно и редко превышает 7–12  $\text{g/t}$ . В единичных пробах оно достигает 123,6  $\text{g/t}$ . Наряду с золотом в некоторых жилах имеется до 1% свинца. В настороженное время дальнейшая детализация проявления неподдается.

Проявление золота в бассейне р. Самары — на правобережье р. Хойто-Ульяты выше и ниже устья р. Сумус-Гол (58,61), на южном склоне долины рч. Веселого (63), в верховьях ручьев Озерного (55), Буцунгуйте-Жалга (52) и Золотого (62) — представлено маломощными кварцево-сульфидными жилами и прожилками или сульфидной вкрапленностью в зонах милонитизации среди архейских гранито-гнейсов. Зона протягивается в северо-западном направлении до 250–300 м при средней мощности 6–10 м. Сульфидная вкрапленность и связанное с ней золотое орудение распределены крайне наравномерно. В большинстве проанализированных проб содержание золота не превышает 1  $\text{g/t}$ , редко достигает 20–30  $\text{g/t}$ . Незначительные размеры рудных тел и низкое содержание металла указывают на бесперспективность этих проявлений.

Проявление золота на водоразделе рек Самары и Ульяты (65) приурочено к тальково-карбонатным породам, залегающим в виде полосы до 50 м мощности по контакту серпентинитов со стеклянной кальциевой свитой. Тальково-карбонатные породы интрузированы густой сетью кварцевых прожилков. Золото присутствует в единичных пробах (до 8,2  $\text{g/t}$ ). В одной пробе отмечено 13,6  $\text{g/t}$  серебра. Проявление практической ценности не имеет.

Проявление серебра вправом притоке р. Хойто-Ульяты (68) связано с маломощными кварцево-пиритовыми жилами среди архейских гранито-гнейсов. Обнаружено Л. С. Волковым (1959–1960). В одной из точечно-штифутовых проб отмечено содержание серебра 455,5  $\text{g/t}$ , что позволяет рекомендовать это проявление для дальнейшей оценки.

Арлыкское проявление золота, серебра и меди (77) найдено В. В. Левицким (1960) на правобережье р. Арлык-Гол. Орудение в виде четковидных линз и маломощных прожилков приурочено к зоне рассланцевания среди серпентинитов; зона простирается на северо-запад. Рудное тело прослежено в длину на 50 м, мощность его непостоянна — от 10–15 см до 2–2,5 м. Основным рудным минералом является борнит, по которому развиты ковеллин и халькоzin, присутствуют блеклые руды, халькопирит и золото. Средние содержания полезных компонентов: Au — 13,8  $\text{g/t}$ , Ag — 73  $\text{g/t}$ , Cu — 5,05%. Дальнейшая разведка пока неизвестна.

Зун-Оспинское проявление золота (75) расположено в истоках р. Зун-Оспа на контакте саянских гранитоидов с серпентинитами осинского массива. Здесь в зоне милонитов В. В. Левицкий (1961) обнаружил серию кварцево-сульфидных жил с вкрапленностью пирита, халькопирита, галенита и сфalerита, вторичные минералы представлены блеклым малахитом и азуритом. Размеры рудного поля 1500×600 м<sup>2</sup>. Наиболее перспективной является жила № 1, прослеженная в длину на 150 м, ее мощность 2–4,5 м. Падение жилы крутое, восточное. Содержание золота изменяется от 4 до 416  $\text{g/t}$ , среднее содержание 72,2  $\text{g/t}$ . Проявление перспективно и заслуживает разведки.

Проявление золота Русловое (87) приурочено к узкой полосе сульфидизированных лиственитов, выпнутой на 1,8 км вдоль правого берега в первоюях р. Саган-Сайр (Левицкий, 1961). Среди лиственитов отмечена серия рудных тел длиной до 250 м и шириной 1,5–2 м, содержащих обильную вкрапленность пирита, халькопирита, борнита, блеклых руд и галенита. Пробирным анализом в руде установлено до 13,8  $\text{g/t}$  золота и до 32,8  $\text{g/t}$  серебра. Проявление перспективно, необходимо его дальнейшее изучение.

Проявление золота и серебра — Барунсаганская склона (92), Саганская склона (93), Горлык-Дабан-Жалгинское (94), Верхнегорлыкское (95), Барунгольское (96), Хунды-Сайр, Горлык-Гол и Хунды-Гол, локализованы в зонах разрывных нарушений субширотного простирания, обрамляющих Сагансайский грабен-синклинал. Вмещающими породами являются конгломераты, песчаники, сланцы и известняки сагансайской, барунгольской и монгольской свит. Рудные тела в виде кварцевых жил и зон, инфильтрованных кварцевыми и кальцитовыми прожилками, прослежены по 100–200 м и имеют различную мощность — от 1 до 4 м. Минерализация перевномерная и представлена пиритом, халькопиритом, блеклыми рудами, борнитом, галенитом, халькоzinом, малахитом, азуритом, галенозисмутитом, самородной медью и золотом, содержание которого колеблется от следов до 36  $\text{g/t}$ , в некоторых участках отмечено до 775  $\text{g/t}$  серебра. Средние содержания золота и серебра в отдельных наиболее богатых проявлениях (109, 93) составляют (в  $\text{g/t}$ ): Au — 6,6; Ag — 174,4 (109); Au — 8,8; Ag — 321 (93). По данным Л. И. Старчака, В. А. Лбова и др. (1960, 1961), давших оценку золотоносности бассейнов рек Саган-Сайр и Горлык-Гол, все отмеченные проявления ввиду их малых размеров, труднодоступности и отсутствия путей сообщения, пока не представляют промышленного интереса.

Хойтошонское проявление золота (98) находится в вершине левого притока р. Китой — р. Хойто-Шон. В зоне дробления среди известняков, представлено вкрапленностью пирита и блеклой руды с содержанием золота не выше 3,6  $\text{g/t}$ . Размеры рудного тела незначительные. Практического значения оно не имеет.

Проявление золота и серебра в каньоне и на устье р. Чуша-Гол (106, 107) левого притока р. Горлык-Гол — залегают в зонах разломов субширотного простирания среди сланцев барунгольской свиты около южного контакта осинского гипербастиового массива. Л. И. Старчак (1957) обнаружил и опробовал здесь несколько небольших кварцевых и кварцево-карбонатных жил с сульфидами железа, свинца, меди, висмута и сульфурита. Жили не выдержаны по профилю и имеют четковидную форму. Мощность их в раздувах достигает 2 м. Содержание золота обычно не превышает 4  $\text{g/t}$ . В одной пробе отмечено 15  $\text{g/t}$  золота и 108  $\text{g/t}$  серебра. Проявления бесперспективны.

Проявление серебра и меди в левом притоке р. Борто-Гол (108) представлено обломками сульфидной руды, рассеянными среди деловидных оталькованных пород барунгольской свиты на площади 200×300 м<sup>2</sup>. Рудные минералы — халькопирит, мелкая зелень, халькоzin, ковеллин, блеклая руда. Пробирным анализом установлено 164  $\text{g/t}$  серебра и 0,8  $\text{g/t}$  золота; спектральный анализ показал более 1% меди. Отдельные глыбы кварца с сульфидами найдены в вершине притока. Ввиду малых размеров проявления, детальные поиски в настороженное время неподдается.

Скальсное проявление золота (115) известно с 1957 г.

(Ю. В. Шемякин и др.). Окончательная оценка дана Л. И. Старчаком и В. А. Ананьевым (1959). Здесь в зоне разлома между кембрийскими конгломератами и известняками монгольской свиты обнаружена серия кварцево-кальцитовых прожилков с неравномерной вкрапленностью флюорита, блеклой руды, малахита и пирита. Мощность рудного тела не превышает 60 м, в длину оно изучено на 750 м. Золото и серебро распространены неравномерно, их содержания характеризуются несколькими граммами на

точну и лишь в единичных пробах достигают 78,4 г/т. Проявление малых размежет, находится в исключительно труднодоступной местности и дальнейшее его изучение экономически не выгодно.

Проявление золота, серебра и полиметаллов в бассейне левого притока Шумака — р. Хунды — Гол (119, 120, 122), в водоразделе рек Хунды — Гол — Китой (118) и по руселу р. Шумак (117, 121) расположаются в зонах разрывных нарушений северо-западного простирания среди известняков и сланцев монгольской свиты. Породы в зонах нарушений брекчированы, окварцированы, ожелезнены и сульфидизированы. Участки с сульфидной вкрапленностью, представленной пиритом, халькопиритом, галенитом, сфalerитом и реже блеклой рудой, имеют форму узких линз шириной от 0,5 до 15 м и протяженiem до 500 м. В некоторых участках орудение связано с маломощными кварцевыми жилами. Среднее содержание золота в сульфидных зонах 0,82—0,87 г/т, максимальное содержание 14,8—18 г/т. В некоторых пробах отмечено повышенное содержание серебра (до 180 г/т) и более 1% свинца и цинка. Практического значения эти проявления не имеют.

Российское золото, Хоньчиńskaя россыпь (17) занимает участок (3 км<sup>2</sup>) долины р. Хоньчи в 4 км от устья. Росссыпь эксплуатировалась до 1944 г. Горными выработками россыпь вскрыта отложениями поймы и двух надпойменных террас. Пойма состоит из песка, суглинка, галечника; террасы сложены, в основном, галечником с незначительной примесью гравия, песка и суглинка. Практика извлечения золота на приске Хоньчи показала, что наиболее богатыми являются отложения поймы и разборочный сланец-приторник. Золото сравнимо крутое — до 3—4 м.м. По словам старожилов, здесь были найдены самородки до 30 г. Росссыпь отработана, но в дальнейшем здесь необходимо оценить на золото нижние горизонты рыхлых отложений террас.

Урикская россыпь (18), расположенная на левобережье р. Урика ниже устья р. Хоньчи, как и Хоньчинская, отработана старожилами до 1944 г. Росссыпь застелата в виде узкой полоски между руслом р. Урика и I надпойменной террасой. Длина ее не превышала 300 м.

Редкие знаки золота отмечены щлиховым опробованием на всем протяжении рек Урик, Ехэ-Шигга, Хара-Гол, Амбэрта-Гол, по рекам Даляк и Онот. Росссыпь застелата на золото могут быть террасированные участки долин Урика — на устье рек Ехэ-Шигга и Хоньчи — Онота, ниже устья I надпойменной террасой. Длина ее не превышала 300 м.

Следует особо остановиться на россыпной золотоносности долины рек Хунды-Гол, Ара-Ошай и Горлык-Гол. Долины боковых притоков Китоя отличаются значительным эрозионным врезом, крутым продольным профилем и не благоприятны для образования и сохранения золотоносных россыпей. Росссыпь золота на устье р. Хунды-Гол (99) застелает в отложениях поймы и I надпойменной террасы Китоя, вблизи устьев рек Хунды-Гол, Ара-Ошай и Горлык-Гол. Долины боковых притоков Китоя отличаются значительным эрозионным врезом, крутым продольным профилем и не благоприятны для образования и сохранения золотоносных россыпей.

Россыпь золота на устье р. Китоя (99) застелает в отложениях поймы и I надпойменной террасы р. Китоя. Золотоносность протяжена на протяжении 10 км. Содержание золота по руслу достигает 30—70 мг/м<sup>3</sup>, в отложениях I террасы отмечено до 6 знаков золота на логот. Ара-Ошайская россыпь расположена по обеим берегам р. Китоя на протяжении 5 км вниз от устья р. Ара-Ошай. Наибольшее содержание золота — до 13 г/м<sup>3</sup> — обнаружено в русловых отложениях. На I надпойменной террасе было проходо 8 шурfov, из которых взято 53 пробы. Золото обнаружено в 39 пробах.

Устьгорлыкская россыпь протягивается по долине р. Китоя вниз от устья р. Горлык-Гол на 6 км. Золотоносны пойма и I надпойменная терраса. В русле содержание золота непостоянно — от 40 до 1600 мг/м<sup>3</sup>. Верхние горизонты I надпойменной террасы содержат до 40 мг/м<sup>3</sup> золота.

Ни на одном из отмеченных участков долины р. Китоя (при сильной обводненности в летний период) шурфы не проходены до плотика. Это

затрудняет оценку россыпей. Тем не менее эти россыпи в ряде мест пригодны для старательской отработки.

**Осмистый ирий (невьянский).** По данным И. А. Кобеляцкого (1941), встречается совместно с золотом в Конинчинской россыпи. Он обнаружен в виде серебристо-белых зерен размером 2—5 ми, твердость значительная, на некоторых зернах видна желтая побежаистость. Содержание осмистого ирия в россыпи не подсчитано, коренные источники неизвестны.

## РЕДКИЕ МЕТАЛЛЫ

**Олово.** Редкие земли кассiterита отмечены в рыхлых отложениях по р. Урику и ее притокам — рекам Дуурен-Жага, Эбр-Губул, Хунды-Гол, Даляк, а так же по рекам Шаганте-Гол, Ульята и Самарта. Коренными источниками кассiterита являются пемматиты саянского и самсакского интузивных комплексов. Его промышленные концентрации в рыхлых отложениях на площади листа не обнаружено. В коренном залегании кассiterит известен в Урикском редкометальном месторождении и Шагайтэгольском проявлении молибдена.

**Вольфрам.** Аллювиальные отложения большинства долин содержат залегающие на плоскости листа неизвестно.

**Молибден.** Проявление молибдена в правом притоке р. Бол. Нарин (16) представлено редкой вкрапленностью мелких чешуек молибдита в архейских гнейсо-гранитах. Размеры оруденения незначительны. Интереса оно не представляет.

**Шагайтэгольское проявление молибдена и берилля** (20) находится на левом склоне долины р. Шагайтэ-Гол, обнаружено и изучено В. В. Левицким (1959). Оно залегает на пересечении разломов северо-западного и северо-восточного проявлений. Площадь рудного поля около 0,4 км<sup>2</sup>. Вмешающиеся породами являются брекчиированные граниты и гнейсы, а также лайки кварцевых порфиров и амазонитовых гранит-порфиров. Оруденение генетически связано со 2 фазой самсальского комплекса и представлено серией слюдисто-карбово-молибденитовых жил и штокверковой сеткой микророжиков, образующих 3 рудных тела. Кроме молибдита в руде встречаются флюорит, берилл, халькопирит и др. Минералы молибдена окислены. Содержание бериллия составляет 0,031—0,036%.

Спектральным анализом в рудах обнаружены в сотых, реже в десятых долях процента олово, лантан, вольфрам, никобий, иттрий, иттербий и германий. Проявление перспективно. Для его окончательной оценки необходима постановка разведочных работ.

Проявление молибдена в притоках р. Даляк-Торхой (23) и Дабан-Жалга (25) приурочены к пемматитовым жилам, прослеженным по простиранию до 200 м. Отдельные штуфные пробы содержат до 0,03% молибдена, среднее содержание не превышает тысячных долей процента. Оруденение неравномерное и практического интереса не представляет.

Проявление молибдена на водоразделе рек Уильхарта — Хужиртай-Гол (37) — кварцево-сульфидные прожилки с медной вкрапленностью молибдита, залегающие в небольшом ксенолите сланцев среди саянских гранитов. Оруденение локализовано в обогруненных зонах и неизвестально по масштабам. Содержание молибдена 0,005%. Проявление не перспективно.

Проявления молибдена на правом берегу р. Баруун-Богдашка (43) и в развалике ее истоков (45) связаны с небольшими пегматитовыми жилами, содержащими вкрапленность пирита, халькопирита и молибдита. Содержание молибдена в жилах составляет 0,017%.

П р о я в л е н и я м о л и б д е н а н а л е в о б е р е ж ь е р . Б а р у н-Б е р е ж ь е р . Э х э - Г о л (49), в и с т о к а х Б . У р у у н - Б а р т а ш (46) и на л е в о-б е р е ж ь е р . Э х э - Г о л (49), представляют сульфидную вкрапленность и незначительными жилами, расположеными в зонах миолитизации среди пегматитов и мраморов слюдянской серии. По данным спектрального анализа точечно-штучных проб, в супфидных зонах и кварцевых жилах установлено до 0,03% молибдена, на некоторых участках отмечена повышенная радиоактивность (до 110  $\mu\text{R}/\text{час}$ ). Практического значения эти проявления не имеют.

П р о я в л е н и е м о л и б д е н а по п р а в о м у п р и т о к у О н о та — р ч. Д а б а н - Ж а л г а (101) — деловиальные глыбы катаклизированных самальских гранитов, инвазированых прожилками. Мощность прожилков 1—1,5 см. В их залысинах отмечена мягкая вкрапленность молибдена и приита. Химическим анализом в точечно-штучных пробах обнаружено 0,07% молибдена. Проявление бесперспективно.

Х а н х у щ и й с к о е п р о я в л е н и е м о л и б д е н а (113) отмечено в верховых р. Хан-Хушун-Дабан. Здесь на контакте самальских гранитов с известняками иркутской свиты залегает дайка грейзенизированных лейко-крайтовых гранит-аплитов с мелкочешуйчатым молибденитом и галенитом. Дайка имеет северо-западное простирание и почти вертикальное падение. Ее мощность 2—3 м. Содержание молибдена 0,005%. Проявление дана отрицательная оценка.

Л и т и й . У р и к с к о е р е д к о м е т а л ь н о е м е с т о р о ж д е н и е (4) расположено по оборону склонам долины р. Урик в ущелье Челговы Ворота. Координаты месторождения:  $101^{\circ}19'00''$ — $101^{\circ}19'30''$  в. д. и  $52^{\circ}36'00''$ — $52^{\circ}36'30''$  с. ш. Открыто оно в 1946 г. И. К. Минеевым и В. И. Тестовым. Разведка месторождения проводилась до 1961 г. Баянов и др., 1951—1954; Гук, 1956—1958).

Рудное поле находится в южной части Урикского-Ийского тягбена среди амфиболовых сланцев верхней пачки болышеченской свиты. Длина рудного поля 3—3,5 км, ширина 200—600 м. Рудные тела представлены серией сернистых жил, имеющих сложную морфологию. Обычно это крутонахиющиеся, кососекущие или согластные пластообразные и линзовидные тела, сложенные раздувами, перекимами и апофизами. Иногда они имеют неправильную форму. Генетически редкометальные пегматиты связаны с гранитоидами 3 фазы салынского комплекса, залегая обычно на некотором удалении от материнской интрузии; в непосредственной близости от контактов с интрузией расположены пегматиты, ненесущие оруденения.

Редкометальные пегматиты относятся к типу замещенных и разделаются на берилловые, столумен-берилловые и касситеритовые. Их первичная

зональность замещается жилами кислого габбро-норита, аplitовыми оторочками, реже графические и блоковые структуры. Главные минералы пегматитов: кварц, микроклин, альбит, турмалин и сподумен, содержащие последнего в столумен-берилловых разновидностях достигает 40%. В качестве второстепенных минералов в пегматитах присутствуют 1—3,редко 10—15% берилла и в незначительном количестве касситерит, танталомилумбит, гранат, мусковит, апатит, литиофилит и сульфиды. Аксессорные минералы — цирконит, ферросиликат, лепидолит, трифилит и амбиглионит.

На птицады рудного поля выделено три структурных блока — правобережный, центральный и левобережный, в пределах которых обнаружено 29 редкометальных жил. Размеры их различны — длина от 170 до 1200 м, мощность от 1,5 до 42,5 м, на глубину жилы прослежены до 680 м.

Содержание полезных компонентов в рудных телах следующее (%): LiO 0,8—1,1; BeO 0,045—0,06; Ta<sub>2</sub>O<sub>5</sub> 0,004—0,02; Nb<sub>2</sub>O<sub>5</sub> 0,004—0,012; Sn 0,005—0,08.

По запасам лития, бериллия и олова Урикское рудное поле относится к разряду крупных месторождений.

Б е р и л л и й . В о д о р а з д е л ъ ю с п р о я в л е н и е (2) обнаружено к северо-западу от Урикского месторождения на водоразделе рек Дээн-Гол — Заган-Гол. Бериллитосные пегматиты в редких выходах и свалах про-

тягиваются до устья р. Зэгэн-Гол (Дудкинский, 1958—1959). Состав, размеры и морфология пегматитовых жил такие же, как и на Урикском месторождении. Содержание бериллия неизменно — от 0,003 до 0,024%. В некоторых пробах отмечено до 0,01% ниобия, повсеместны незначительные количества олова и иттрия. Проявление неперспективно.

П р о я в л е н и е б е р и л л и я , т а н т а л а и н и о б и я на л е в о-б е р е ж ь е р . Б о л ь ш о й Х а и (15) связано с жилами замещенных кварц-микроклиновых пегматитов. Процессы замещения выражены альбитизацией и мусковитизацией. В составе пегматитов встречаются отдельные кристаллы берилля до 5—6 см длины и до 2 см в поперечнике. Мощность жил 2,8—4,0 м, по простиранию они вскрыты на 100 м. Химическими анализами 4,0 м, по простиранию они вскрыты на 100 м. Химическими анализами штучных проб в пегматитах обнаружены следующие полезные компоненты: двуокись бериллия 0,18—0,22%, пялюкись ниобия 0,008—0,022%, пялюкись тантала 0,012—0,02%. Для окончательной оценки на проявлении необходимо провести детальные поисковые работы.

Т а н т а л и н и о б и й . Кроме отмеченных выше проявлений и месторождений (2, 4, 15), где тантало-ниобиевые минерализации сопутствует лигиному и бериллиевому оруденению, на площади листа известно несколько самостоятельных проявлений тантала и ниобия.

П р о я в л е н и е т а н т а л а в в е р х о в ъ я х р . Б о л ь ш о й Х а и (9) приурочено к замещенным редкометальным пегматитам. Содержание тантала, по данным спектрального анализа, в единичных пробах достигает 0,03—0,1%. В незамещенных количествах присутствуют бериллий, олово, ниобий, иттрий. Практического интереса эти пегматиты не представляют.

П р о я в л е н и я т а н т а л а и н и о б и я в в е р х о в ъ я х р . Д а я л ы ка (31, 32) расположаются среди супфидизированных сланцев Ильчирской свиты на контакте с сапфировыми гранитоидами 2 фазы. Сланцы здесь обладают повышенной радиоактивностью (до 70  $\mu\text{R}/\text{час}$ ), в минералогических протолювках установлены урансодержащие тантало-ниобиевые минералы.

Проявления нуждаются в дополнительной оценке.

Р е д к и е з е м е л ь , у р а н , т о р и т , ц и р к о н и й . П р о я в л е н и я р е д к и х з е м е л ь на южном склоне горы Ч е р т о в о й (5) и Да я л ы к с к о е (6) связаны с жилами незамещенных пегматитов, залегающих в верхней пачке болышеченской свиты. Длина жил 200—250 м, мощность до 20 м. По составу пегматиты разделяются на кварцево-микроклиновые, кварцево-микроклиново-турмалиновые и кварцево-микроклиново-плагиоклазовые. Спектральным анализом отдельных штучных и бороздовых проб в пегматитах обнаружены цирконий (до 0,1%), иттрий, скандий, ниобий, галлий и бериллий (до 0,01%). Оруденение неравномерное и практического значения не имеет.

П р о я в л е н и я р е д к и х з е м е л ь в в е р х о в ъ я х р . А р а - Ш и г н а (1), на правобережье р. Дуурен-Жалга (7), в устье р. Янхор (10), по рекам Хар-Горчин (11, 12), Урла-Могвой (35), Баруун-Багдашке (44), в истоках р. Зуун-Барташ (47) представлены пегматитами жилами среди гнейсов и мраморов слюдянской серии архея. Жилы имеют сложную морфологию и прослеживаются по простиранию на десятки метров. Мощность их изменчива — от нескольких сантиметров до 10—15 м. Генетически пегматиты связаны с гранитоидами саянского комплекса.

Кроме породообразующих минералов — кварца, стюол и полевых шпатов в составе пегматитов часто встречаются в малых количествах ортит, торит, монацит, тантало-ниобиевые минералы, циркон, цирконит, молибденит, гиацинт, апатит, сфен, шименит и магнетит. Спектральным анализом в пегматитах установлены цирконий (0,01—0,1%), лантан, церий, торий (до 0,1%), иттрий, ниобий, скандий и гафний (до 0,01%), молибден, бериллий и алюминий (от следов до 0,003%). В. В. Душкинским (1960) среди пегматитовых гранитов в низовьях р. Янхор обнаружено повышенное содержание циркония (до 1%), лантана и церия (в сумме до 2%). Многие пегматитовые жилы имеют повышенную радиоактивность (до 500—600  $\mu\text{R}/\text{час}$  в бассейне р. Урдо-Могвой). Содержание аквивалента урана в радиоактивных пегматитах до

стгает 0,032%. В целом отмеченные редкоземельные проявления, как и со-  
путствующие им радиоактивные аномалии, незначительны по размерам  
и отличаются крайне неравномерным распределением полезных компонентов,  
Заслуживает внимания лишь проявление на устье р. Янхор, где среди пегма-  
тических гранитов отмечено повышенное содержание циркония, лантана

и церия.

Узинское проявление урана (27) найдено в 1957 г. А. Г. Лан-  
киным, изучено в 1958 г. Н. Н. Вишняковым и В. А. Горяшиным. Проявле-  
ние расположено в истоках р. Узино и приурочено к зоне разлома северо-  
западного простирания, пересекающей массив саянских гранитов на протя-  
жении 12 км. Мощность зоны 100—120 м. Повышенная радиоактивность  
(от 100 до 1250 микр/час) измерена в магнетитодержащих пегматитовых  
жилах и в окварцованных катаклазитах гранитах. Размерырудных тел  
в плане достигают 500×6 м<sup>2</sup>. Минерализация представлена уранитом,  
ферулусонитом, тантало-ниобатами иттрия, торитом, и урансодержащим шир-  
котом. Среднее содержание урана в некоторых рудных телах составляет  
0,008—0,002%. Дальнейшее изучение проявления неоднократно  
в летом борту долины р. Онота, в 2,5 км выше устья р. Хужиргай-Гол  
Хужиргайгольское проявление урана (36) обнаружено  
в левом борту долины р. Онота, в 2,5 км выше устья р. Хужиргай-Гол  
(Артемьев, 1957; Вишняков, 1958). Здесь залягает жила розового пегматита  
мощностью до 5 м. На протяжении 500 м жиле отмечена активность от  
50 до 125 микр/час. Минералогическим анализом в пегматите установлены  
торит, зеленая урановая слюда, урансодержащие циркон и лимонит. Содер-  
жание урана неизначительно. Проявление не имеет практического значения.

Скалистое проявление урана (116) изучено Ю. В. Шемякиным  
(1957), Л. И. Старчаком и В. А. Афанасьевым (1959). Находится на правом  
склоне долины р. Кичоя, в 5 км ниже устья р. Горлык-Гол, в зоне разлома  
между контгемеритами сагансийской свиты и монголиниками известняками.  
Среди брекчиированных пород, содержащих сульфидно-флюоритовую вкрап-  
ленность, выявлены аномальные участки с активностью до 385 гамм. Наи-  
более крупная аномалия имеет в диаметре 20 м. Содержание эквивалента  
урана здесь достигает 0,028%. Проявление мало по размерам и бесперспек-  
тивно.

Повышенная активность (до 80 гамм) известна на Водопадном проявле-  
нии золота (19). В бороздовых пробах, взятых на аномальном участке,  
установлено 0,002—0,05% эквивалента урана. Проявление не представляет  
интереса.

На Зунхольбинском золоторудном месторождении (52)  
в жиле Сульфидной отмечена небольшая аномалия (с активностью до  
300 микр/час), обусловленная присутствием в кварце редкой вкрапленности  
броннерита. Практического значения эта аномалия не имеет.

В рыхлых отложениях большинства рек шлиховым опробованием обна-  
ружены монацит, ортит, циркон, реже циртолит. В бассейне р. Бол. Хан  
встречаются эвксингит и ксенонит, по р. Хара-Жалте в редких знаках отме-  
чен пироклор. Промышленные концентрации редкоземельных минералов  
в россыпях на площади листа неизвестны.

Руть. Редкие знаки киповары найдены шлиховым опробованием в тер-  
расовых отложениях р. Урика (в 300 м ниже устья р. Даанык) и в вер-  
ховьях р. Хунды-Гол. Связь киповары с коренными источниками не установ-  
лена.

#### НЕМЕТАЛЛИЧЕСКИЕ ПОЛЕЗНЫЕ ИСКОПАЕМЫЕ

Пьезометрическое сырье. С маслаково проявление пьезокварца  
(26) расположено на водоразделе рек Далык-Узин. А. Г. Лакинским  
(1957) в зоне эндоконтакта самсанских гранитов установлено 4 хруста-  
лесных участка. Хрусталеносность связана с зонами кварцево-микроклино-  
вых пегматитовых тел штокобразной формы. В составе пегматитов, кроме  
кварца и полевого шпата, встречаются хлорит, флюорит, гематит, реже оран-  
жит, пиртолит и колумбит. Размеры тел в поперечнике от 10 до 100 м. К их

центральной части, сложенной крупнообломочным кварцем, приурочены пу-  
стоты с кристаллами дымчатого кварца и мориона. Объем пустот не пре-  
вышает 0,5 м<sup>3</sup>. Расстояние между ними 3—8 м.

Из каждого хрусталеносного участка извлечено по 50 кг кристаллов.

Размеры их различны: длина от 2 до 76 см, ширина от 1 до 15 см. В основ-  
ном кристаллы трещиноватые, имеют свиные, газовые включения и свойст-  
вованные по дифракционному закону. Самсальское проявление может оказаться

рентабельным для разработки и застуживает дальнейшего изучения.

Флюорит. В претерпевших разломах флюорит в качестве второстепенного  
компонентов был отмечен при описании Шогайгольского, Самсальского и  
Скалистого проявлений. Шлиховым опробованием обнаружен в ал-  
ловии рек Эх-Шилья, Янхор, и Эх-Гол. Практического значения не имеет,

но присутствие его в рыхлых отложениях может явиться поисковым кри-  
тирием на редкие металлы.

Асбест хризотиловый. Ильчирское месторождение (71) залягает в сер-  
пентинитах ильчирского комплекса на горе Ноган-Ула. Открыто в 1835 г.  
Коригиной. Разведка месторождения закончена в 1958 г. Ильчирской  
экспедицией БГУ (Антонченко, 1959). Прожилки хризотил-асбеста образуют  
липкобразную залежь длиной 1700 м, ширина с поверхности 100—380 м.  
Залежь ограничена двумя разломами северо-восточного простирания со встре-  
чным падением. Глубина промышленной асбестосыости 300—400 м.

Строение залежи конгломератично-зональное. Ее центральная часть сложена  
серпентинитами с асбестосыостью типа крупной сетки. Мощность про-  
жилков асбеста здесь 20—30 см, расстояние между ними 2—3,5 м. К пере-  
ферии мощность прожилков сокращается, а расстояние между ними увели-  
чивается. Асбест поперечно-волокнистый, с нормальной прочностью волок-  
на. Среднее содержание волокна на глубину 100 м составляет 3,12%.  
В полошье залежи оно сокращается до 1,32%. По содержанию текстильного  
волокна (0,1—0,4%) руды являются высокосортными. На месторождении  
подсчитано по категориям А, В, С<sub>1</sub> и С<sub>2</sub> 5 068 210 т волокна. Благоприят-  
ные горно-технические условия, высокие запасы и хорошее качество асбеста  
позволяют считать Ильчирское месторождение одним из первоочередных  
объектов для эксплуатации.

Самаргинское месторождение (51) расположено на водораз-  
деле рек Самарта — Амбарта-Гол. Найдено оно в 1941 г. И. А. Кобеля-  
ким и М. М. Лавровым, разведано В. С. Грабениковым (1952). Асбесто-  
сность сеччатого типа приурочена к северо-восточной части небольшого  
серпентинитового массива. Асбест поперечно-волокнистый, длина волокна  
от 3 до 5 мм, прочность его нормальная, относится к IV—VII сортам  
и в незначительном количестве ко II и III сорту. Среднее содержание асбе-  
ста с поверхности 6,79% общие запасы 82 000 т. Месторождение непромыш-  
ленное.

Проявления хризотил-асбеста на горе Пениновой  
(69), по р. Ильчишу (76, 82), Аргыкское (84), Саганская (86),  
Горлык-Даанжалигинское (89), Кушагольское (102) и  
на левобережье реки Горлык-Гол (90, 91, 103) представлены  
линзаобразными телами асбестосыстых серпентинитов ильчирского интруви-  
ального комплекса. Мощность линз обычно не превышает 100—150 м, в длину  
они вытянуты на 400—500 м. Наиболее крупное асбестосыстое тело разме-  
ром 3×1,2 км<sup>2</sup> выявлено на правобережье р. Ильчира (82). Тип асбестосы-  
стости мелкостяжатый с преобладанием длиной волокна 4—5 мм, редко 10—  
15 мм. Волокно имеет нормальную прочность и относится к IV—VII сортам  
строительной группы. Содержание асбеста, по данным линейных замеров,  
достигает 16—18%, но обычно не превышает 1%. Перспективные запасы по  
некоторым проявлениям составляют 90—150 тыс. т. Сложные горно-техниче-  
ские условия, низкокористность и малые запасы волокна исключают возмож-  
ность промышленного освоения этих проявлений.

Тальк. В южной части территории листа известны многочисленные  
проявления талька. Они связаны с гипербазитами ильчирского комплекса и  
представлены тальково-карбонатными городами и жилами стеатита, залягаю-  
щими по дифракционному закону. Самсальское проявление может оказаться

Таблица 7

## Характеристика рудных и минеральных формаций и их связь с интрузивными комплексами

Интрузивные комплексы, их состав, возраст и типы магматических тел	Генетический тип оруднения	Рудные и минеральные формации	Характер рудных тел	Полезные компоненты	Месторождения и проявления
Самсальский комплекс Средние по размерам тела микроклиновых гранитов, штоки амазонитовых гранитов, дайки гранодиоритов, кварцевых порфиров, гранит-порфиров, жилы и штоки пегматитов	Гидротермально-пневматолитовый	Бериллиево-молибденитово-флюоритовые	Жилы, прожилки, штокверк.	Молибден, бериллий, фтор, (олово), литий, редкие земли).	20, 101
		Флюоритово-редкоземельно-хрусталеноносные	Жилы и штоки	Пьезокварц (уран, молибден, фтор, редкие земли).	26
		Молибденитово-редкоземельные	Жилы, минерализованные зоны.	Молибденит, редкие земли.	25, 27
	Гидротермальный	Золото-сульфидные 1) Золото-пиритовые.	Жилы, прожилки, минерализованные зоны	Золото (серебро, свинец, мышьяк).	54, 59, 62
		2) Золото-полиметаллические	Жилы, прожилки	Золото, свинец, цинк, (серебро, медь).	50, 52
		3) Золото (серебро) полиметаллическо-сурьмяные.	Жилы, прожилки	Золото, свинец, цинк, сурьма, серебро (медь)	64, 109
		Полиметаллические	Жилы, прожилки	Свинец, цинк (медь)	72, 83
Холбинский комплекс Небольшие штоки и дайки диоритов, лейкократовых гранитов, аplitов, кварцевых порфиров, гранит-порфиров, дайки керсантитов и спессаритов	Гидротермальный	Полиметаллические	Жилы, прожилки	Свинец, цинк (медь)	3, 38, 40
		Гематитово-магнетитовые	Линзовидная за-лежь	Железо	39, 111
		Редкометальные 1) Молибденитово-редкоземельные	Жилы, минерализованные зоны	Редкие земли, молибден, (циркон, торий).	1, 5, 6, 7, 10, 11, 12
		2) Бериллиевые	Жилы	Бериллий (литий, tantal, ниобий, олово, редкие земли)	2, 4, 15
		3) Бериллиево-сподуменовые	Жилы	Литий (бериллий, tantal, ниобий (редкие земли).	4
		4) Кассiterитовые	Жилы	Олово (литий, бериллий, tantal, ниобий, редкие земли).	4
Саянский комплекс Средние и крупные по размерам тела пегматоидных и мелкозернистых, микроклиновых и плагиоклазовых гранитов и грано-диоритов, жилы пегматитов	Пегматитовый	Асbestовые	Линзообразные за-лежи асбестоносных серпентинитов	Асbest	71, 69, 51, 76, 82, 86, 89, 90
		Тальковые	Линзообразные за-лежи тальково-карbonатных по-род; жилы стеатита	Тальк	60, 104
		Сульфидно-никелевые	Зоны сульфидной вкрапленности	Никель (медь, хром).	53, 66, 67, 78, 79, 80, 81, 85, 88
		Хромитовые	Вкрапленность и шлифы в перидотитах	Хром (никель)	53, 74, 88
Ильчирский комплекс Средние и мелкие линзообразные тела перидотитов, дунитов, серпентинитов	Гидротермальный				
Магматический					

цими по периферии ультраосновных массивов. Наиболее крупное Бортогольское (104) проявление, расположено на правобережье р. Бортогол. Тальково-карбонатные породы, содержащие 20—25% талька, слагают здесь широкую полосу, протягивающуюся в широтном направлении на несколько километров. Здесь отмечены 3 жилы стеатита длиной 80—180 м. Мощность жил 1,5—3 м. Стептиг содержит промеси магнетита и карбоната. Перспективные запасы талька составляют 70—100 тыс. т. Запасы талькового камня исчисляются десятками миллионов тонн.

Маломощные прослои талька отмечены на водоразделе рек Левая Самарта — Арлык-Гол. Они залегают в сланцах ильчирской свиты (60), вблизи контакта с серпентинитами.

При комплексном освоении минеральных ресурсов района тальково-карбонатные породы могут иметь промышленное значение.

**Нефрит.** Его проявления обнаружены М. Ф. Шестопаловым и А. С. Ивановым (1939) в низовьях рек Ильчир (100) и Хила-Гол (105). Лиции нефрита имеют небольшие размеры и залегают в ультраосновных породах на контакте с кварцитами. Промышленного значения они, по-видимому, не представляют.

Из других полезных ископаемых площи листа необходимо отметить гранаты, повышенные содержания которого (до 1—3%) обнаружены среди мраморов иркутской свиты и архейских гнейсов в бассейне р. Урика. Пегматиты Урикского редкометального месторождения могут быть использованы как высококачественное керамическое сырье. Известняки иркутской и монголинской свит пригодны для производства извести при строительстве горно-обогатительных предприятий.

Заканчивая обзор полезных ископаемых, следует кратко остановиться на основных закономерностях их размещения. Все известные на территории листа полезные ископаемые можно сгруппировать в рудные и минеральные мраморы, имеющие пространственную и генетическую связь с определенными интрузиями и осадочными комплексами архейского, протерозойского и палеозойского возраста. Наиболее древними являются метаморфические минеральные формации (анталузит-клинопиритовые, силиманитовые и графитовые), залягающие среди регионально метаморфизованных архейских и протерозойских образований. Перспективным на глиноземистое сырье является горизонт гранат-кианитовых сланцев шумихинской свиты на правобережье р. Мал. Хан и протерозойские силиманит-биотитовые гнейсы на водоразделе рек Бол. Хан и Даильца. Промышленные концентрации графита можно обнаружить среди гнейсов и мраморов слюдянской серии на левобережье р. Урика. По составу и возрасту (табл. 7). С верхнепротерозойским ильчирским гипабазитовым поясом (остановка магматической металлогенической зоны) связаны собственно магматические хромитовые и гидротермальные асбестовые, тальковые и сульфидно-никелевые формации. Основное значение здесь имеет асбест, остальные полезные ископаемые практического интереса в настоящее время не представляют.

Среди рудных формаций, связанных с верхнепротерозойскими гранитоидами саянского комплекса, преобладает пегматитовый тип. Редкометальные пегматиты локализованы в бассейнах рек Урика и Онгота вдоль системы глубинных разломов северо-западного простирания, разделяющих Присаянскую и Иркутско-Каахемскую структурно-фаунистические зоны. Характерно, что молибденово-редкометальная минерализация незамещенных пегматитов приурочена в основном к архейским образованиям глинной антиклинальной зоны Восточного Саяна. Замещенные пегматиты с литигиевой, бериллиевой и оловянной минерализацией залегают среди среднепротерозойской отложений Урикского грабена и не известны за его пределами. Таким образом, в Урикском полосе редкометальных пегматитов, которую можно рассматривать как самостоятельную металлогеническую зону, выделяются две подзоны. Перспективы на литигий и бериллий можно реализовать путем поисков слепых рудных тел в окрестностях Урикского месторождения. Поиски редких земель

следует проводить среди архейских образований в бассейнах рек Урика и Онгота.

Золотое орудение района связано с гидротермальными золото-сульфидными формациями холбинского комплекса. Пока неясен генезис сульфидизированных сланцев по рекам Юрик (19, 21), Даильцу (30) и Онготу (32, 41). Большинство золоторудных месторождений и проявлений находится в бассейне р. Китоя. Они приурочены к нижнепалеозойским разломам субширотного и северо-западного простираний, образуя Верхнекитойскую металлогеническую зону, которая разделяется ильчирской ветвью типсварозитов на две подзоны. Западная, или Самаргинская, полоса расположена в пределах Гарганских глыб архея и простирается к западу в бассейн р. Холбы до северной гипербазитовой ветви. Здесь преобладают золото-пиритовые и золото-полиэтиллические формации. Восточная, или Сагансарская, полоса протягивается вдоль северного крыла Ильчирского синклиниория, включая нижнепалеозойский грабен-синклинал, от бассейна р. Самарты до устья р. Шумака. Для этой подзоны характерны золото (серебро) полиметаллическо-сульфидные формации. Поиски золотых месторождений следуют проводить в пределах Верхнекитойской металлогенической зоны.

С палеозойским самальским комплексом ассоциируют бериллиево-мolibденитово-флюоритовые, флюоритово-редкометально-хрусталеноносные и молибденитово-редкометальные формации гидротермально-пневматолитового, гидротермального и пегматитового типа. Эти формации характеризуют Самальскую металлогеническую зону, которая протягивается в северо-западном направлении от низовьев р. Эх-Гол до бассейна р. Янхора. Наиболее перспективными видами полезных ископаемых здесь являются молибден и пьезокварц. Всеобразное размещение металлогенических зон на территории листа обусловлено ее своеобразной геологической позицией. Металлогенические зоны, как и интрузии, с которыми они связаны, контролируются северо-западными докембрийскими структурами в Присаянской структурно-формационной зоне и субширотными докембрийскими и палеозойскими структурами в Иркутско-Каахемской зоне.

Дальнейшие поисковые работы на территории листа необходимо направить прежде всего на рудное золото. Для этого следует провести кондиционную геологическую съемку в масштабе 1:50 000 на территории Трапеции N-47-143-А, N-47-143-Б, N-47-144-Г. Кроме того, для расширения перспектив уже известных месторождений золота в их окрестностях необходимо провести поликово-съемочные работы в масштабе 1:25 000 и 1:10 000. В первую очередь такие работы надо поставить в истоках р. Онот.

## ЛИТЕРАТУРА

### Опубликованная

Арсентьев В. П. Краткий очерк тектоники юго-восточной части Восточного Саяна. Тр. БКНИИ, вып. 2. Улан-Удэ, 1960.

Арсентьев В. П., Волков Л. С., Копейкина Т. В. О взаимоотношениях гранитоидов и гипербазитов Урикско-Онотско-Китайского междуречья. Мат. по геол. и пол. иск. БурАССР, вып. II, Улан-Удэ, 1960а.

Беличенко В. Г., Хренов П. М., Чирнов Ю. А. Поздние молассы ранекаледонской геосинклиналии внутренней части Байкальской горной области. Докл. АН СССР, 1961, том 138, № 6.

Белоу И. В. Основные черты вулканизма Саяно-Байкальской горной области. Тр. первого совещания по металлогении Западного Забайкалья. Иркутск, 1958.

Бузиков И. П. и Обручев С. В. Стратиграфия и тектоника докембрийских тункинских гольцов (Восточный Саян). Мат. по изуч. производ. сил БМАССР, вып. III. Улан-Удэ, 1957.

Булох Л. С. К анализу разрывной тектоники и золотоносности одного рудного района. Мат. по геол. и пол. иск. БурАССР, вып. VII, Улан-Удэ, 1961.

Виноградов А. П. Закономерности распределения химических элементов в земной коре. Геохимия, т. 1, 1956.

Гоккоев А. Г. Некоторые месторождения хризотил-асбеста в змеевиково-поясе Китайских гольцов (Восточные Саяны) Изв. Всесоюз. геол. развед. объедин. т. 51, вып. 10, 1932.

Левицкий В. В. Возрастные соотношения даек и оруднения одного рудопроявления в Восточном Саяне. Мат. по геол. и пол. иск. Бурасср, 1916, № 1.

Лодочников В. Н. Асбест в Восточном Саяне. Руд. вестник, М., 1916, № 1.

Лодочников В. Н. Серпентины и серпентиниты ильчирские и другие петрологические вопросы с ними связанные. ОНТИ, М.—Л., 1936.

Лодочников В. Н. Петрология Ильчирско-Мондинского района. Тр. ВСГУ, вып. 28, Иркутск, 1941.

Львов А. В. О геологических исследованиях в Тункинских и Китайских альпах. Сов. Азия № 5—6, М., 1930.

Молчанов И. А. Восточный Саян. Очерки по геологии. Изд. АН СССР, М., 1934.

Обручев В. А. История геологических исследований Сибири. Периоды второй, третий, четвертый, пятый. Изд. АН СССР, М., 1933—1947.

Обручев С. В. Основные черты тектоники и стратиграфии Восточного Саяна. Изв. АН СССР, 1942, № 5—6.

Обручев С. В. Молодые движения и излияния базальтов Саянского Тувинского нагорья. Землеведение, новая серия, т. III, 1950.

Пикус Г. В. Об особенностях состава ультрабазовых пород, слагающих гипербазитовые пояса складчатых областей. Изв. АН СССР, сер. геол., 1957, № 3.

Плещанов С. П. Некоторые вопросы геологии Восточно-Саянского пегматитового пояса. Тр. первого совещания по металлогении Западного Забайкалья, Иркутск, 1958.

Поляков М. В. Геология северной группы месторождений Онатского железорудного района. Мат. по геол. и пол. иск. Вост. Сибири, вып. II, 1936.

Соболев Н. Д. Месторождения хризотил-асбеста Саянской перидитово-серпентинитовой полосы, М., 1934.

Соболев Н. Д. Материалы для геологии и петрографии Тункинских и Китайских альп (Восточный Саян). Тр. СОГС, АН СССР, М., 1940.

Флоренсов Н. А. К вопросу о тектонике Центральной части Восточных Саян. Тр. Иркутского университета, т. III, вып. II, 1941.

Флоренсов Н. А. Мезозойские и кайнозойские впадины Прибайкалья. Тр. Вост. сиб. филиала АН СССР, вып. 19, серия геологическая, М.—Л., 1960.

#### Фондовая\*

Аntonchenko V. A. Материалы для рассмотрения и утверждения кондиций на хризотил-асбест Ильчирского месторождения. 1959.

Arsentьев B. P. и др. Геология и полезные ископаемые верховьев рек Иркута и Оки. Отчет Сусаревской геологической партии за 1956 г.

Arsentьев B. P. Государственная геологическая карта СССР масштаб 1 : 200 000. Объяснительная записка к листу М-47-У, 1959.

Arsentьев B. P., Самбуруг А. Л. и др. Геологическое строение и полезные ископаемые верховьев рек Китая, Урика и Онота. Отчет Тункинской партии за 1958—1959 гг.

Артемьев А. Н. и др. Отчет Верхне-Онотской поисково-съемочной партии за 1957 г. (бассейн верхнего течения р. Онот).

Баянов А. Г. и др. Отчет о геологическом поисковых работах Балдарской партии в бассейнах рек М. Белой и Китоя (Восточный Саян).

Баянов А. Г. и др. \* Редкометальные месторождения Урикско-Бельского междууречья. Отчет за 1951—1954 гг.

Бельская Г. Н. и др. Отчет Самаргинской партии за 1955—1958 гг. с подсчетом запасов на I/VI-58 г. по Пионерскому и Самаргинскому золоторудному месторождению.

Блюмендвой В. И. Шаш Л. А. Отчет о результатах работ Зейской аэромагнитной партии № 23/59 за 1959 г.

Блоенчай В. Н. Шупак Л. М. Отчет о результатах работ Саянской аэромагнитной партии № 23/60 за 1960 г.

Богданова М. В. Осинско-Китайский массив ультраосновных пород (автореферат докторской диссертации), 1956.

Верхозин А. И. и др. Промежуточный отчет Комсомольской партии по результатам поисково-разведочных работ за 1959—1960 гг. с подсчетом запасов по Зун-Хоблинскому месторождению на I—I—61 г.

Верхозин А. И. и др. Отчет Комсомольской партии за 9 месяцев 1961 г.

Вициков Н. Н. Горяшин В. А. Отчет о результатах работ Узинской партии за 1958 г.

Волков Л. С. Ефремов Ю. Ф. Геология и полезные ископаемые верховьев рек Урика и Китоя (Отчет Междуречьской партии по геологической съемке масштаба 1 : 50 000 за 1959—1960 гг.).

Волков Л. С. Отчет Горлыкской партии за 9 месяцев 1961 г.

Волколаков Ф. К. Государственная геологическая карта СССР, масштаб 1 : 200 000. Объяснительная записка к листу № 47-XXXV, 1959.

Горнаков Ф. О. Отчет по результатам работ Самаргинской поисковой партии за 1955 г.

Горбеников В. С. и др. Отчет о геологическом поисковых и ревизионных работах Шумакской партии в бассейнах рек Шумака и Китоя в Восточном Саяне летом 1951 г.

Гребеников В. С. и др. Отчет о поисках и предварительной разведке асбеста в бассейне р. Самарты и в верховьях рек Арлык-Гол и Саган-Сайр. Восточный Саян, лето 1952 г.

Гук В. И.\* Геологический отчет по Урикскому редкометальному месторождению за 1956—1958 гг.

Демин А. А. Основной отчет о работах Саянской геологопоисковой партии в верховьях р. Урик, 1957.

Дубин П. В. и Рик Л. П. Геологическое строение и полезные ископаемые бассейна верхнего течения р. Онот (Отчет Черно-Тагинской партии за 1956—1958 гг.).

Дубников М. Я., Войлеников В. Д.\* Государственная геологическая карта СССР, масштаб 1 : 200 000. Объяснительная записка к листу № 48-XXV, 1960.

Дудкинский В. В. и др. Геологическое строение и полезные ископаемые междууречья Урика и Бол. Ермы. Отчет Бортинской поисково-съемочной партии масштаба 1 : 50 000 за 1958—1959 гг.

Духовников В. Ф., Антонов П. Д. Отчет о результатах геологических работ Мало-Бельской партии в бассейнах рек Элэ-Гол, Бодлашки и Малой Белой за 1957 г.

Духовников В. Ф., Волков Л. С. и др. Геология и полезные ископаемые средней части бассейна р. Урик (Отчет Шипинской и Янхорской партий масштаба 1 : 50 000 за 1958 г.).

\* Хранится в фондах Бурятского геол. управления.

Е мельников Е. Л., Никитенко Ю. А.\* Геологическое строение и полезные ископаемые среднего течения р. Урик. Промежуточный отчет Наринской поисково-съемочной партии масштаба 1 : 50 000 за 1960 г.

Кобеляцкий И. А., Лавров М. М. Геологическое строение верхнего течения рек Урика и Онота (отчет о геологических работах геологосъемочной партии за 1941 г.).

Колтун А. Я. Геологическое строение и полезные ископаемые среднего течения реки Бол. Белой (лист N-47-119-B). 1961.

Королюк И. К. Новые находки строматолитов в древних толщах Восточных Саян. 1961.

Лавров С. М., Грудинин М. Н.\* Отчет о поисковых работах Онотской партии за 1956 г.

Лакин А. Г. и др. Отчет о результатах поисковых работ в бассейне р. Даляк и в истоках р. Узино за 1957 г.

Левицкий В. В. Отчет Шаганэ-Гольской партии о геолого-поисковых работах за 1959 г.

Левицкий В. В. и др. Отчет Остинской партии о геолого-поисковых работах за 1960 г.

Минеев И. К., Тестов В. И.\* Отчет по работам Бельской партии за 1946 г.

Навиль В. И. Отчет по Восточно-Саянской геолого-поисковой партии за 1932 г.

Немчинов Ю. Н. Заключение по результатам работ на торф, про-

веденных в Ильчирской котловине Бурятской АССР в 1960 г.

Никитина П. П. Стратиграфия архея Гарганской глыбы 1960.

Николаев А. Л. И., Зинкас Ю. В. Окончательный отчет о поисках бокситов и кондиционных известняков в верхнем течении р. Урик за 1951—1953 г.

Рихванов А. П., Артемьев А. Н. и др. Геология и полезные ископаемые верховьев рек Оки, Иркута, Оноты, Иркута и Китоя (Отчет по результатаам работ Верхне-Уральской, Амбаргольской, Харанурской и Ослингабанской геологопоисковых партий за 1956—1957 гг.).

Рубцов Н. Ф. Отчет о результатах геологических работ, проведенных в 1954 г. на вновь открытом Пионерском золоторудном месторождении.

Самбуруг А. Л. Государственная геологическая карта СССР, масштаб 1 : 200 000. Объяснительная записка к листу М-47-VI. 1961.

Старчак Л. И., Волков Л. С. Отчет о поисково-съемочных ра-

ботах Горлыкогольской партии в бассейне р. Горлык-Гол и на левобережье р. Китоя. 1957 г.

Старчак Л. И., Анишин В. А. Отчет о результатах геолого-поиско-

вых работ Верхне-Китойской партии за 1959 г.

Старчак Л. И., Лбов В. А., Анишин В. А. Отчет о результатах геолого-поисковых работ Китайской партии за 1960 г.

Старчак Л. И., Лбов В. А. Отчет Сагансайской партии за 9 мес-

цев 1961 г.

Толстиков Ф. Ф. Отчет о работе Ямангольской поисково-съемочной партии, произведенной в бассейнах рек Яман-Гол и Ара-Хубты, 1953.

Феофилактов Г. А. и др. Отчет о результатах геолого-поисковых работ Комсомольской партии за 1959 г.

Флоренсов Н. А. Очерк геоморфологии Окинского плоскогорья Восточных Саян. 1937.

Флоренсов Н. А. Геологическое строение и условия золотоносности верховьев рек Оки и Урика. 1937.

Шамаев П. И.\* Государственная геологическая карта СССР, масштаба 1 : 200 000. Объяснительная записка к листу N-47-XXXI. 1959.

Шемякин Ю. В. и др. Отчет о результатах геолого-поисковых работ Нижне-Шумакской партии в бассейне нижнего течения р. Ара-Олней, Шумака и правобережья р. Китой за 1957 г.

Шергин Б. В., Заболотников В. П. Отчет о поисковых работах Саганайской партии в бассейне рек Саган-Сайр и Арлык-Гол за 1957 г.

Шестопалов М. Ф. и Иванов А. С. Отчет по теме: Изучение алмазоносности Восточного Саяна. 1939.

Широбоков И. М.\* Государственная геологическая карта СССР, масштаб 1 : 200 000. Объяснительная записка к листу N-47-XXXI. 1961.

\* Хранится в фондах Иркутского геологического управления.

**ПРИЛОЖЕНИЕ**

**СПИСОК МАТЕРИАЛОВ, ИСПОЛЬЗОВАННЫХ ДЛЯ  
СОСТАВЛЕНИЯ КАРТЫ ПОЛЕЗНЫХ ИСКОПАЕМЫХ**

№ п/п	Фамилия и инициалы авторов	Название работ	Год со- ставле- ния или место издания		Год со- ставле- ния или место издания	Продолжение прилож. 1
			Местонахожде- ние или место издания	Местонахожде- ние или место издания		
1	Флорентсов Н. А.	Геологическое строе- ние и условия золотонос- ности верховьев рек Оки и Урика.	1937	Фонды Бурят- ского геологиче- ского управ- ления	1957	Фонды Иркут- ского геологи- ческого управ- ления
2	Шестопалов и др.	Отчет по теме: Изуче- ние алмазоносности Восто- чного Саяна.	1939	Фонды Бурят- ского геологиче- ского управ- ления	1958	Фонды Бурят- ского геологи- ческого управ- ления
3	Кобелевский И. А., Лавров М. М.	Геологическое строе- ние верхнего течения рек Урика и Онота (от- чет о геологических ра- ботах Урикской геолого- съемочной партии за 1941 г.)	1942	Фонды Бурят- ского геологиче- ского управ- ления	1958	Фонды Бурят- ского геологи- ческого управ- ления
4	Минеев И. К., Бестов В. И.	Отчет по работам Белской партии за 1946 г.	1947	Фонды Бурят- ского геологиче- ского управ- ления	1958	Фонды Иркут- ского геологи- ческого управ- ления
5	Гребениников и др.	Отчет о поисках и предварительной развед- ке асбеста в бассейне р. Самарти и в верховьях рек Арлык-Гол и Саган-Сайр (Восточный Са- ян, 1952 г.).	1954	Фонды Бурят- ского геологиче- ского управ- ления	1958	Фонды Бурят- ского геологи- ческого управ- ления
6	Рубцов Н. Ф.	Отчет о результатах геологических работ, про- веденных в 1954 г. на вновь открытой Пионер- ском золоторудном ме- сторождении.	1954	Фонды Бурят- ского геологиче- ского управ- ления	1958	Фонды Бурят- ского геологи- ческого управ- ления
7	Баялов А. Г. и др.	Рекомендательные места- рождения Урикско-Бел- ского междуречья. От- чет за 1951—1954 гг.	1955	Фонды Бурят- ского геологиче- ского управ- ления	1958	Фонды Бурят- ского геологи- ческого управ- ления
8	Глоба В. А.	Отчет Самаргинской геологической-поисковой партии масштаба 1 : 25 000 за 1955 год.	1956	Фонды Бурят- ского геологиче- ского управ- ления	1958	Фонды Бурят- ского геологи- ческого управ- ления
9	Горнаков О. Ф.	Отчет по результатам работ Самаргинской по- исковой партии за 1955 г.	1956	Фонды Бурят- ского геологиче- ского управ- ления	1958	Фонды Бурят- ского геологи- ческого управ- ления
10	Грудинин М.	Отчет о поисковых ра- ботах Урик-Онотской партии за 1956 г.	1957	Фонды Иркут- ского геологи- ческого управ- ления	1958	Фонды Иркут- ского геологи- ческого управ- ления
11	Артемьев А. Н. и др.	Отчет Берхне-Онотской поисково-съемочной пар- тии за 1957 г. (бассейн р. Онот).	1957	Фонды Бурят- ского геологи- ческого управ- ления	1958	Фонды Бурят- ского геологи- ческого управ- ления
12	Духовников В. Ф., Альтонов Г. Д.	Отчет о результатах геологических работ Ма- ло-Бельской партии в бассейнах рек Эх-Гол, Богданки и Малой Бе- лой за 1957 г.	1957	Фонды Бурят- ского геологи- ческого управ- ления	1958	Фонды Бурят- ского геологи- ческого управ- ления
13	Лакин А. Г. и др.	Отчет о результатах поисковых работ в бас- сейне р. Даклык в ис- точниках р. Узино за 1957 г.	1957	Фонды Бурят- ского геологи- ческого управ- ления	1958	Фонды Бурят- ского геологи- ческого управ- ления
14	Рихванов А. Г., Артемьев Л. Н. и др.	Геология и полезные ископаемые верховьев рек Оки, Урика, Онота, Иргута и Кияса. (Отчет по результатам работ Верхнеуральской Амбр- татолитской, Харанулской и Ослингабанской геоло- ги-поисковых партий за 1956—1957 гг.)	1957	Фонды Бурят- ского геологи- ческого управ- ления	1958	Фонды Бурят- ского геологи- ческого управ- ления
15	Старчак Л. Н., Волков Л. С.	Отчет о поисково-све- щенных работах Горлык- Гольской партии в бас- сейне реки Горлык-Гол и на левобережье р. Ки- той летом 1957 г.	1958	Фонды Бурят- ского геологи- ческого управ- ления	1958	Фонды Бурят- ского геологи- ческого управ- ления
16	Шемякин Ю. В. и др.	Отчет о результатах геолого-поисковых работ Нижне-Шумакской пар- тии в бассейне нижнего течения р. Ара-Онот, Цымаки и правобережья р. Китой.	1958	Фонды Бурят- ского геологи- ческого управ- ления	1958	Фонды Бурят- ского геологи- ческого управ- ления
17	Шергин Б. В., Заболотников В. П.	Отчет о поисковых ра- ботах Саган-Сайрской партии в бассейне рек Саган-Сайр, Арлык-Гол за 1957 г.	1958	Фонды Бурят- ского геологи- ческого управ- ления	1958	Фонды Бурят- ского геологи- ческого управ- ления

Продолжение прил. 1

№ п/п	Фамилия и инициалы авторов	Продолжение прил. 1	
		Название работ	Год со- ставле- ния или место изда- ния
18	Антонченко В. А.	Материалы для рас- смотрения и утвержде- ния кондиций на хризо- тильеасбест Ильчирского месторождения.	1959 Фонды Бурят- ского геологи- ческого управ- ления
19	Бельская Г. Н. и др.	Отчет Самаргинской партии за 1955—1958 гг. с подсчетом запасов на 1/VII 1958 г. по Пио- нерскому и Самаргин- скому золоторудным ме- сторождениям.	1959 Фонды Бурят- ского геологи- ческого управ- ления
20	Вишняков Н. Н., Горяшин В. А. и др.	Отчет о результатах работ Узинской геолого- поисковой партии за 1958 г.	1959 Фонды Бурят- ского геологи- ческого управ- ления
21	Гук В. И.	Геологический отчет по Урискому редкометальному месторождению за 1956—1958 гг.	1959 Фонды Иркут- ского геологи- ческого управ- ления
22	Духовников В. Ф., Волков Л. С. и др.	Геология и полезные ископаемые средней ча- сти бассейна р. Урик (отчет Цыбинской и Янхорской партий мас- штаба 1 : 50 000 за 1958 г.)	1959 Фонды Бурят- ского геологи- ческого управ- ления
23	Дудкинский В. В. и др.	Геологическое строе- ние и полезные ископаемые из междуречья Урика и Бол. Ермы. Отчет бор- тийской партии за 1958— 1959 г.	1960 Емельянов Е. Л., Никитенко Ю. А.
24	Левицкий В. В.	Отчет Шагатэ-Голь- ской партии о геолого- геологовых работах за 1959 г.	1960 Фонды Бурят- ского геологи- ческого управ- ления
25	Старнак Л. Н., Ананьев В. А.	Отчет о результатах геологопоисковых работ Верхне-Китайской пар- тии за 1959 г.	1960 Фонды Бурят- ского геологи- ческого управ- ления
26	Феофилактов Г. А. и др.	Отчет о результатах геологопоисковых работ Комсомольской партии за 1959 г.	1960 Фонды Бурят- ского геологи- ческого управ- ления
27	Верхозин А. И. и др.	Промежуточный отчет Комсомольской партии о результатах поиско- во-разведочных работ за 1959—1960 гг. с подсче- том запасов по Зун-Хел- бинскому месторожде- нию на I/I 1961 г.	1961 Фонды Бурят- ского геологи- ческого управ- ления
28	Верхозин А. И. и др.	Отчет Комсомольской партии за 9 месяцев 1961 г.	1961 Фонды Бурят- ского геологи- ческого управ- ления
29	Волков Л. С., Ефремов Ю. Ф.	Геология и полезные ископаемые верховьев рек Урика и Кия (отчет Междуречьской партии по геологической съемке масштаба 1 : 50 000 за 1959—1960 гг.).	1961 Фонды Бурят- ского геологи- ческого управ- ления
30	Емельянов Е. Л., Никитенко Ю. А.	Геологическое строение и полезные ископаемые среднего течения р. Урик. Промежуточный отчет Наринской поисково-съес- щечной партии масштаба 1 : 50 000 за 1960 г.	1961 Фонды Иркут- ского геологи- ческого управ- ления
31	Левицкий В. В. и др.	Отчет Остинской пар- тии о геологопоисковых работах за 1960 г.	1961 Фонды Бурят- ского геологи- ческого управ- ления
32	Левицкий В. В., Ананьев В. А.	Отчет Остинской пар- тии за 9 месяцев 1961 г.	1961 Фонды Бурят- ского геологи- ческого управ- ления
33	Немчинов Ю. И.	Заключение по резуль- татам работ на торфо- преведенных в Ильчи- рской котловине Бурят- ской АССР в 1960 г.	1961 Фонды Бурят- ского геологи- ческого управ- ления
34	Старнак Л. И., Любов В. А., Аланян В. А.	Отчет о результатах геологопоисковых работ Китайской партии за 1960 г.	1961 Фонды Бурят- ского геологи- ческого управ- ления

Продолжение прил. 1

**ПРИЛОЖЕНИЕ 2**

**СПИСОК ПРОМЫШЛЕННЫХ МЕСТОРОЖДЕНИЙ,  
ПОКАЗАННЫХ НА ЛИСТЕ №-47-XXXVI**

**КАРТЫ ПОЛЕЗНЫХ ИСКОПАЕМЫХ МАСШТАБА 1: 200 000**

№ по карте	Индекс клетки на карте	Наименование месторождения и вид полезного ископаемого	Составление эксплуатации	Тип месторо- ждения (К—коренное, Р—российское)	№ использо- ванных литературы по списку (Прил. 1)
54	IV-I	Золото	Производит- ся подсчет за- пасов	K	28
64	IV-I	Серебро зеленый	Не эксплуати- руется	K	27
52	IV-I	Зум-Холбинское	Производит- ся подсчет за- пасов	K	9, 27, 28
59	IV-I	Пионерское	Эксплуати- руется	K	6, 19
56	IV-I	Самаргинское	Не эксплуати- руется	K	8, 19
18	II-I	Уриское	Отработано, не эксплуатиру- ется	P	1, 3, 28
17	II-I	Хоньчинское	Отработано, не эксплуатиру- ется	P	1, 3, 22

*Редкие металлы*

№ по карте	Индекс клетки на карте	Наименование месторождения и вид полезного ископаемого	Составление эксплуатации	Тип месторо- ждения (К—коренное, Р—российское)	№ использо- ванных литературы по списку (Прил. 1)
4	I-2	Литий	Не эксплуати- руется	K	7, 4, 21
71	IV-I	Асбест хризотиоло- вый	То же	K	18
		Ильчирское			

**ПРИЛОЖЕНИЕ 3**

**СПИСОК НЕПРОМЫШЛЕННЫХ МЕСТОРОЖДЕНИЙ,  
ПОКАЗАННЫХ НА ЛИСТЕ №-47-XXXVI**

**КАРТЫ ПОЛЕЗНЫХ ИСКОПАЕМЫХ МАСШТАБА 1: 200 000**

**ПРИЛОЖЕНИЕ 4**

**СПИСОК ПРОЯВЛЕНИЙ ПОЛЕЗНЫХ ИСКОПАЕМЫХ,  
ПОКАЗАННЫХ НА ЛИСТЕ № 47-XXXVI  
КАРТЫ ПОЛЕЗНЫХ ИСКОПАЕМЫХ МАСШТАБА 1 : 200 000**

				Продолжение прилож. 4
№ на карте	Индекс клетки на карте	Название (местонахождение) проявления и вид полезного ископаемого	Характеристика проявления	№ исполь- зованной литер-атурой по списку
39	III-3	Название (местонахождение) проявление и вид полезного ископаемого	Характеристика проявления	по списку
38	III-3	С в и н е ц	Кварцевые прожилки с галенитом на контакте гранитов и серпентинитов	11
40	III-3	р. Убер-Жалга	Маломощные прожилки кварца с галенитом среди протерозойских гранитов	11
83	IV-2	Правый склон долины р. Ильчир	Маломощные кварцево-сульфидные жилы и прожилки в прослое известняков	11
53	IV-1	Н и к е л ь	Сульфидная минерализация в рассланцованных серпентинитах с хромитовыми прожилками	27, 29
66	IV-1	Правый берег р. Сараты	Сульфидные зоны в серпентинитах	29
67	IV-1	Левый берег р. Самары	Сульфидные зоны в серпентинитах	29
78	IV-2	Арлыкское	Вкрашенность сульфидов в зонах рассланцованных среди серпентинитов	29, 31
3	I-2	П о л и м е т а л л и ч е - с к и е	Сульфидная вкрашенность в квартитах уральской свиты	31
72	IV-1	Правобережье р. Арлык-Гол	Кварцево-полиметаллические прожилки в тектонической зоне между протерозойскими гранитами и барунгольской свитой	32
13	I-3	М е д ь	Сульфидная вкрашенность в окварцованных брекчиях среди архейских образований	31
88	IV-2	Контактовое	Сульфидная и хромитовая вкрашенность в карбонатизированных серпентинитах	32

Продолжение прилож. 4

Продолжение прилож. 4

№ на карте	Индекс клетки на карте	Продолжение прилож. 4		№ на карте	Индекс клетки на карте	Продолжение прилож. 4	
		Название (местонахождение) проявления и вид полезного ископаемого	Характеристика проявления			Название (местонахождение) проявления и вид полезного ископаемого	Характеристика проявления
8	I-2	С иллиманит Гора Барьетын-Сары- даг	С иллиманитсодержа- щие горизонты гнейсов протерозойского возраста	23	41	III-3	Устье р. Хугеншон- Жалга
14	I-3	Кианит Проявление глиноzemистого сырья на водоразделе рек Мал. Хаял-Бол. Нарыл. Высо- кая-Бол. Коглиоземистое сырье	Горизонт гранат-ли- тей-биотитовых гнейсов в шумихинской свите ар- хейской	30	48	III-4	Арагорхонское.
19	II-1	З о л о т о Водопадное	Тектоническая зона с сульфидной вкраплен- ностью и кварцево-суль- фирами жилами на контакте ильчирской и иркутской свит	22	50	IV-1	Амбарголское
21	II-2	Р. Янхор	Сульфидизированные сланцы ильчирской сви- ты	22	55	IV-1	Кл. Озерный
22	II-2	Р. Хоктор-Дабан	Простол сульфидизи- рованных сланцев в из- вестняках иркутской сви- ты	22	57	IV-1	Верховья р. Бушигун- тей-Жалга
24	II-2	Р. Дабан-Жалга	Сульфидная вкраплен- ность в зоне разлома жилы в гранитах и слан- цах	13	58	IV-1	Правый берег р. Хой- то-Узьыта выше устья р. Сумсуй-Гол.
28	II-1	Харалольское	Кварцево-сульфидные жилы в кри- сталлических сланцах	13	61	IV-1	Правый берег р. Хой- то-Узьыта ниже устья р. Сумсуй-Гол.
29	III-2	Эхебутуугольское	Кварцевая жила в кри- сталлических сланцах	13	62	IV-1	Кл. Золотой
30	III-2	Ольгинское	Сульфидизированные сланцы и кварцево-суль- фирамы жилы	13	63	IV-1	Южный склон долины Кл. Веселого
33	III-2	Правобережье р. Онот	Сульфидизированные сланцы и кварцево-суль- фирамы жилы	13, 14	65	IV-1	Водораздел рек Са- марга и Узьыта
34	III-3	Левый берег р. Хабаг- тай-Жалга	Катализированные и пиритизированные гра- нииты	14	68	IV-1	С е р е б р о Русло правого прито- ка р. Хойто-Узьыта

Продолжение прилож. 4

№ на карте	Индекс клякки на карте	Название (местонахождение) проявления и вид полезного ископаемого	Характеристика проявления	№ используемой зоны литераптуры по списку
75	IV-2	Зуясплинское	Кварцево-сульфидные жилы в миллинатах гранитов на контакте с тинебразитами	32
77	IV-2	Арлыкское	Линзы сульфидов в зоне рассланцований среди серпентинитов	31
87	IV-2	Рустовое	Зона сульфидной вкрапленности в лиственитах	32
92	IV-2	Баруусагансайрское	Кварцево-сульфидные прожилки в песчаниково-сланцевых отложениях верхнего протерозоя	34
93	IV-2	Сагансайрское	Кварцево-карбонатные прожилки в известковых конгломератах кембрия	34
94	IV-2	Горлыкабанжалин-ское	Кварцево-сульфидные прожилки в известково-вымоинах конгломератах	34
95	IV-2	Верхнегорлыкское	Кварцево-сульфидные жилы в зоне разлома между известняками и континомератами	15
96	IV-2	Барунгольское	В кварцево-сульфидные жилы и прожилки в колгломератах кембрия жилы в известняках.	34
97	IV-2	Хундыгольское	Кварцево-сульфидные Дробленые окварцованые известняки с вкрапленностью блеклых руд	25
98	IV-3	Хойгошонское	Кварцево-сульфидные жилы в зоне разлома между серпентинитами и сланцами	17
105	IV-3	Кайвол р. Хуша-Гол.	Кварцево-сульфидные жилы в зоне разлома между сланцами Глыбы кварца с сульфидами	15
107	IV-3	Устье р. Хуша-Гол.		15
108	IV-3	Бортогольское		15

Продолжение прилож. 4

№ на карте	Индекс клякки на карте	Название (местонахождение) проявление и вид полезного ископаемого	Характеристика проявления	№ используемой зоны литераптуры по списку
109	IV-3	Южное	Кварцево-сульфидные прожилки в известковых конгломератах кембрия	34
112	IV-4	Ханхушундаванское	Сульфидная минерализация в сланцах	12
115	IV-4	Скалистое	Кварцевые и кальцитовые прожилки с сульфидами и флюоритом в зоне разлома	16, 25
117	IV-4	Р. Шумак в 1,2 км выше восточной рамки листа	Тонкие кварцево-сульфидные прожилки в известняках	16
118	IV-4	Водораздел рек Китоя и Хунды-Гол.	Кварцево-сульфидная жила в известняках монголинской свиты	25
119	IV-4	Р. Шумакский Хунде-Гол	Сульфидная минерализация в известняках на контакте с эфузивами	25
120	IV-4	Р. Шумакский Хунде-Гол	Кварцево-сульфидные прожилки в зоне нарушения на контакте известняков и сланцев монголинской свиты	25
121	IV-4	Правобережье р. Шумак в 1,0 км выше устья р.ч. Хунды-Гол	Окварцированные зоны проблеции в известняках монголинской свиты	16
122	IV-4	Р. Шумакский Хунде-Гол	Сульфидная минерализация известняков монголинской свиты в зоне разлома	25
99	IV-2, 3	Устье р. Хунды-Гол	Р.	25
110	IV-3	Ара-Ошайское	Р.	25
114	IV-4	Устьгорлыкское	Р.	25
<i>Редкие металлы</i>				
15	I-3	Правый приток р. Бол-Нарин	Редкая вкрапленность молибдита в архейских гнейсах-гранитах	30

Продолжение прилож. 4

№ на карте	Индекс клетки на карте	Название (местонахождение проявления и вид геологного ископаемого)	Характеристика проявления	№ источника зонирований по списку литературы
20	I-1	Шагайтэгольское	Слюдисто-кварцевые жилы и штокверковая минерализация, связанная с первой фазой самальской интрузии гранитоидов	24
23	II-2	Торхойское	Пемматитовая жила в архейских гнейсах	22
25	II-2	Верховья рч. Дабай-Жалга	Молибденосные пегматитовые жилы в гранитах	13
37	III-3	Водораздел рек Улдхаргай — Хужиргай-Гол	Кварцевые прожилки с сульфидами в ксенолите сланцев среди гранитов	11
42	III-4	Левобережье реки Баруун-Богданка	Сульфицированная зона в архейских гнейсах	12
43	III-4	Правобережье реки Баруун-Богданка	Пегматитовая жила с молибденитом среди архейских гнейсов	12
45	III-4	Развилок истоков р. Баруун-Богданка	Сульфицированная зона в пегматитах и мраморах архея	12
46	III-4	Верховья реки Баруун-Бардан	Кварцевая жила с молибденитом, пиритом и галенитом среди архейских гнейсов	12
49	III-4	Эхегольское	Кварцевые прожилки с молибденитом, секущие катаклизированные самальские граниты	12
101	IV-3	Правый берег р. Да-бай-Жалга	Кварцевые прожилки с молибденитом, секущие катаклизированные самальские граниты	11
113	IV-4	Ханхушунское	Мелкощечуйчатая вкраепленность молибденита в гранитизированых участках дайки аллитовидных гранитов самальского комплекса	12

Продолжение прилок. 4

№ на карте	Индекс клетки на карте	Название (местонахождение) проявления и вид полезного ископаемого	№ используемой зонации	Характеристика проявления	Литература по спутку
				Наименование	Состав
2	I-2	Бериллий Водораздельное	23	Пегматитовые жилы среди спанцев урикской свиды	
15	I-3	Левобережье р. Бол. Хан.	30	Пегматитовые жилы с предкомплектовой минерализацией среди архейских гнейсов	
9	I-2	Тантал инибий Верховья р. Большой Хан	23	Замещенные пегматиты тальвые пегматиты	
31	III-2	Верховья р. Даильк (левобережье)	13, 14	Сульфицированные сланцы на контакте с гранитоидами сандского комплекса	
32	III-2	Верховья р. Даильк (правобережье)	13, 14	Сулевидизированные сланцы на контакте с гранитоидами сандского комплекса	
<b>Р е д к и е з е м л и</b>					
1	I-1	Берховья реки Ара-Шина	22	Пегматитовые жилы в архейских гнейсах	
5	I-2	Южный склон горы Чертовой	23	Пегматитовые жилы в гнейсах большеперечной складки	
6	I-2	Даялыкское	23	Пегматитовые жилы в гнейсах большеперечной складки	
7	I-2	Р. Джурен-Жалга	23	Серия пегматитовых жил среди архейских гнейсов	
10	I-2	Нижнеянхорское	23	Пегматиты и пегматоидные граниты в архейских гнейсах	
11	I-2	Среднее течение р. Хар-Горхон	23	Пегматитовая жила в архейских гнейсах	
12	I-2	Устье р. Хара-Горхон	23	Серия пегматитовых жил в архейских гнейсах	
35	III-3	Р. Урдо-Моглой	12	Орбитоносные пегматитовые жилы и прожилки в архейских гнейсах	

Продолжение прил. 4

Продолжение прил. 4

№ на карте	Индекс жетки на карте	Название (местонахождение) проявления и вид полезного ископаемого	Характеристика проявления	№ используемой зонаной лите-турьи по списку	Индекс жетки на карте	Название (местонахождение) проявления и вид полезного ископаемого	Характеристика проявления	№ используемой зонаной лите-турьи по списку
44	III-4	Левобережье р. Бурун-Богданка	Орбитоносные пегматиты среди гнейсов и архей	12	89	IV-2	Горлыкабанжалинское	Линза асбестоносных серпентинитов в оливинском массиве ультраосновном
47	III-4	Истоки Зүүн-Барташ Узинское	Орбитоносные пегматиты среди гнейсов архея Минерализованная зона разлома в гранитах	12 13, 20	90	IV-2	Верхнегорлыкское	Линза асбестоносных серпентинитов в оливинском массиве ультраосновном
36	III-3	Хужиргайольское	Жила пегматита с радиоактивной минерализацией	11, 20	91	IV-2	Горлыкгольское	Линза асбестоносных серпентинитов в оливинском массиве ультраосновном
116	IV-4	Скалистое	Зона дробления и окварцований в известняках Монголшинской свидети	16, 25	102	IV-3	Хушагольское	Линза асбестоносных серпентинитов в оливинском массиве ультраосновном

**Неметаллические ископаемые**

№ на карте	Индекс жетки на карте	Название (местонахождение) проявления и вид полезного ископаемого	Характеристика проявления					
			Индекс жетки на карте	Название (местонахождение) проявления и вид полезного ископаемого	Характеристика проявления	Индекс жетки на карте	Название (местонахождение) проявления и вид полезного ископаемого	
69	IV-1	Г. Генниновая	Мелкие прожилки асбеста в серпентинитах	29	104	IV-3	Бортогольское	Маломощные тальковые прослои в сланцах ильмикской свиты на контакте с серпентинитами
76	IV-2	Левый склон долины р. Ильчир	Офритизированные серпентиниты с прожилками. Хризотил-асбест	11				Жилы и линзы в тальково-карбонатных породах среди серпентинитов
82	IV-2	Правый склон долины р. Ильчир	Офритизированные серпентиниты с прожилками хризотил-асбеста	11	100	IV-3	Правый берег р. Ильчир	Линзы нефрита среди серпентинизированных гарубуритов
84	IV-2	Арлыктольское	Асбестоносные серпентиниты	5, 17	105	IV-3	Хушагольское	Залежь нефрита на контакте серпентинитов с кварцитами

## О ГЛАВЛЕНИЕ

Стр.

Введение	3
Геологическая изученность	4
Стратиграфия	5
Интузивные образования	18
Тектоника	29
Геоморфология	35
Подземные воды	36
Полезные ископаемые	37
Литература	53
 Приложения:	
1. Список материалов, использованных для составления полезных ископаемых	58
2. Список промышленных месторождений, показанных на листе N 47-XXXVI карты полезных ископаемых масштаба 1 : 200 000	62
3. Список нетривиальных месторождений, показанных на листе N 47-XXXVI карты полезных ископаемых масштаба 1 : 200 000	63
4. Список проявленный полезных ископаемых, показанных на листе N 47-XXXVI карты полезных ископаемых масштаба 1 : 200 000	64

Редактор издательства *L. M. Саларчян* Техн. редактор *B. B. Романова*

Корректор *T. M. Солярова*

Формат 60×90<sup>1/16</sup>  
Тираж 100 экз.

Подписано в печать 19.VII 1969 г.

Печ. л. 4,75

Уч.-изд. л. 7,7  
Заказ № 04382

Издательство «Недра»  
Ленкартфабрика ВАГТ